

RÉPUBLIQUE DU SÉNÉGAL



ÉCOLE POLYTECHNIQUE DE THIÈS

jm.0252

PROJET DE FIN D'ETUDES

EN VUE DE L'OBTENTION DU DIPLÔME D'INGÉNIEUR DE CONCEPTION

TITRE Calcul de la consommation optimale de base et des écarts de consommation pour la mise en application d'un contrôle économique à la centrale du Cap des Biches (SENELEC)

Auteurs : Djiby Ndiaye  
                  Mamadou Ngom  
Directeur : Thialis Kamara  
Co-Directeur : El Qualith Sow  
Gérant : Mecanique

DATE : MAI 1987

— A NOS PARENTS —

—  
C. S.

## REMÉRCIEMENTS

Nous ne manquerons pas de saisir cette occasion qui nous est offerte pour remercier notre Directeur de projet, Moutien Ghoulis KATHABA, Ph.D en Énergie thermique, professeur à l'École Polytechnique, pour sa disponibilité permanente.

Nous remercions aussi Moutien Gh.-Oualhi pour Ingénieur Polytechnicien à la Centrale Thermique du CAP DES RICHTES pour l'intérêt qu'il a eu de manifester.

Nos remerciements vont aussi à tous ceux qui de près ou de loin ont contribué à la réussite de cette étude.

## SOMMAIRE

Le rapport constitue un document d'application, il représente une recherche d'établissement des documents de base pour la mise en application d'un contrôle économique manuel, à la centrale thermique du CAP des BICHES (SENELEC).

Le calcul est établi dans le cas général d'une tranche thermique. L'exemple d'application choisi est la tranche 301 de 22 / 27,5 MW.

- Les méthodes de calcul des consommations spécifiques de base

- l'établissement des documents de base nécessaires au calcul des écarts de consommation.

La première partie consiste essentiellement à recueillir le maximum d'informations sur l'état de fonctionnement de la tranche et à calculer les bilans thermoénergétiques du groupe.

Les documents de base permettent de calculer les écarts de consommation seront établis pour donner, avec la charge comme paramètre, la variation absolue de la consommation optimale de base en fonction des variables.

L'étude de ces différentes parties nous a mené à une élaboration d'un programme de contrôle économique manuel.

## TABLE DES MATIÈRES

REMERCIEMENTS	I
SOMMAIRE	II
INTRODUCTION	1
CHAPITRE I : DESCRIPTION DU PROJET	
I Titre du projet	4
II Définition du projet	4
III Importance du projet	5
CHAPITRE II : ETUDE TECHNIQUE DE LA C <sub>III</sub>	
I Composition	7
II Fonctionnement de la centrale thermique	8
III Caractéristiques des différents éléments.	11
CHAPITRE III : CRITÈRES D'ÉTUDE	
I Calcul du rendement de la chaudière	16
II Calcul de la consommation	17
III Calcul des écarts	18
CHAPITRE IV : BILAN THERMIQUE DE LA CHAUDIÈRE	
I Introduction	20
II Composition des gaz de combustion.	21

<b>III</b>	Détermination des pertes	26
1°/	Pertes par chaleur sensible des gaz secs	27
2°/	— " — échauffement et vaporisation de l'eau	28.
3°/	— " — de l'humidité de l'air comburant	28
4°/	Pertes par imbrûlés gazeux	29
5°/	Pertes par imbrûlés solides	29
6°/	Pertes par rayonnement et convection dans le milieu extérieur.	30
<b>IV</b>	Application numérique	30
1°/	Etude des résultats	32
2°/	Calcul des pertes	34
3°/	Calcul du rendement de la chaudière.	36

#### CHAPITRE V : CALCUL DE LA CONSOMMATION SPÉCIFIQUE

I.	Quantité de chaleur produite par la chaudière	39
II	Determination du travail effectif de la turbine	41
III	Rendement global du bloc Turbine - chaudière	44
IV	Bilan thermique — " — " —	47
V	Calcul de la consommation spécifique	48

#### CHAPITRE VI : DÉFINITION DES ESSAIS DE CONSOMMATION, NÉCESSAIRES

A L'ETUDE.	50
------------	----

## CHAPITRE VII : ETABLISSEMENT DES DOCUMENTS

### DE CONTRÔLE ÉCONOMIQUE

I Etablissement des courbes	61
II — — — des tableaux périodiques de contrôle économique	97
CONCLUSION	101
RECOMMANDATIONS	103
ANNEXES	
BIBLIOGRAPHIE	

## LISTE DES ANNEXES

- Calcul de la consommation spécifique de base A<sub>1</sub>
- RAPPORT ESSAI COMBUSTION  
(du 19 Janvier 1987) A<sub>2</sub>
- CONTRÔLE DE COMBUSTIBLE  
(du 09 Janvier 1987) A<sub>3</sub>
- Diagramme pour la détermination de la perte par rayonnement et convection dans le milieu extérieur , Pg. A<sub>4</sub>
- Diagrammes chiffrés
  - . Marche à 11 MW A<sub>5</sub>
  - . Marche à 16.5 MW A<sub>6</sub>
  - . Marche à 22 MW A<sub>7</sub>
  - . Marche à 27.5 MW. A<sub>8</sub>

## INTRODUCTION

Le prix de revient de l'énergie électrique produite par une usine génératrice, comprend deux parties :

1°) Les charges d'exploitation, à savoir :

a) les frais de combustible,  
b) les frais accessoires : matières consommables autre que le combustible (eau, huile, etc...), entretien, conduite, frais généraux

2°) Les charges de capital

Les premières dépendent du programme de marche de l'usine, les charges de capital, au contraire, sont indépendantes de ce programme.

Les charges de capital ou plus exactement l'amortissement du coût de l'installation ne sont pas diminuables pour une usine déjà existante. De même les frais accessoires qui sont nécessaires pour un fonctionnement normal à court et long terme de la centrale ne peuvent pas être un élément de réduction du prix de revient de l'énergie produite

Et comme dans toute installation il faut améliorer techniquement et économiquement ; le but de cette étude est d'élaborer un programme de contrôle économique manuel, nous permettant de par ses

caractéristiques de pouvoir faire une analyse performante de la variation de consommation spécifique de combustible avec les paramètres de fonctionnement de la centrale.

Analysé qui mesurera l'influence de chaque paramètre sur la consommation spécifique , et nous permettra de mieux savoir où et comment agir pour améliorer la consommation spécifique , . afin de diminuer les frais de combustible donc le prix de revient de l'énergie électrique produite par la SENELEC.

# CHAPITRE 1

DÉSCRIPTION DU PROJET

## DÉSCRIPTION DU PROJET

### I TITRE DU PROJET

CALCUL DE LA CONSOMMATION OPTIMALE DE BASE  
DE LA CENTRALE C<sub>III</sub> DU CAP - DES. BICHES ET  
DES ÉCARTS DE CONSOMMATION, POUR LA MISE  
EN APPLICATION D'UN CONTRÔLE ÉCONOMIQUE

MANUEL

### II DÉFINITION DU PROJET

La consommation optimale de base est le minimum de la consommation spécifique de combustible de la tranche: elle est unique et correspond donc à une nature de combustible déterminée. Cette consommation se calcule dans l'hypothèse où se trouveraient réunies simultanément toutes les conditions optimales qu'il serait possible de réaliser.

Le calcul des écarts consiste à trouver à partir des formules établies pour la détermination de la consommation optimale de base, l'influence des différents paramètres sur la consommation spécifique.

Nous allons présenter ces écarts sous forme de courbes traduisant la variation de la consommation spécifique

en fonction des différents paramètres.

Le contrôle économique consiste essentiellement en une comparaison de la consommation effective avec la consommation optimale de base et une analyse de la différence entre ces deux.

### III IMPORTANCE DU PROJET

Si la comptabilité générale, ou la comptabilité analytique par le moyen des comptes réfléchis, ne sont en mesure de fournir à l'exploitant des indications concernant le rendement technique d'une centrale.

Cependant, l'exploitant doit posséder des renseignements détaillés sur la consommation spécifique, lui permettant d'agir dans le sens d'une amélioration par la manière de conduire et d'entretenir l'installation.

Le rôle du contrôle économique est donc de fournir à l'exploitant le détail du dépassement du coût idéal du kilowatt-heure (kWh) en grammes de combustible. Tout dépassement de ce coût idéal dépend soit de causes externes sur lesquelles l'exploitant ne peut agir, soit de causes internes dépendant directement de l'exploitation. La connaissance du détail du dépassement due aux causes internes lui permettra d'agir en conséquence pour améliorer la consommation spécifique.

# CHAPITRE 2

ETUDE TECHNIQUE DE LA C<sub>III</sub>

## ETUDE TECHNIQUE DE LA C<sub>III</sub>

### I COMPOSITION

La centrale du Cap-des-Biches est la troisième unité de production d'énergie électrique du Sénégal. Elle constitue la plus récente et la plus importante. Elle est composée de trois tranches (301; 302; 303) et de deux turbines à gaz (T.A.G.1 ; T.A.G.2)

La 301 installée en 1966 comprend :

- Une chaudière en dépression d'une production d'environ 120 tonnes par heure de vapeur à 500 °C et 65 bars.
- Un groupe turbo-alternateur d'une puissance de 27,5 MW et d'une tension de sortie de 12,5 KV.

Les 302 et 303 ont été mises en service en 1975 et 1978 respectivement ; elles comprennent chacune :

- Une chaudière en pression de 130 tonnes par heure de vapeur à 510 °C et 65 bars.
- Un groupe turbo-alternateur de 30 MW et d'une tension de sortie de 12,5 KV

La T.A.G. 1 installée en 1971 a une puissance de 16,5 MW

La T.A.G. 2 avec une puissance de 21,5 MW a été installée en 1985.

Avec une puissance de 125,5 MW, la centrale du Cap des Biches (C<sub>III</sub>) représente l'unité de production la plus importante de la SENELEC.

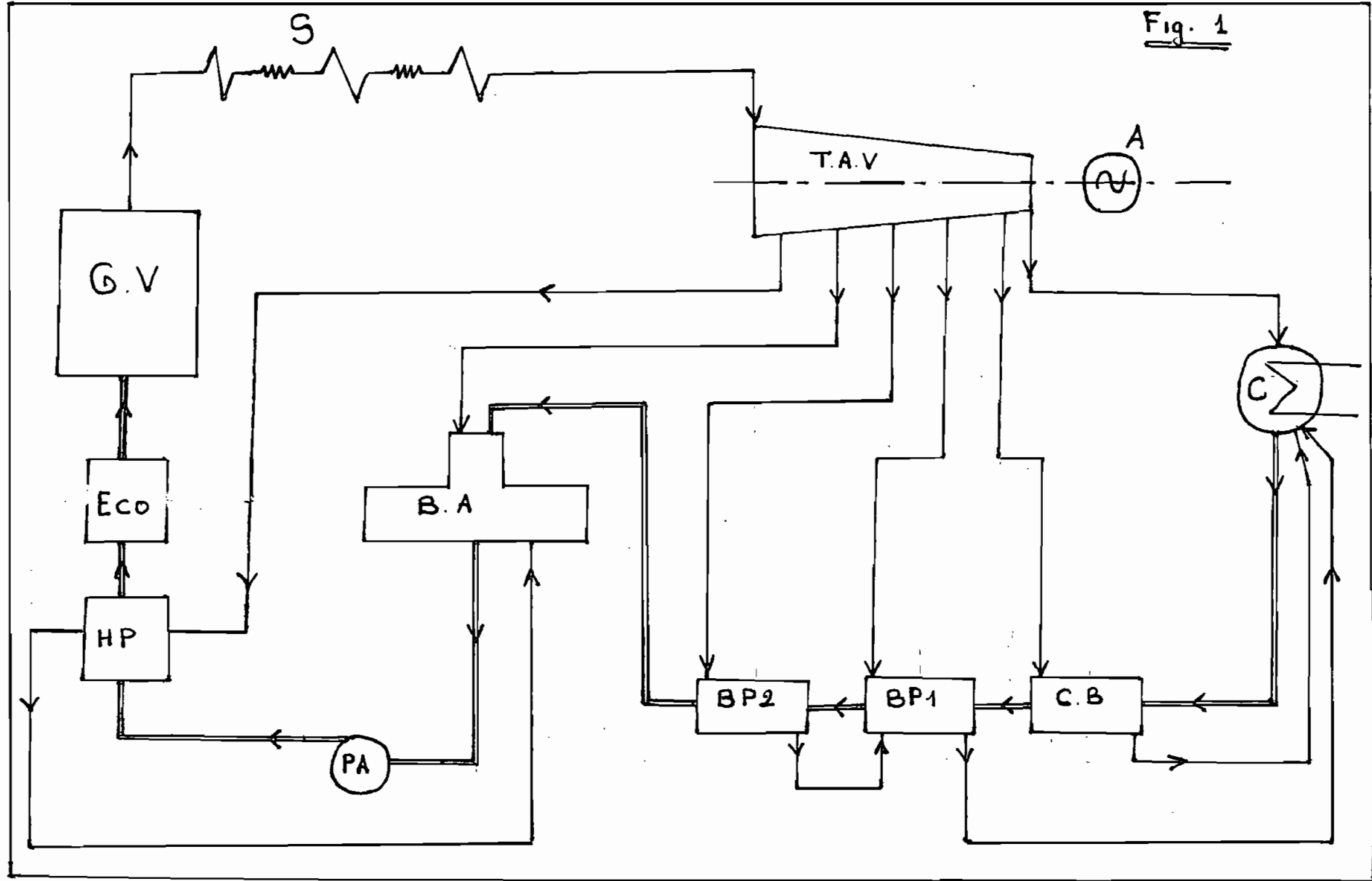
## II. COMPOSITION ET FONCTIONNEMENT DE LA CENTRALE THERMIQUE

La figure 1 montre les différents éléments qui caractérisent la centrale thermique. Cependant il y'a des éléments non représentés tels que les soupapes, la pompe d'extraction etc...

### Symboles utilisés

G.V.	= Générateur de vapeur
S	= Surchauffeur
T.A.V.	= turbine à vapeur
Eco	= Economiseur
P.A.	= Pompe alimentaire
C.B.	= Condenseur des bûches
C	= Condenseur
H.P.	= Réchauffeur haute pression
B.P.	= Réchauffeur basse pression
B.A.	= Bâche alimentaire
—	= Circuit eau
— —	= Circuit vapeur

Fig. 1



### CYCLE DE FONCTIONNEMENT

L'eau d'alimentation refoulée par la pompe alimentaire traverse les soupapes de réglage d'alimentation (non représentées) dont l'objet est de régler le débit de celle-ci en vue d'assurer un fonctionnement correct de la chaudière.

L'eau est réchauffée dans l'économiseur puis vaporisée dans le générateur de vapeur. La vapeur obtenue est séchée dans le séparateur d'eau (élément de la chaudière), puis surchauffée par les surchauffeurs. Elle passe ensuite à travers la soupape de réglage du débit de vapeur (non représentée). Cette vapeur sèche après avoir travaillé dans la turbine à vapeur, se trouve condensée dans le condenseur.

L'eau de condensation est reprise par la pompe d'extraction, puis passe par les réchauffeurs pour afin aboutir au ballon de démarrage encore appelé bâche alimentaire à partir duquel le cycle recommence.

Pendant la période de démarrage, l'eau ou le mélange d'eau et de vapeur est renvoyé automatiquement dans la bâche alimentaire par la soupape by-pass.

### III CARACTÉRISTIQUES DES DIFFÉRENTS ÉLÉMENTS

#### LE CONDENSEUR

Il condense les vapeurs ayant travaillé dans la turbine et récupère les eaux de purge. À la sortie du condenseur, la pompe d'extraction envoie l'eau collectée vers le condenseur des buées qui est un échangeur de chaleur situé juste avant le réchauffeur basse pression. Il reçoit les buées des boîtes étanches de la turbine. Au contact des tubes, les buées se condensent alors que l'eau distillée gagne en température.

#### LE DÉGAGEUR

La bâche alimentaire est surmontée d'un dégazeur dont le rôle est de libérer les incondensables suivant deux principes :

- Le dégazage physique : Il consiste à envoyer l'eau distillée sur une plaque chauffée. Les gouttelettes d'eau vont alors se fracasser en une multitude de particules libérant ainsi tous les gaz incondensables. Ces derniers sont envoyés vers l'atmosphère.

- Le dégazage chimique : consiste lui à

envoyer de l'hydrazine  $N_2H_4$  à la sortie du dégazeur; ce produit a la propriété de fixer l'oxygène et d'augmenter le taux d'alcalinité de l'eau.

### LE GÉNÉRATEUR DE VAPEUR

L'échauffement de l'eau, sa vaporisation et de la vapeur produite sont généralement effectués dans des appareils distincts. Ces éléments sont le générateur de vapeur proprement dit, les surschauffeurs et l'économiseur. Ces trois composantes qui constituent la chaudière ont les mêmes caractéristiques.

Notons qu'il y avait toujours intérêt à faire circuler méthodiquement (à contre courant) le fluide chauffé et les gaz chauds; à cet égard, le surschauffeur devrait être le premier à recevoir les gaz de combustion, puis la surface évaporatrice et enfin le réchauffeur d'eau ou économiseur. Telle est la place assignée à l'économiseur aussi dénommé parce qu'il vient s'adjointre à la surface évaporatrice afin de mieux épurer la chaleur des gaz de combustion; notons qu'il existe en outre d'envoyer dans les collecteurs des chaudières de l'eau relativement froide, ce qui dans les chaudières à haute pression pourrait occasionner des dilatations mal réparties et, par conséquent, des risques de

fatigue du matériel et des joints. Il n'en est pas de même pour le surchauffeur.

Au vu de la chandelle, nous avons des systèmes de protection nous permettant de détecter certaines anomalies

à savoir :

- le manque de pression de la vapeur de pulvérisation
- le manque de pression de l'air de régulation
- le niveau du ballon supérieur (bas ou très bas)
- Des roupures de suette qui s'ouvrent en cas de surpression.

des turbines sont toujours montées en parallèle. Cela pour que l'une d'elles puisse reprendre automatiquement si la pression de l'autre ne satisfait pas la consigne établie.

### LA TURBINE

les turbines à haute pression pour lesquelles une recherche au rendement élevé ont nécessairement un grand nombre d'étages. Les paliers de construction et de forage conduisent alors à séparer la turbine en plusieurs corps, les rotors étant accouplés rigidement entre chaque corps et reposant sur des paliers intermédiaires.

Cette construction permet de diminuer les jeux (les frottements).

Volume 302 of 303).

The forehead is black, some longitudinal markings on the face, a dark patch on the bridge of the nose, and a dark patch on the chin. The body is black above, with a dark dorsal stripe, and a dark lateral stripe. The flanks are yellowish, with a dark dorsal stripe, and a dark lateral stripe. The ventral surface is yellowish, with a dark dorsal stripe, and a dark lateral stripe. The tail is black, with a dark dorsal stripe, and a dark lateral stripe. The fins are black, with a dark dorsal stripe, and a dark lateral stripe.

# CHAPITRE 3

CRITÈRES D'ETUDE

## CRITERES D'ÉTUDE

Pour une meilleure démarche méthodologique, nous avons commencé par faire une étude technique de la Centrale C<sub>II</sub>. La partie calcul. elle, est divisée en trois chapitres :

- Calcul du rendement de la chaudière
- Calcul de la consommation "optimale de base" brute pour le groupe turbine-chaudière.
- Calcul des écarts de consommation et établissement des courbes

### I CALCUL DU RENDEMENT DE LA CHAUDIÈRE.

Le calcul nécessite d'abord un choix de combustible de base. Ce choix comporte une part d'arbitrairie. Ainsi il faut seulement considérer les caractéristiques du combustible de base comme les valeurs de référence standard.

La méthode de calcul utilisée est celle des pertes séparées qui devient la méthode la plus simple. On a supposé que la désurchauffe est prise en compte au niveau du générateur de vapeur.

Tous les calculs sont faits avec le Turbo groupe à vapeur de 22 / 27,5 MW, sans pertes, sans apport ni distillation. Le calcul a été simplifié par la connaissance de l'état de l'eau à l'entrée et de la vapeur à la sortie de la chaudière. Cette dernière

Simplification est relative au calcul de la quantité de chaleur fournie par le générateur de vapeur,  $Q_T$ .

## II CALCUL DE LA CONSOMMATION

Le calcul de la consommation optimale de base peut se faire à l'aide des données du constructeur, c'est à dire des tableaux de fonctionnement du groupe turbo-alternateur qui permettent de connaître les pressions aux différents points du cycle en fonction du débit de vapeur ou d'eau ainsi que les enthalpies correspondant. Les débits de fuites des garnitures sont, ou bien explicités, ou bien intégrés globalement dans le bilan au moyen d'un coefficient de fuite. Mais généralement il apparaît après un certain temps le fonctionnement, de grands écarts entre les résultat d'essais et les valeurs garanties, dues à la dégradation de l'installation. Dans ce cas qui est aussi le nôtre, on peut utiliser pour une meilleure approche, les résultats d'essais et le problème se trouve simplifié. Cependant il y'a lieu d'adapter certains résultats d'essais. En effet, les valeurs des consummations spécifiques de combustible, données dans les conditions dites optimales d'exploitation, ne représentent pas nécessairement celles que l'on réaliseraient dans les conditions optimales au sens du contrôle économique. D'autre part

pour cette présente étude, nous avons utilisé les données que nous avons pu avoir ; qui ne représentent pas forcément celles des conditions optimales qu'il serait possible de réaliser. Il en résulte que la consommation optimale trouvée dite consommation optimale de base ne peut ne pas l'être en réalité, mais soit simplement une consommation spécifique correspondant aux paramètres de référence.

### III CALCUL DES ÉCARTS

Le calcul des écarts et l'établissement des courbes seront faits par palier de charge. Concernant les écarts, pour fin de clarté, de transparence, nous nous limiterons aux variations absolues par rapport à la consommation spécifique de référence pour la charge considérée.

# CHAPITRE 4

BILAN THERMIQUE

DE LA

CHAUDIÈRE

## BILAN THERMIQUE DE LA CHAUDIÈRE

### I INTRODUCTION

Faire le bilan thermique consiste à déterminer au niveau de la chaudière, d'une part la quantité de chaleur apportée par la combustion, d'autre part la chaleur cédée à l'eau à travers l'économiseur, le générateur de vapeur et les surchauffeurs, ainsi que les différentes pertes calorifiques.

Faisons ce bilan pour un kilogramme de combustible.

$P_e$  représente la quantité de chaleur cédée à l'eau.

$p_1, p_2, p_3, p_4, p_5$  et  $p_6$  les différentes pertes calorifiques rapportées aux calories du combustible (le P.C.S.)

P.C.S. est le pouvoir calorifique supérieur du combustible. C'est la quantité de chaleur dégagée par un kilogramme de combustible considéré en supposant que les éléments de la combustion sont pris à  $0^\circ\text{C}$  et les produits de combustion ramenés à  $0^\circ\text{C}$  après combustion, l'eau se trouvant condensée }

Le bilan thermique donne :

$$\text{P.C.S} = P_a + \sum_{i=1}^6 p_i \times \text{P.C.S}$$

$P_e$  représente la quantité de chaleur cédée à l'eau par un

kilogramme de combustible.

Dans ce cas, le rendement de la chaudière est :

$$\eta_{ch} = \frac{P_a}{P.C.S.} = \frac{P.C.S. - \sum P_i \times P.C.S.}{P.C.S.} = 1 - \sum P_i$$

On distingue dans la gamme des pertes calorifiques :

- la perte par chaleur sensible des gaz secs
- la perte par échauffement et vaporisation de l'eau provenant soit de l'humidité du combustible, soit de son hydrogène.
- la perte par échauffement de l'humidité de l'air comburant
- la perte par imbrûlés gazeux
- la perte par imbrûlés solides
- la perte par rayonnement et convection dans le milieu extérieur

Pour l'établissement de ce bilan thermique, il s'avère nécessaire de faire une analyse complète du combustible et des composants des gaz de combustion (voir principes généraux des essais de combustion).

## II COMPOSITION DES GAZ DE COMBUSTION

1] Soit un combustible de composition moyenne suivante:

c : teneur en carbone

h : teneur en hydrogène

s : teneur en soufre

o : teneur en oxygène

n : teneur en azote

a : teneur en eau

Les proportions d'oxygène et d'azote atmosphérique dans l'air comburant (comportant les gaz rares et le  $\text{CO}_2$  de l'air) sont :

En poids	$\text{O} = 0,2320$	$\text{N}_{\text{at}} = 0,7580$	$\text{CO}_2 = 5 \cdot 10^{-4}$
----------	---------------------	---------------------------------	---------------------------------

En volume	$\text{O} = 0,2099$	$\text{N}_{\text{at}} = 0,7901$	$\text{CO}_2 = 3 \cdot 10^{-4}$
-----------	---------------------	---------------------------------	---------------------------------

Les poids et volumes moléculaires des corps intervenant dans la combustion sont :

Elements	Poids en (g)	Volume (l)	Gaz-Composés	Poids en (g)	Volume (l)
C	12,01		$\text{CO}_2$	44,01	22,26
S	32,06		CO	28,01	22,41
$\text{O}_2$	32,00	22,39	$\text{SO}_2$	64,06	21,89
$\text{N}_2$	28,02	22,40	$\text{CH}_4$	16,04	22,38
$\text{H}_2$	2,016	22,43	$\text{C}_2\text{H}_6$	30,07	22,17

2°) Poids et volume des gaz à partir de l'analyse des gaz de combustion

Si  $\text{CO}_2$ , CO,  $\text{O}_2$ ,  $\text{N}_2$ ,  $\text{SO}_2$  représentent les teneurs en volume des différents gaz de combustion rapportées au volume total des gaz secs (CO étant le seul imbrûlé gazeux), la composition des gaz produits par la combustion de C kg de carbone est donnée par le tableau suivant, en posant

$$A = \frac{\text{CO}_2}{22,26} + \frac{\text{CO}}{22,41} = \frac{\text{CO}_2 + 0,99 \text{CO}}{22,26}$$

A représente le nombre d'atome de carbone par litre de gaz secs (de fumées).

Constituant	Poids en Kg	Volume en $\text{m}^3$ (c en Kg)
$\text{CO}_2$	$c \cdot \frac{44,01}{12,01} \times \frac{\text{CO}_2}{22,26} \times \frac{1}{A}$	$c \cdot \frac{\text{CO}_2}{12,01} \times \frac{1}{A}$
CO	$c \cdot \frac{28,01}{12,01} \times \frac{\text{CO}}{22,41} \times \frac{1}{A}$	$c \cdot \frac{\text{CO}}{12,01} \times \frac{1}{A}$
$\text{SO}_2$	$c \cdot \frac{64,06}{12,01} \times \frac{\text{SO}_2}{21,89} \times \frac{1}{A}$	$c \cdot \frac{\text{SO}_2}{12,01} \times \frac{1}{A}$
$\text{O}_2$	$c \cdot \frac{32}{12,01} \times \frac{\text{O}_2}{22,39} \times \frac{1}{A}$	$c \cdot \frac{\text{O}_2}{12,01} \times \frac{1}{A}$
$\text{N}_2$ (atmosphérique)	$c \cdot \frac{1,257}{12,01} \times \text{N}_2 \times \frac{1}{A}$	$c \cdot \frac{\text{N}_2}{12,01} \times \frac{1}{A}$

Le poids spécifique de N<sub>2</sub>at étant de 1,257 g/l

### Explication du tableau

$\frac{c}{12,01}$  représente le nombre d'atome total de carbone dans les gaz secs, (les fumées).

A représente le nombre d'atome de carbone par litre de gaz secs. On a alors  $\frac{c}{12,01} \times \frac{1}{A}$  qui représente le volume des gaz secs.

### Pour les poids

$\frac{CO_2}{22,26}$ ,  $\frac{SO_2}{21,89}$ ,  $\frac{CO}{22,4}$ ,  $\frac{O_2}{22,39}$  représentent respectivement

le nombre de molécules de CO<sub>2</sub>, SO<sub>2</sub>, CO et O<sub>2</sub> par litre des gaz secs.

Ces nombres de molécules par litre de fumées multipliés par le volume des fumées et la masse moléculaire du constituant donne le poids de ce constituant dans les gaz secs.

Pour N<sub>2</sub> (at) le volume des gaz secs multiplié par la teneur en volume de l'azote atmosphérique N<sub>2</sub> et le poids spécifique de N<sub>2</sub> (at) donne le poids de N<sub>2</sub> (at) dans les gaz secs.

### Pour les volumes

Le volume d'un constituant (exemple CO<sub>2</sub>) dans les gaz secs est égal à sa teneur volumique (CO<sub>2</sub>) multipliée par le volume total des gaz secs ( $\frac{c}{12,01} \times \frac{1}{A}$ ). Par exemple : CO<sub>2</sub>  $\times \frac{c}{12,01} \times \frac{1}{A}$ .

### Poids et volume des gaz secs

On obtient les poids et volumes des gaz secs en faisant la somme des poids et volumes des différents gaz de combustion.

### Poids des gaz secs : $P_g$

$$P_g = c \times \frac{3,664 \text{ CO}_2 + 2,649 \text{ O}_2 + 2,317 \text{ CO} + 2,33 \text{ N}_2 + 5,424 \text{ SO}_2}{\text{CO}_2 + 0,99 \text{ CO}}$$

$$P_g \approx c \times \frac{11 \text{ CO}_2 + 8 \text{ O}_2 + 7 (\text{CO} + \text{N}_2) + 16 \text{ SO}_2}{3 (\text{CO}_2 + \text{CO})} \left[ \frac{\text{kg}}{\text{Kg}} \right]$$

### Volume des gaz secs : $V_g$

$$\begin{aligned} V_g &= \frac{c}{12,01} \times \frac{1}{A} = \frac{c}{12,01} \times \frac{22,26}{\text{CO}_2 + 0,99 \text{ CO}} \left[ \frac{\text{m}^3}{\text{Kg}} \right] \\ &= \frac{1,853 \times c}{\text{CO}_2 + 0,99 \text{ CO}} \end{aligned}$$

$$V_g \approx \frac{1,853 \times c}{\text{CO}_2 + \text{CO}}, \left[ \frac{\text{m}^3}{\text{Kg}} \right]$$

Le carbone du combustible ne brûlant jamais complètement, il en subvise par Kg de combustible une partie  $c_i$  à l'état d'imbûlé. Posons :  $c' = c - c_i$ , il faut donc, pour tenir compte de ces imbûlés, remplacer  $c$  par  $c'$  dans toutes les expressions précédentes.

$V_g$  devient :

$$V_g = \frac{1,853 c'}{CO_2 + CO} \left[ \frac{m^3}{kg} \right]$$

Il peut arriver que de l'hydrogène, des hydrocarbures ou même des aldéhydes imbrûlés existent dans les gaz de combustion. On trouvera facilement comment doivent se modifier les résultats précédents pour en tenir compte, A (du tableau précédent) prend la forme :

$$A = \frac{CO_2}{22,26} + \frac{CO}{22,41} + \frac{CH_4}{22,38} + \dots + \frac{m C_m H_n O_p}{V_m} + \dots$$

### III DÉTERMINATION DES PERTES

1] Perte par chaleur sensible des gaz secs :  $P_1$

Comme la tension des gaz reste voisine de la tension atmosphérique, on peut assimiler la variation d'enthalpie des gaz secs à leur chaleur d'échauffement à pression constante.

Les chaleurs d'échauffement à pression constante étant voisines pour tous les gaz diatomiques, mais différentes pour le  $CO_2$ , on a pour 1 kg de combustible à partir de l'expression de  $V_g$ .

$$P_1 = Vg \left( 1 - CO_2 \right) \times \frac{Q_d}{t_0}^{tg} + Vg \times CO_2 \times \frac{Q_c}{t_0}^{tg} \quad \left[ \frac{\text{kcal}}{\text{kg}} \right]$$

$\frac{Q_d}{t_0}^{tg}$  : chaleur d'échauffement pour les gaz diatomiques entre les températures  $t_0$  et  $t_g$

$\frac{Q_c}{t_0}^{tg}$  : chaleur d'échauffement pour le  $CO_2$  entre  $t_0$  et  $t_g$

$CO_2$  et  $CO$  étant les teneurs en volume de ces gaz dans les produits de combustion

$$P_1 = 1,853 c' \left[ \frac{Q_d}{t_0}^{tg} \frac{1 - CO_2}{CO_2 + CO} + \frac{Q_c}{t_0}^{tg} \frac{CO_2}{CO_2 + CO} \right]$$

En adoptant des chaleurs spécifiques moyennes de 0,425 pour le  $CO_2$  et 0,312 pour les autres gaz, entre  $20^\circ\text{C}$  et  $150^\circ\text{C}$ , on obtient

$$P_1 = \left[ 0,578 \frac{1 - CO_2}{CO_2 + CO} + 0,788 \frac{CO_2}{CO_2 + CO} \right] c' (t_g - t_0) \quad \left[ \frac{\text{kcal}}{\text{kg}} \right]$$

2°) Perte pour échauffement et vaporisation de l'eau provenant soit de l'humidité du combustible, soit de son hydrogène:

Elle s'obtient en multipliant la différence  $\Delta H$  entre l'enthalpie de la vapeur d'eau dans les gaz, sous sa pression partielle, et celle de l'eau à la température ambiante par ( $a + gh$ ) qui représente le poids total d'eau ou :

$a$  : teneur en humidité du combustible

$h$  : teneur en hydrogène du combustible

$$P_2 = \Delta H (a + gh) \left[ \frac{\text{kcal}}{\text{kg}} \right]$$

Il est suffisamment exact d'adopter une chaleur spécifique moyenne pour la vapeur d'eau, soit 0,45 kcal/kg. 0°C. On a alors

$$P_2 = (597 + 0,45 t_g - t_o)(a + gh) \left[ \frac{\text{kcal}}{\text{kg}} \right]$$

$597 \frac{\text{kcal}}{\text{kg}}$  étant la chaleur de vaporisation à 0°C

$t_o \approx$  enthalpie de l'eau car sa chaleur spécifique  $\approx 1$

3°) Perte par chauffement de l'humidité de l'air

comburant :  $P_3$

$$P_3 = 0,45 V_a (t_g - t_o) \alpha \left[ \frac{\text{kcal}}{\text{kg}} \right]$$

$\alpha$  : teneur en humidité dans  $1 \text{ m}^3$  d'air sec  $\left[ \frac{\text{Kg}}{\text{m}^3} \right]$

$V_a$  : volume d'air comburant

$$V_a = V_{a_0} \times \epsilon$$

$\epsilon$  : coefficient d'excès d'air

$V_{a_0}$  : volume d'air nécessaire pour la combustion neutre.

$$V_{a_0} = 8,88 c + 26,46 h + 3,33 s - 3,33 o \quad \left[ \frac{\text{m}^3}{\text{Kg}} \right]$$

#### 4°) Perte par imbrûlés gazeux : $P_4$

Si le seul gaz combustible dans les produits de la combustion est l'oxyde de carbone, dont le P.C.S est égal à  $3020 \text{ kcal/m}^3$ , cette perte s'exprime par :

$$P_4 = 3020 \times 1,853 c' \frac{CO}{CO_2 + CO}$$

$$P_4 = 5600 c' \frac{CO}{CO_2 + CO} \quad \left[ \frac{\text{kcal}}{\text{Kg}} \right]$$

#### 5°) Perte par imbrûlés solides : $P_5$

Sur le cas où l'on connaît la teneur moyenne en carbone imbrûlé des cendres, on obtient alors :

$$P_5 = C_a \frac{C_{ia}}{1 - C_{ia}} \times 8133 \quad \left[ \frac{\text{kcal}}{\text{Kg}} \right]$$

$C_a$  : teneur en cendre du combustible

Cie : teneur moyenne en carbone des cendres

B133 : le P. C. S. du carbone

6°) Partie par rayonnement et convection dans le milieu extérieur : Pg

Cette perte est difficilement mesurable ou calculable.

Elle sera déterminée sur abaque.

Remarque :

Les différentes pertes précitées, rapportées au P. C. S. donnent :

$$P_i = \frac{P_i}{P.C.S}$$

#### IV APPLICATION NUMÉRIQUE

Pour une utilisation efficace de cette méthode de calcul de rendement de chaudière, nous avons procédé à un essai de combustion à la centrale du Cap-des-Broches. Les résultats sont présentés sous forme de rapport d'essai : (cf. annexe A<sub>g</sub>)

Avant de commencer les calculs, il serait utile de faire une récapitulation des résultats obtenus.

- Résultats de l'analyse du combustible :

$$P.C.S. = 10511 \left| \frac{\text{kcal}}{\text{kg}} \right|$$

$$P.C.I = 9956 \left| \frac{\text{kcal}}{\text{kg}} \right|$$

$$c = 0,87785 \text{ kg/kg de combustible}$$

$$h = 0,10575 \text{ --- ---}$$

$$s = 0,0154 \text{ --- ---}$$

$$a = 0,001 \text{ --- ---}$$

### Résultats de l'analyse des fumées

En ce qui concerne cette analyse nous avons réalisé trois essais avec des intervalles de trente minutes. Ceci nous permet de mieux apprécier la justesse des appareils et l'état de la combustion.

	<u>Essai</u> 17 <sup>h</sup> 00	<u>Essai</u> 17 <sup>h</sup> 30	<u>Essai</u> 18 <sup>h</sup> 00
CO <sub>2</sub>	12,7 %	12,7 %	12,6 %
O <sub>2</sub>	3,9 %	4,1 %	4,2 %
e	123,5 %	123,5 %	123,5 %
t <sub>g</sub>	178,8 °C	178,8 °C	178,4 °C
t <sub>o</sub>	43,2 °C	43,4 °C	42,8 °C

$\epsilon$ : coefficient d'excès d'air de la combustion

$t_g$ : température des fumées sorties réchauffées d'air

$t_0$ : température de l'air sorties ventilateur & soufflage.

### 1 °/ Etude des résultats obtenus

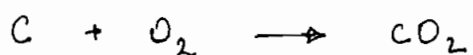
L'analyse des fumées faite avec l'appareil d'ORSAT, n'étant pas complète, nous pouvons vérifier si les résultats obtenus au cours de l'eau sont réellement significatifs pour le calcul des différentes pertes.

Le taux en  $\text{CO}_2$  donnée par l'appareil d'ORSAT représente en réalité la somme des teneurs :  $\text{CO}_2 + \text{SO}_2$ .  
Mais le soufre du combustible étant très petit on peut admettre que :  $\text{CO}_2 + \text{SO}_2 \approx \text{CO}_2$

Pour un kilogramme de combustible nous avons :

877,85 g de c et 15,4 g de s

On sait que :



En supposant que tout le carbone a réagi on a :

nombre de moles de  $\text{CO}_2$  = nombre de moles de C.

$$- \text{ " } - \text{ " } - = 877,85 / 12,01 = 73 \text{ moles de CO}_2$$



nombre de moles de  $\text{SO}_2$  = nombre de moles de s

$$- \text{ " } - \text{ " } - = 15,4 / 32 = 0,43 \text{ moles de SO}_2$$

$$CO_2 = \frac{V_{CO_2}}{V_g}$$

$$SO_2 = \frac{V_{SO_2}}{V_g}$$

$$CO_2 + SO_2 = \frac{V_{CO_2} + V_{SO_2}}{V_g} = \frac{22,26 \times 73 + 21,89 \times 0,43}{V_g}$$

$$= \frac{1}{V_g} (1624,98 + 9,41) \approx \frac{1624,98}{V_g}$$

Donc  $CO_2 + SO_2 \approx CO_2$  est une approximation valable.

En ce qui concerne la teneur en CO, elle n'est pas fournie par l'appareil d'ORSAT, mais néanmoins nous pouvons faire un calcul approximatif pour avoir une bonne appréhension de l'état de la combustion.

En supposant que le carbone du combustible a complètement brûlé (cas le plus défavorable car on CO max) et  $V_g = 1,853 \times C / CO_2$

$$V_g = \frac{1,853 \times 0,87785}{0,127} = 12,808 \text{ m}^3/\text{kg de combustible}$$

• Masse totale de carbone formant le  $CO_2$ :  $M$

$$M = \frac{0,127 \times 12,808 \times 12,01}{22,26} = 0,87763 \text{ kg/kg comb.}$$

• Masse totale de carbone formant le CO :  $M'$

$$M' = C - M = 0,87785 - 0,87763 = 2,2 \cdot 10^{-4} \text{ kg/kg.}$$

• Nombre de moles de CO :  $m$

$$m = 2,2 \cdot 10^{-4} / 12,01 = 1,83 \cdot 10^{-5} \text{ mol / kg}$$

• Volume de CO :  $V_{CO}$

$$V_{CO} = 1,83 \cdot 10^{-5} \times 22,41 = 4,10 \cdot 10^{-4} \text{ m}^3 / \text{kg}$$

• Teneur en CO :  $CO$

$$CO = \frac{4,10 \cdot 10^{-4}}{12,808} \times 100 = 3,2 \cdot 10^{-3} \%$$

À partir de ces résultats, nous pouvons dire que l'approximation de  $V_g$  est correcte c'est à dire la teneur en CO est négligeable.

En effet :  $CO_2 + SO_2 \approx CO_2$  et

$$CO \approx 0$$

Les résultats fournis par l'analyse suffisent pour le calcul des différentes pertes.

## 2°/ Calcul des pertes

Compte tenu de la définition du projet, calcul de la consommation optimale, nous choisissons pour nos calculs l'eau d' $\varnothing 17^H 30 \text{ mm}$  qui donne le meilleur rendement : plus grande teneur en  $CO_2$  et plus grande température de l'air sortie ventilateur de soufflage,  $t_o$ . Dans ce cas où minimiser les pertes, les autres paramètres restant constants sur les trois ensembles.

• Perte  $P_1$

$$P_1 = 0,578 \cdot \frac{1 - CO_2}{CO_2 + CO} + 0,788 \cdot \frac{CO_2}{CO_2 + CO} \times c(t_g - t_o) \left[ \frac{\text{kcal}}{\text{kg}} \right]$$

$$P_1 = 0,578 \times \frac{1 - 0,127}{0,127} + 0,788 \cdot \frac{0,127}{0,127} \times 0,87785 (178,8 - 43,4)$$

$$P_1 = \underline{565,92} \left[ \text{kcal / kg} \right]$$

• Perte  $P_2$

$$P_2 = [597 + 0,45 t_g - t_o] (\alpha + \eta h)$$

$$= [597 + 0,45 \times 178,8 - 43,4] (0,001 + 9 \times 0,10575)$$

$$P_2 = \underline{604,10} \left[ \text{kcal / kg} \right]$$

• Perte  $P_3$

$$P_3 = 0,45 V_a (t_g - t_o) \alpha$$

$$\begin{aligned} V_a &= V_{a_0} \times e = (8,88 C + 26,46 h + 3,33 S - 3,33 O) \times 1,235 \\ &= 13,146 \text{ m}^3 \end{aligned}$$

Note: le 09 - 01 - 1987 à Dakar  $\alpha = 0,021 \frac{\text{kg H}_2\text{O}}{\text{m}^3 \text{ d'air}}$

$$P_3 = 0,45 \times 13,146 (178,8 - 43,4) \times 0,021 = \underline{16,70} \left[ \text{kcal / kg} \right]$$

• perte  $P_4$

$$P_4 = 5600 \times c \times \frac{CO}{CO_2 + CO}$$

avec  $CO = 0$        $P_4 = 0$

• perte  $P_5$

La perte par émulsions solides  $P_5$  est nulle car la teneur en cendre du combustible est nulle.

• perte  $P_6$

Cette perte par rayonnement et convection est déterminée dans le graphique 3 (cf annexe A2) avec comme paramètres d'entrée :

debit de combustible : 8 t/h

Comb à considérer : chaudière à grand volume et non isolée.

Ainsi :  $P_6 = 2\% \text{ P.C.I} = 2 \times \frac{9956}{100}$

$$P_6 = 199,12 \text{ kcal/kg combustible}$$

3°/ Calcul du rendement de la chaudière

$$\eta_{ch} = 1 - \sum P_i$$

$$\sum P_i = 1385,84 \text{ kcal/kg.}$$

$$\sum p_i = \frac{\sum P_i}{P.C.S.}$$

$$\sum p_i = \frac{1385,84}{10511} = 0,13185$$

$$\eta_{ch} = 1 - \sum p_i = 1 - 0,13185 = 0,8681$$

$$\boxed{\eta_{ch} = 86,81 \%}$$

# CHAPITRE 5

CALCUL DE LA

CONSOMMATION SPÉCIFIQUE

## I QUANTITE DE CHALEUR PRODUITE PAR LA CHAUDIERE

En faisant le bilan thermique de la chaudière, on peut déterminer la quantité de chaleur apportée par la combustion.

Le bilan consiste à déterminer dans l'unité de temps, d'une part la chaleur apportée par la combustion, soit  $Q_c$  calories, d'autre part la chaleur cédée à l'eau pour son échauffement, sa vaporisation, et la surchauffe de la vapeur produite, soit  $Q_T$ , ainsi que les différentes pertes calorifiques. Ces pertes calorifiques sont dans un rapport  $p$  avec les calories du combustible.

Sié lors, on a dans l'unité de temps :

$$Q_c = Q_T + p Q_c + r$$

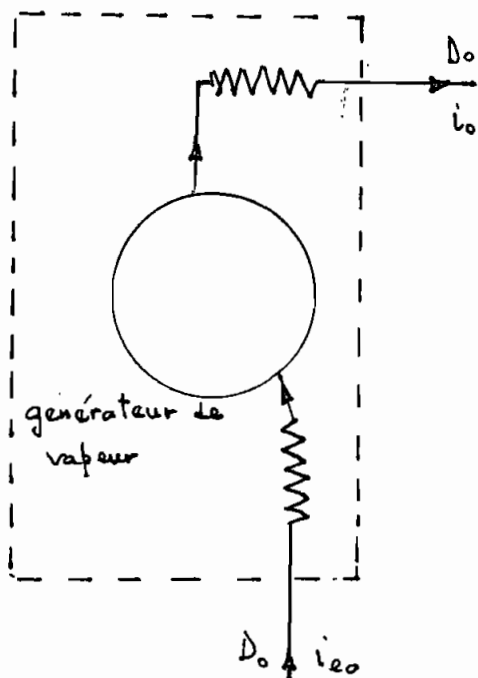
$r$  étant un terme que l'on obtient par différence et qui est constitué par les pertes non mesurables, qui consistent essentiellement en chaleur perdue par rayonnement, convection ou conductibilité dans le milieu extérieur.

Quant à  $Q_T$ , elle représente aussi la chaleur utile

produite par la chaudière.

$$Q_T = D_o (i_o - i_{eo})$$

$D_o$  : débit de vapeur augmenté éventuellement  
du débit calorifique fourni au resurchauffeur  
 $i_o$  : enthalpie de la vapeur produite  
 $i_{eo}$  : enthalpie de l'eau d'alimentation.

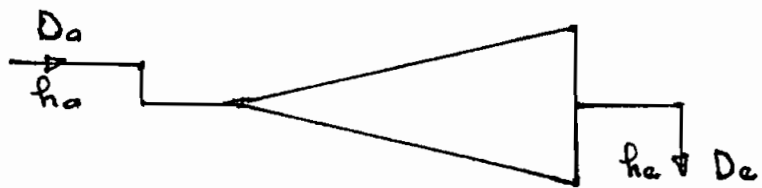


L'eau à travers la chaudière, reçoit de la chaleur pour son échauffement, sa vaporisation et la surchauffe de la vapeur produite.

## II DÉTERMINATION DU TRAVAIL EFFECTIF DE LA TURBINE

Le principe de cette détermination est de définir un circuit bien déterminé et de pouvoir calculer toutes les quantités de chaleur entrant ou sortant de ce circuit.

a) Dans le cas le plus simple d'une turbine à condensation à détente complète sous soutirage le travail fourni par la turbine est :



$$W_{\text{turbine}} = D_a f_{ha} - D_e f_{he}$$

$D_a$  : débit de vapeur à l'admission de la turbine

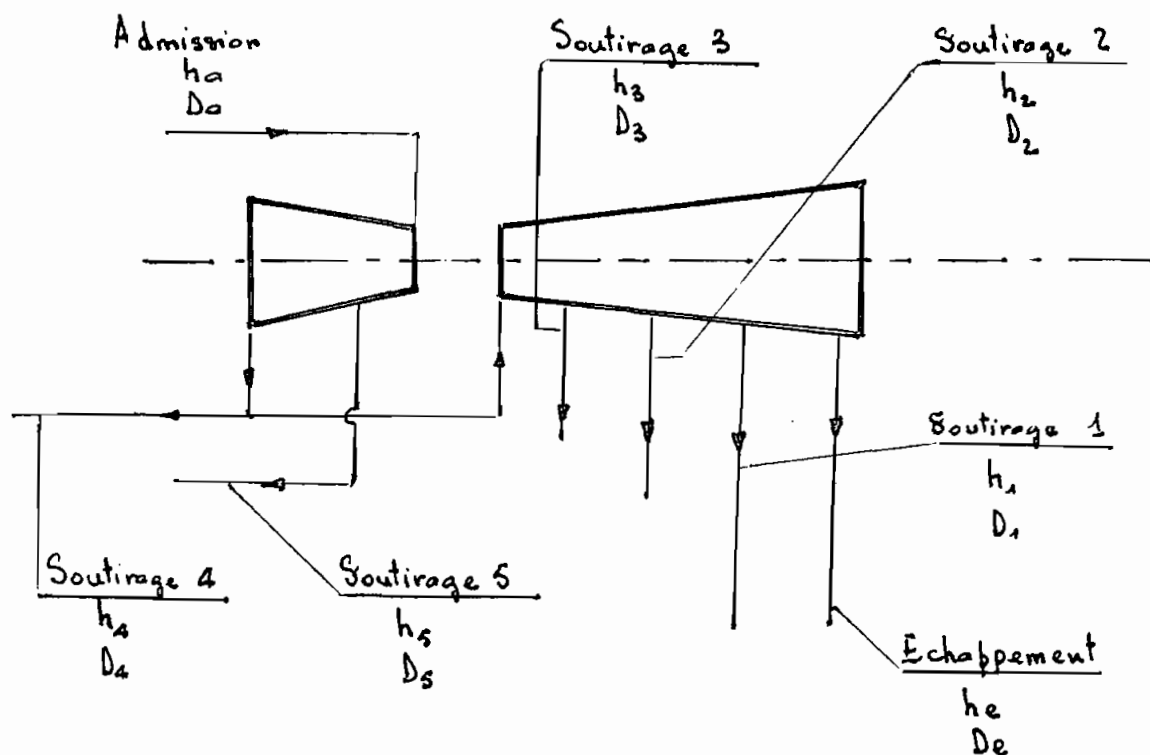
$f_{ha}$  : enthalpie de la vapeur à l'admission

$D_e$  : débit de la vapeur à l'échappement

$f_{he}$  : enthalpie à l'échappement

b) En réalité la turbine est munie de prélevements de vapeur destinés à réchauffer l'eau d'alimentation et possède en sus supplément une resurchauffe de la

de la vapeur après une première détente



Les enthalpies des différents soutirages sont déterminées à partir des mesures de température et de pression. Les débits peuvent être directement mesurés. Le débit de vapeur à l'admission diffère de celui de la vapeur à l'échappement d'une quantité égale aux débits des différents soutirages; en supposant nulle la perte de débit.

Le travail de la turbine est égal à la somme des travaux effectués par la vapeur entre les différents soutirages (voir figure)

Entre l'admission et le soubirage 5 le débit de vapeur est égal à  $D_a$ .

Entre le soubirage 5 et le soubirage 4 on a  $D'_1 = D_a - D_s$

Entre le soubirage 4 et le soubirage 3 ...  $D'_2 = D'_1 - D_4$

$$\rightarrow \quad \rightarrow \quad 3 \quad \rightarrow \quad \rightarrow \quad 2 \quad \rightarrow \quad D'_3 = D'_2 - D_3$$

$$\rightarrow \quad \rightarrow \quad 2 \quad \rightarrow \quad \rightarrow \quad 1 \quad \rightarrow \quad D'_2 = D'_3 - D_2$$

Entre le soubirage 1 et l'échappement, le

$$\text{débit de vapeur est } D_a = D'_4 - D_1$$

Le travail de la turbine  $Q_T^e$  est :

$$\begin{aligned} Q_T^e &= D_a(h_a - h_5) + D'_1(h_5 - h_4) \\ &+ D'_2(h_4 - h_3) + D'_3(h_3 - h_2) \\ &+ D'_2(h_2 - h_1) + D'_a(h_1 - h_a) \end{aligned}$$

$D_a, h_a$  respectivement débit et enthalpie de la vapeur  
à l'entrée de la turbine

$D_a, h_a$  respectivement débit et enthalpie de la vapeur  
à l'échappement

Le travail  $Q_T^e$  s'exprime en [kW]

avec  $D$  en  $\left[\frac{\text{kg}}{\text{s}}\right]$  et  $h$  en  $\left[\frac{\text{kJ}}{\text{kg}}\right]$

Pour calculer le travail réel de la turbine, il faut soustraire de  $Q_T^e$  le travail équivalent aux pertes de débit.

Cette perte de débit s'obtient à partir du bilan des débits au niveau de la turbine.

Le débit à l'entrée est égal à la somme des débits sortant de la turbine augmentés de la perte  $\beta$ .

$$D_a = D_5 + D_4 + D_3 + D_2 + D_1 + D_e + \beta$$

### III RENDEMENT GLOBAL DU BLOC TURBINE-CHAUDIÈRE

Le rendement est obtenu en faisant le rapport entre le travail effectif de la turbine et la quantité de chaleur apportée par la combustion. Cette chaleur apportée par la combustion représente la charge thermique de la chaudière  $Q_{ch}$ .

$$Q_{ch} = D_o (i_o - i_{ea}) + D_{s.i} (i''_{s.i} - i'_{s.i})$$

$D_{s.i}$  : débit de vapeur en surchauffage intercalé  
 $i'_{s.i}$  et  $i''_{s.i}$  représentent les enthalpies à l'entrée et à la sortie de cette vapeur.

En tenant compte du rendement du processus de

de transfert de chaleur, nous avons :

$$\eta_{th} = \frac{Q_T}{Q_{ch}}$$

$\eta_{th}$  : rendement du processus de transfert de chaleur.

Dans nos calculs, nous avons supposé ce rendement égal à l'unité. Ainsi la charge thermique de la chaudière devient égale à  $Q_T$ , la chaleur utile produite par la chaudière.

La quantité de chaleur contenue dans le combustible peut être déterminée à partir de  $Q_T$ .

$$Q_c = \frac{Q_T}{\eta_{ch}}$$

$Q_c$  : chaleur du combustible

$\eta_{ch}$  : rendement de la chaudière

Maintenant le rendement global brut du bloc

Turbine - Chaudière s'écrit :

$$\eta_g^b = \frac{Q_T^e}{Q_c}$$

$Q_T^e$  : travail effectif de la turbine

$\eta_g^b$  : rendement global brut (Turbine - chaudière)

Le rendement net global du bloc

$$\eta_g^n = \frac{Q_T^e - P_{aux}}{Q_c}$$

$P_{aux}$  : puissance des auxiliaires ramenée au bout de la turbine.

Le rendement net peut aussi s'écrire sous la forme :

$$\eta_g^n = \eta_g^b (1 - \epsilon_b) = \eta_T \times \eta_{Th} \times \eta_{ch}$$

$\epsilon_b$  : coefficient caractérisant les besoins propres du bloc en énergie électrique (auxiliaires)

$\eta_T$  : rendement de la turbine

$\eta_{Th}$  : rendement du processus de transfert de chaleur

$\eta_{ch}$  : rendement de la chaudière.

Dans nos calculs, nous nous ramons limités à la détermination de la consommation spécifique brute au niveau du bloc Turbine chaudière.

Alors les rendements des transformateurs et la puissance des auxiliaires ne vont pas intervenir dans ces calculs.

#### IV BILAN THERMIQUE DU BLOC TURBINE-CHAUDIÈRE

Le bilan consiste à déterminer dans l'unité de temps, d'une part la chaleur réelle apportée par le combustible soit  $Q_c \times \eta_g^r$ , d'autre part le travail réel recueilli au bout de la turbine, soit  $W_e / \eta_{al}$

$$Q_c \times \eta_g^r = B \times P.C.I. \times \eta_g^r = \frac{W_e}{\eta_{al}}$$

B : débit du combustible, en [KG/s]

P.C.I. Pouvoir calorifique inférieur du combustible  
en [Kcal / KG]

$W_e$  : Puissance au bout de l'alternateur [kW]

$\eta_{al}$  : Rendement de l'alternateur

Le bilan peut aussi s'écrire du point de vue  
puissance brute :

$$Q_c \times \eta_g^b = B \times P.C.I. \times \eta_g^b = Q_T^e$$

Ici on emploie le P.C.I pour ne pas faire apparaître la chaleur de vaporisation de l'eau dans les chaleurs d'échauffement.

## V CONSOMMATION DE COMBUSTIBLE PAR KWh

Le quotient du débit de combustible  $B$  au travail fourni par la turbine  $Q_T^e$ , donne le nombre de grammes de combustible consommés pour produire un kilowatt-heure.

$$b = \frac{B}{Q_T^e} \left[ \frac{\text{KG/s}}{\text{Kcal/s}} \right]$$

$$b = \frac{3600 B}{4.18 \cdot Q_T^e} \left[ \frac{\text{KG}}{\text{KWh}} \right]$$

Cependant cette consommation reste une consommation brute. Si on a calculé le poids de combustible nécessaire pour produire un kilowatt-heure juste à la sortie de la turbine.

Le bilan du bloc turbine chaudière nous donne :

$$Q_T^e = B \times \text{P.C.I} \times \eta_g^b$$

Alors

$$b = \frac{3600}{4.18 \times \text{P.C.I} \times \eta_g^b} \left[ \frac{\text{kg}}{\text{KWh}} \right]$$

# CHAPITRE 6

DEFINITION DES ESSAIS

DE

CONSOMMATION NÉCESSAIRES

À L'ETUDE

DÉFINITION DES ESSAIS DE CONSOMMATION  
NÉCESSAIRES A L'ÉTUDE ET UTILISATION  
DE LEURS RÉSULTATS.

La partie utilisation des résultats ne sera pas traitée ici car les conditions n'étaient pas réunies pour que les essais se fassent à la centrale. Cependant nous exposerons les principes généraux relatifs aux essais de combustion et aux essais de consommation des turbines à vapeur.

A] ESSAIS DE COMBUSTION

Les essais ont pour objectifs :

- a) des contrôles de performances du générateur de vapeur (rendement, régimes de vaporisation, seuils d'obtention des températures de vapeur, minimum technique, démarages, variations de charge, exploitation en régime perturbé etc..)
- b) des essais et contrôles ayant un caractère de recherches, qu'il s'agisse de recherches fondamentales ou appliquées sur les flammes ou de mises au point dans le domaine de la métrologie.

Les essais de combustion sont particulièrement délicats. Cela tient notamment aux causes suivantes :

- si les réactions chimiques sont assez bien connues,

Les différents effets physicochimiques qui se produisent en cours de combustion sont beaucoup moins,

- la combustion fait appel à des effets thermiques et à des effets aérodynamiques,

- le fait d'avoir plusieurs brûleurs dans une chambre de combustion unique complique encore les phénomènes.

- la combustion est influencée par des effets extérieurs tel que la température de l'air, le rayonnement des parois, etc...

En conséquence la combustion fait encore appel à un certain empirisme.

Ces essais doivent être entrepris sur du matériel se trouvant dans un état déterminé, bien connu.

L'état du matériel doit rester "industriel". On ne doit pas se livrer systématiquement avant les essais à des remplacements complets d'organes de brûleurs, ou à des nettoyages très poussés de la chambre de combustion par exemple.

L'état du générateur de vapeur porte en particulier sur les points suivants :

- propreté des surfaces d'échange;

- degré d'usure du matériel (brûleurs, ventilateurs etc...),

- étanchéité des circuits.

## FONCTIONNEMENT DES INSTALLATIONS AU COURS DES ESSAIS

La qualité des résultats obtenus dépend beaucoup des conditions d'exploitation du matériel ainsi que les réglages adoptés au cours des essais.

Ces conditions d'exploitation concernent notamment :

- le choix du combustible,
- le ramonage,
- le graissage et les injections d'additifs,
- le préchauffage de l'air de combustion,
- les chaînes de régulation automatique.

Les réglages s'appliquant au générateur de vapeur concernent :

- la combustion
- la stabilité de la pression de la vapeur,
- la stabilité des températures de vapeur,
- le niveau d'eau dans le réservoir

Les réglages adoptés au cours d'un essai résultent de l'expérience acquise antérieurement au cours de contrôles ou essais préalables. Ils doivent en général être identiques à ceux préconisés par les consignes d'exploitation pour le même combustible.

En ce qui concerne le rendement, on s'attache à obtenir une perte nulle par émulsion gazeux, sauf si les essais ont pour but de rechercher des réglages de combustion

optimaux. Nous considérerons successivement les réglages concernant :

- la combustion
- le poste de préparation du combustible
- la tenue des températures de vapeur.

Pour ces essais, qui sont des essais d'information, le combustible brûlé doit correspondre au combustible moyen généralement utilisé dans la centrale. Le cycle de ramonage complet doit être effectué cinq (5) heures au moins avant le début des essais. Pendant cet intervalle de temps un ramonage partiel de courte durée est éventuellement admis.

Le cours d'essai c'est à dire le laps de temps pendant lequel il est procédé à des mesures, ou entre, dans la mesure du possible de procéder à un ramonage.

#### PROGRAMME D'ESSAIS.

Un programme d'essai de combustion dépend évidemment du but des essais. Normalement, les réglages sont recherchés à la charge nominale. Le plus souvent, il faut en outre procéder à des contrôles :

- au minimum technique
- à des charges intermédiaires entre la pleine charge et la minimum technique

- au cours d'un ou plusieurs démarrages effectués dans les conditions normales d'exploitation,
- dans certains cas au cours de variation de charge plus ou moins rapides (type "téléréglage" ou "réserve tournante").

En dehors de l'étude ici faite, il est souhaitable de procéder à des essais périodiques sur chaque générateur au cours desquels seraient exécutés les principaux contrôles.

### B) ESSAIS DE CONSOMMATION DES TURBINES

#### A VAPEUR

##### DÉFINITION D'UN ESSAI DE CONSOMMATION

C'est en d'autres termes la mesure de la consommation spécifique et le contrôle de la puissance fournie.

Effectuer un essai de consommation de groupe turbo-alternateur, c'est établir la valeur du rapport entre l'énergie calorifique consommée par le groupe turbo-alternateur et l'énergie électrique produite par l'alternateur pendant une même période pour une puissance déterminée. Les conditions de fonctionnement de l'installation sont bien définies et doivent rester aussi stables que possible durant l'essai considéré. Ce rapport est appelé consommation spécifique.

Cons. spéciel =  $\frac{\text{énergie calorifique consommée}}{\text{énergie électrique produite}}$  pendant le même temps

Dans le cas très simplifié de la figure suivante donnant le schéma type d'une tranche thermique moderne, la consommation spécifique s'exprime par la relation :

$$C = \frac{Q_{sa} \times H_{sa} - Q_{se} \times H_{se} + Q_r \times H_r - Q_{ar} H_{ar}}{P}$$

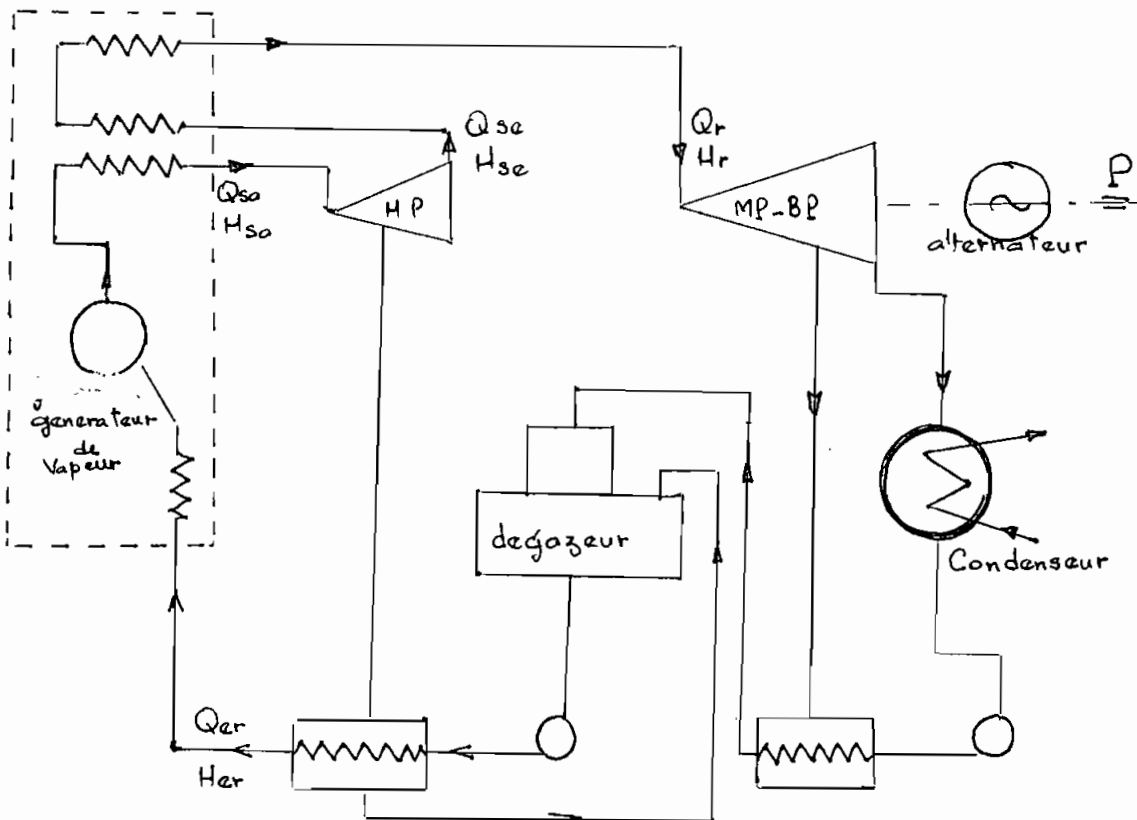


SCHÉMA TYPE D'UNE TRANCHE THERMIQUE ACTUELLE

C : est exprimée en milithersmies par kilowatt-heure (mth/kWh)

- Q<sub>ta</sub> débit } vapeur surchauffée à l'admission de la turbine (H.P)  
 H<sub>ta</sub> enthalpie
- Q<sub>te</sub> débit } vapeur à l'échappement de la turbine avant la resurchauffe  
 H<sub>te</sub> enthalpie
- Q<sub>tr</sub> débit } vapeur resurchauffée à l'admission de la turbine (M.P)  
 H<sub>tr</sub> enthalpie
- Q<sub>er</sub> débit } eau réchauffée sortant du poste de rechauffage.  
 H<sub>er</sub> enthalpie

P : puissance électrique aux bornes de l'alternateur (eventuellement diminuée de la puissance absorbée par les auxiliaires propres à la turbine).

Les débits sont exprimés en Kg/h, les enthalpies en mth et la puissance en kW.

En résuwe :

$$c = \frac{\sum (Q \times H)}{P}$$

L'expression ci-dessus donne la consommation spécifique dans les conditions d'un essai.

Pour des essais complets, l'analyse détaillée du fonctionnement des diverses parties constitutives du cycle de la turbine et des organes qui lui sont associés peut être faite.

Pour ces organes nous pouvons citer : le condenseur, les réchauffeurs d'eau, le dégazeur etc... .

### FONCTIONNEMENT DES INSTALLATIONS EN COURS D'ESSAIS.

Le circuit d'essai doit être isolé du reste de l'installation tant au point de vue des échanges calorifiques que des échanges de fluide.

Toujours cet isolement doit être tel qu'il permette en cas d'incident survenant au cours d'un essai de remettre le circuit dans son état normal, tout au moins en ce qui concerne les circuits vitaux.

Parmi les circuits dont l'étanchéité doit être sûre, citons les circuits suivants :

- . Liaisons avec d'autres tranches
- . Liaisons avec les bâches de réserve
- . circuits des distillateurs qui doivent être hors service pendant les essais etc....

### CONDITIONS DE FONCTIONNEMENT EXTERNES A LA TURBINE

Préalablement à tout essai, il faut amener la turbine dans des conditions de fonctionnement aussi proches que celles premières. Si d'autres éléments externes à la turbine auxquels on ne peut toucher tels que les caractéristiques du poste de rechauffage de l'eau d'alimentation, la perte de charge dans le réchauffeur, la fréquence du réseau, il est par contre possible d'en régler d'autres tels que la pression et la température de la vapeur

à l'admission de la turbine, le facteur de puissance etc... Il est aussi possible d'ajuster la pression restante à l'échappement d'une part, en choisissant la date d'essai dans une période favorable, d'autre part, en provoquant volontairement des entrées d'air etc...

Il faut procéder aux réglages de ces valeurs avant l'essai et les maintenir aussi constantes que possible au cours de l'essai.

#### PROGRAMME DES ESSAIS

Un programme d'essais de consommation d'un groupe turbo-alternateur doit comporter une gamme d'essais allant du maximum au minimum des charges réalisables, de manière à pouvoir tracer la courbe de la consommation spécifique en fonction de la puissance de l'alternateur.

Un programme type d'essai doit comprendre :

- 3 essais à la charge nominale par exemple à 22 MW pour le groupe de la tranche 301.
- 1 essai si possible à la charge obtenue pour l'ouverture totale des soupapes, sinon à la charge maximale admise par le constructeur, pour notre cas 27,5 MW. Avec en plus dans ce cas, un essai à la pression vapeur conduisant à l'ouverture totale des soupapes.
- 2 essais à chacune des charges correspondant

à un point de fermeture d'une soupape (pour autant que deux soupapes ne se ferment pas simultanément),

• 1 essai à plusieurs charges intermédiaires afin de pouvoir préciser le tracé de la courbe de consommation. Pour la tranche 301 de 22 / 27,5 MW on peut prévoir un essai aux charges intermédiaires suivantes :

25 - 20 - 15 -(10 MW et au dessous si possible).

Telles sont les recommandations pour les essais de combustion et de consommation faites par ELECTRICITÉ DE FRANCE. Cependant notons que ces recommandations ne concernent que les principes généraux s'appliquant à ces essais.

# CHAPITRE 7

ETABLISSENT DES DOCUMENTS

DE CONTRÔLE ÉCONOMIQUE

## I ÉTABLISSEMENT DES COURBES

En connaissance des consommations de base pour différents paliers de charge et des consommations en fonction des divers variables, on peut établir les diagrammes représentant les écarts abatifs de consommation par rapport aux consommations de base, avec la charge comme paramètre, en fonction des variables PCS,  $T_g$ ,  $T_o$ ,  $CO_2$ ,  $T_{ad}$ ,  $P_{ad}$ ,  $T_{eau}$ ,  $P_{sat}$ .

Ces diagrammes destinés au contrôle économique, permettent de déterminer les écarts de consommation en fonction de ces variables précitées.

Ces diagrammes peuvent être classés en deux groupes :

- Diagrammes relatifs au générateur de vapeur donnant les écarts par rapport à la consommation de base, dès à
  - la variation du Pouvoir calorifique supérieur , P.C.S
  - " - de la température des gaz ,  $t_g$
  - " - de la température sortie Ventilo de soufflage ,  $t_o$
  - " - de la teneur en  $CO_2$
- Diagrammes relatifs à la turbine et au poste d'eau donnant les écarts par rapport à la consommation de base
  - en fonction de la pression de saturation ,  $P_{sat}$
  - " - de la température d'eau d'alimentation ,  $T_{eau}$
  - " - " - à l'admission de la turbine ,  $T_{ad}$
  - " - " - de la pression " - " - " - ,  $P_{ad}$

Maisons suivons ci après quelques exemples de calcul

concernant l'établissement des ces diagrammes.

\* Variation de la température des gaz,  $T_G$ .

La consommation spécifique de bars pour une charge donnée s'exprime par :

$$b = \frac{3600}{4,18 \times P.C.I \times \eta_g^b} \left[ \frac{\text{kg}}{\text{kWh}} \right]$$

$$\eta_g = \frac{Q_T^e}{Q_c}$$

$$Q_c = \frac{Q_T}{\eta_{ch}} \quad \text{avec} \quad \eta_{ch} = \frac{P_{CS} - \sum p_i}{P_{CS}}$$

d'où

$$b = \frac{3600 \times P_{CS} \times Q_T}{4,18 \times P.C.I \times (P_{CS} - \sum p_i) \times Q_T^e} \left[ \frac{\text{kg}}{\text{kWh}} \right]$$

avec

$$Q_T = D_o (i_o - i_{ea})$$

Ainsi :

$$b = \frac{3600 \times P_{CS} \times D_o (i_o - i_{ea})}{4,18 \times P.C.I \times (P_{CS} - \sum p_i) \times Q_T^e} \left[ \frac{\text{kg}}{\text{kWh}} \right]$$

$T_G$  varie suivant les pertes chandées (cf détermination des pertes),

Pour une charge de 22 MW.

$$Q_T = 61883,07 \text{ kW}, Q_T^e = 22481,74 \text{ kW}$$

$$P_{CS} = 10511 \text{ kcal/kg}, P_{CI} = 9956 \text{ kcal/kg}$$

En remplaçant ces valeurs dans la relation donnant  $b$ , nous avons :

$$b = \frac{2503,328}{10511 - \sum p_i}$$

$$\text{avec } \sum p_i = f(T_g)$$

Ainsi pour différentes valeurs de  $T_g$ , on obtient d'après l'expression de  $b$ , les différentes valeurs de  $b$  correspondant. (cf courbe : Variation de  $b$  en fonction de  $T_g$ )

\* Variation de la température à l'admission de la turbine,  $T_{ad}$ .

$T_{ad}$  intervient au niveau de  $Q_T^e$  et de  $Q_T$ . car :

$Q_T = D_o (i_o - i_{ea})$  et  $i_o$  (enthalpie à l'entrée) est fonction de la température à l'admission, donc

$$Q_T = D_o (f(T_{ad}) - i_{ea})$$

$$Q_T^e = D_a (i_o - i_{s_1}) + \sum_{n=2}^s D_n (i_{s_n} - i_{s_{n-1}})$$

avec

$s_n$  : boutirage N° n

douc

$$b = \frac{3600 \times PCS \times D_o [f(T_{ad}) - i_{ea}]}{4.18 \times PCI \times (PCS - \sum p) [D_o (i_o - i_{s1}) + \sum D_n (i_{sn} - i_{n-1})]}$$

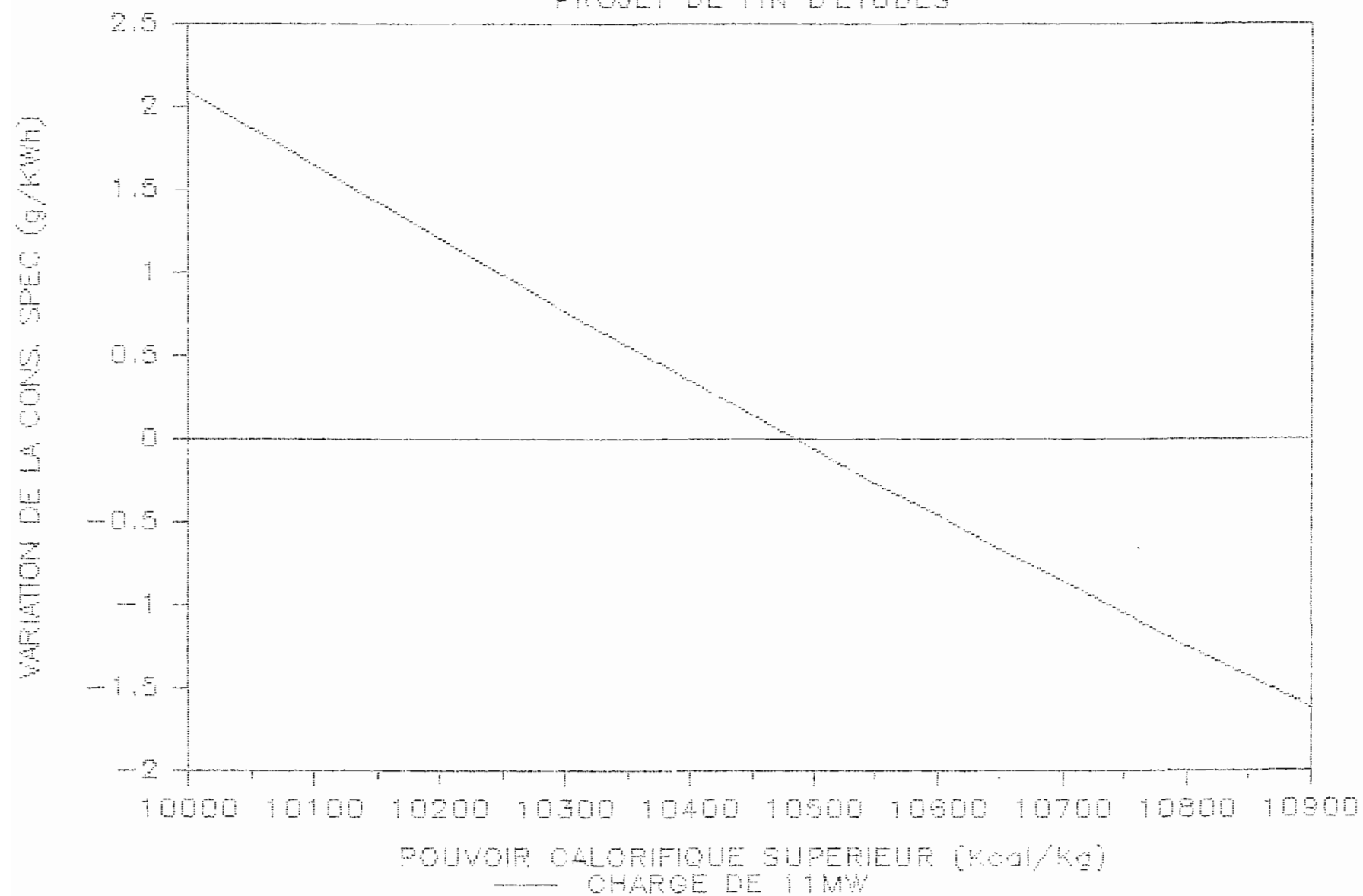
En faisant varier  $T_{ad}$ , on obtient différentes valeurs de b correspondant.

De la même manière, nous avons déterminé toutes les valeurs de b pour chaque palier de charge (22; 11; 16,5 et 27,5 MW) en fonction des huit variables à savoir,  $CO_2$ ,  $T_g$ ,  $T_o$ , PCS,  $T_{ad}$ ,  $P_{ad}$ ,  $T_{ea}$  et  $P_{sat}$ .

Les courbes sont tracées à l'ordinateur avec le logiciel LOTUS ( HERCULE - PRINT GRAPH ).

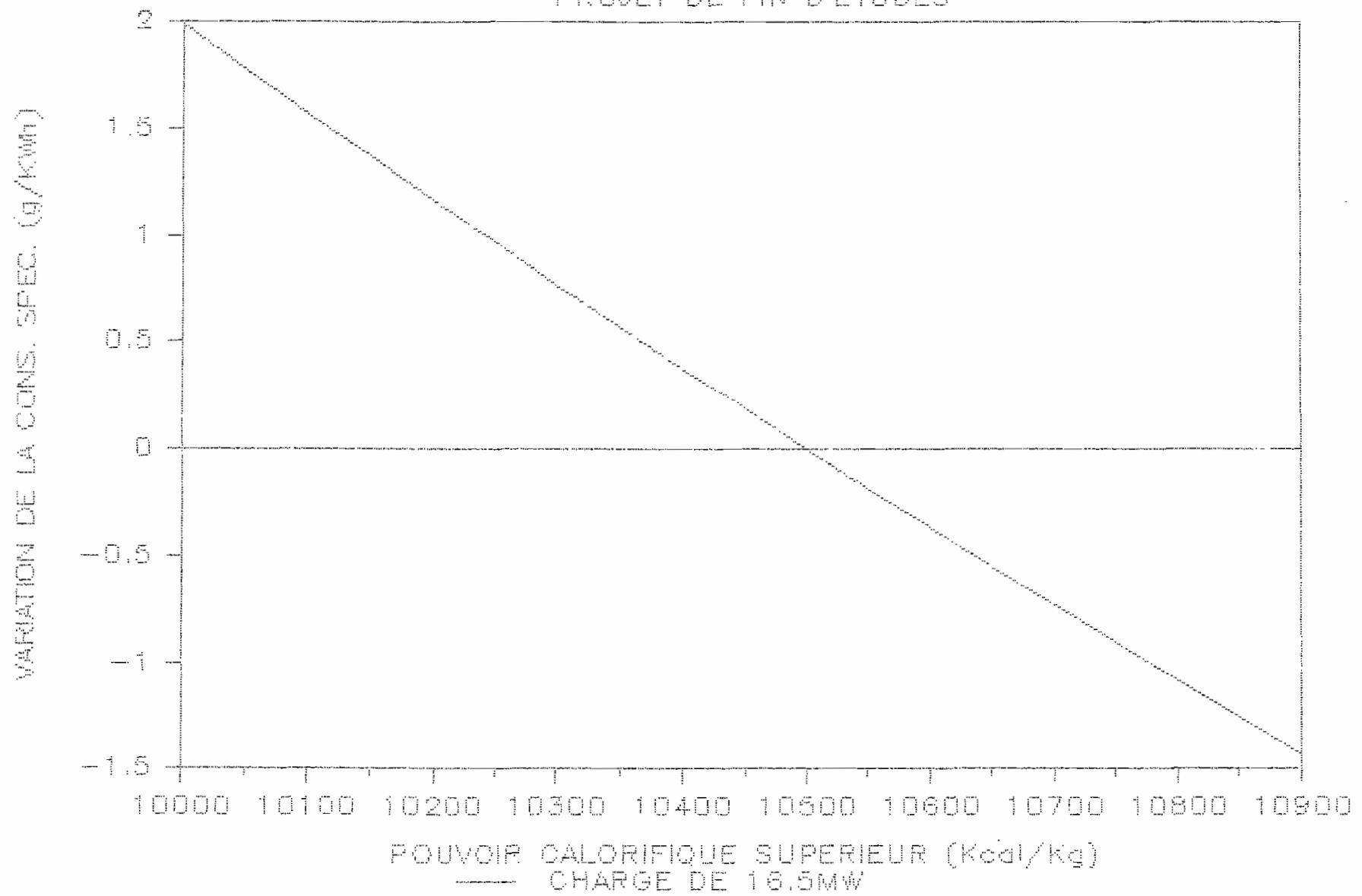
# VARIATION DE LA C.S EN FONC. DU PCS

PROJET DE FIN D'ETUDES



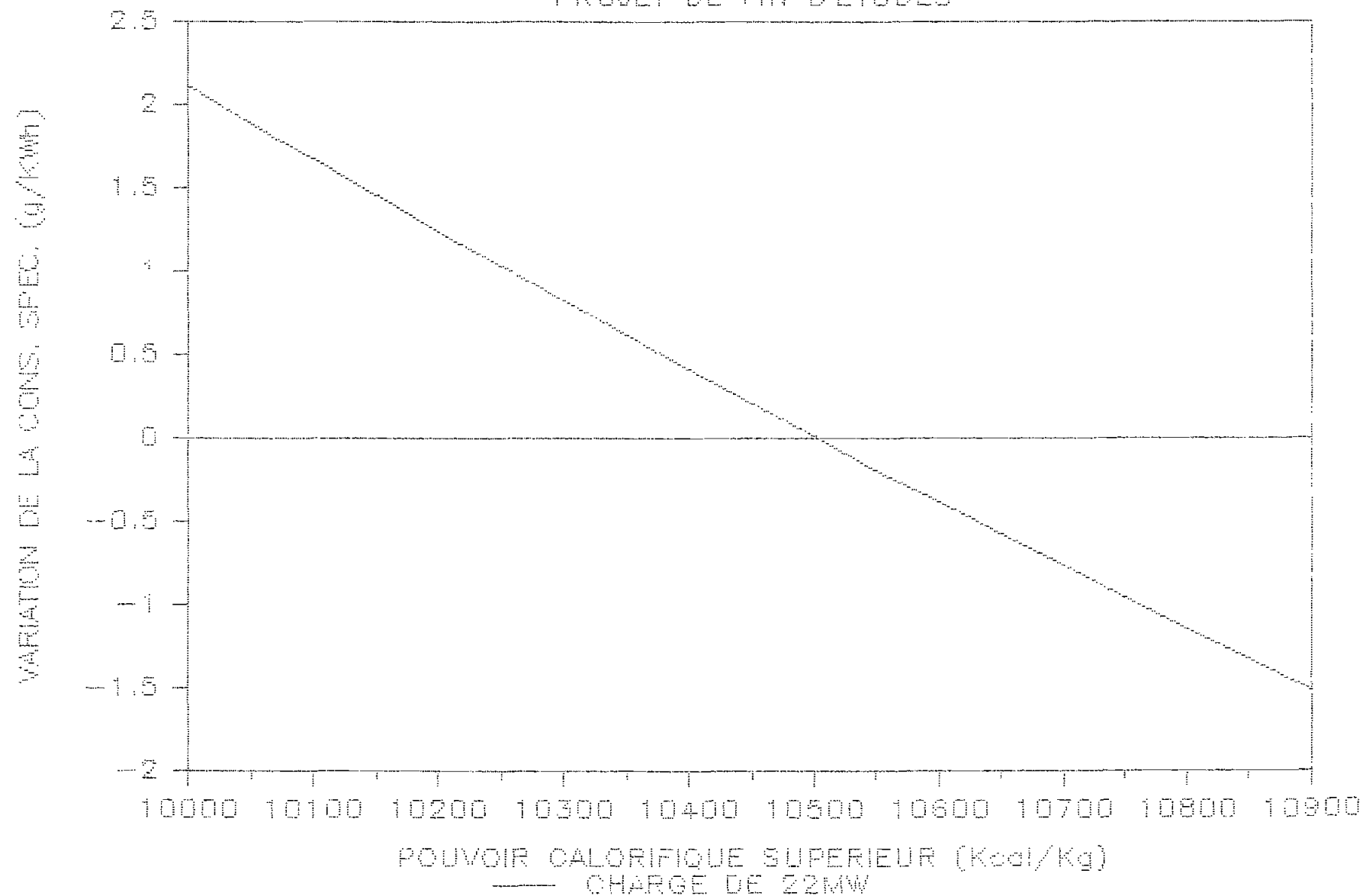
# VARIATION DE LA C.S EN FONC. DU PCS

## PROJET DE FIN D'ETUDES



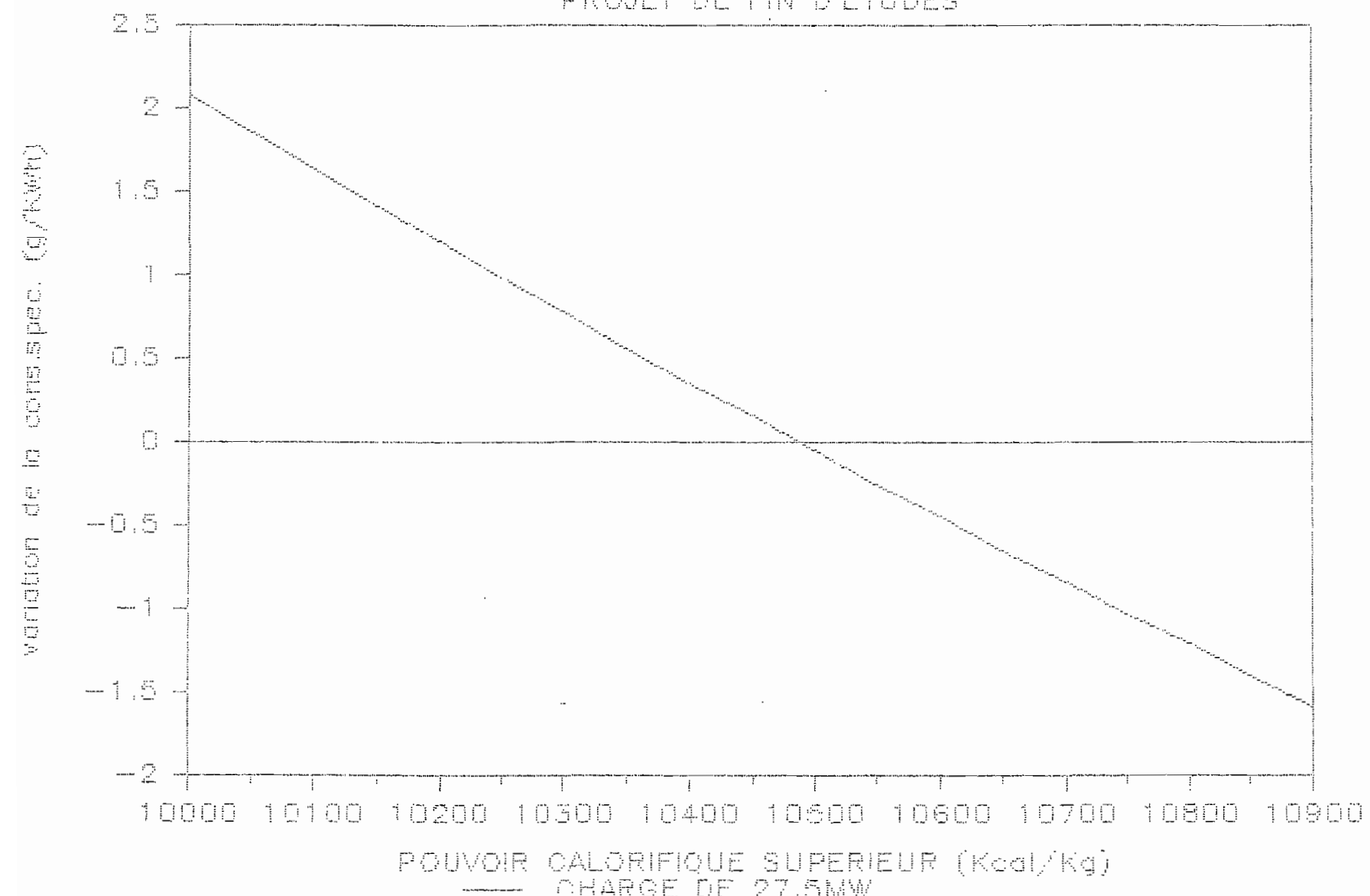
# VARIATION DE LA C.S EN FONC. DU PCS

PROJET DE FIN D'ETUDES



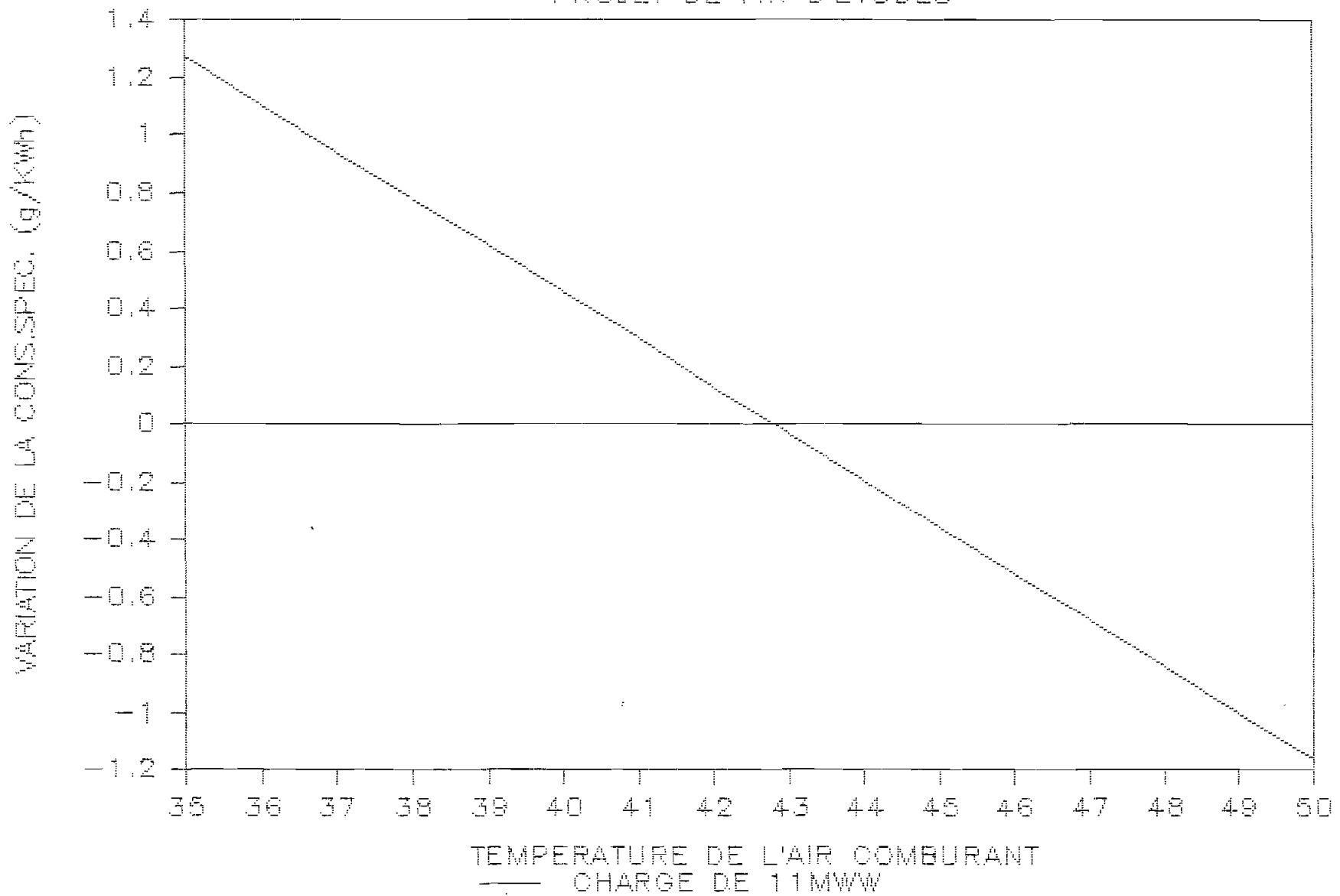
# VARIATION DE LA C.S EN FONC DU PCS

PROJET DE FIN D'ETUDES



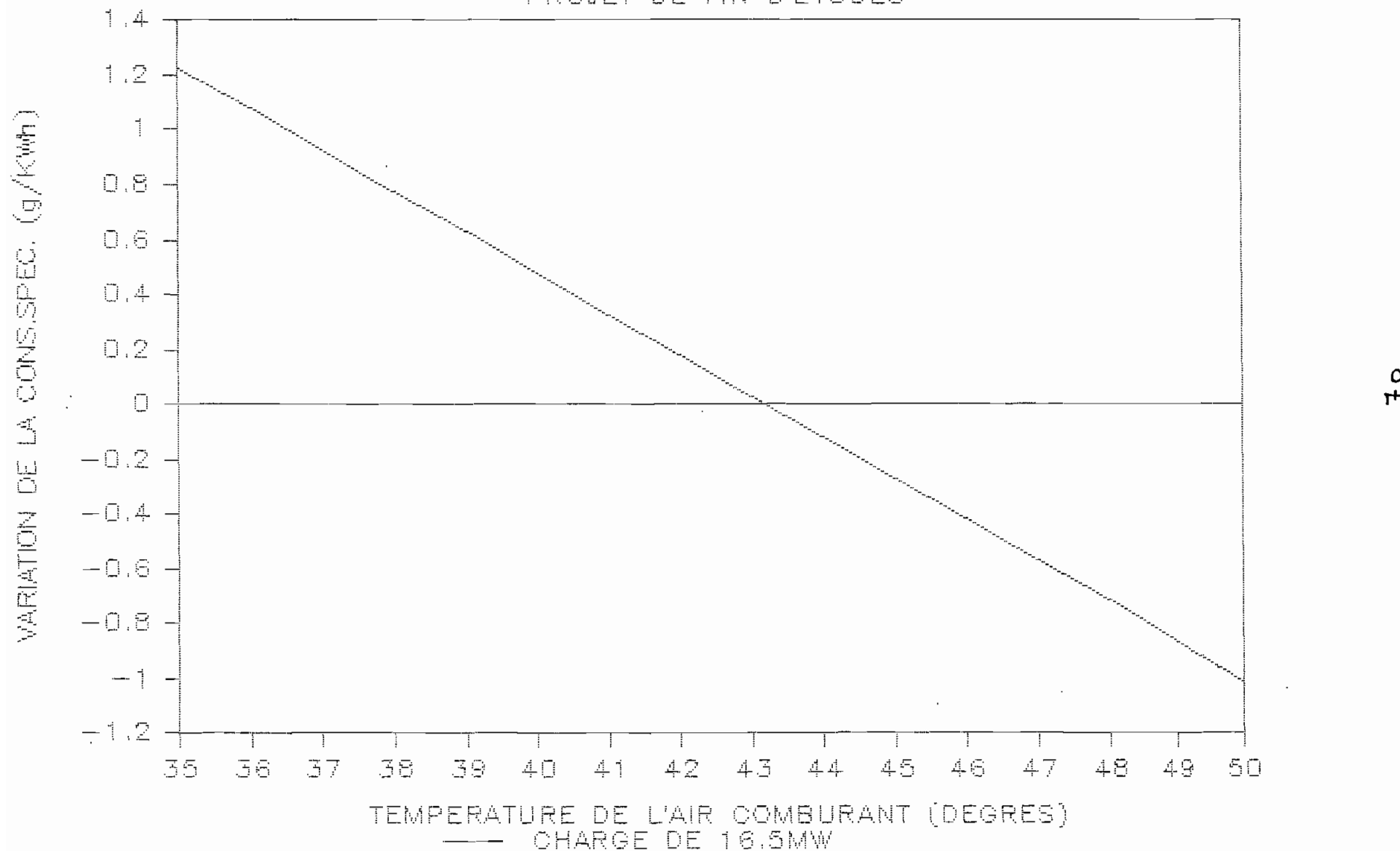
# VARIATION DE LA CONS. SPE. EN FONC DE $T_0$

PROJET DE FIN D'ETUDES



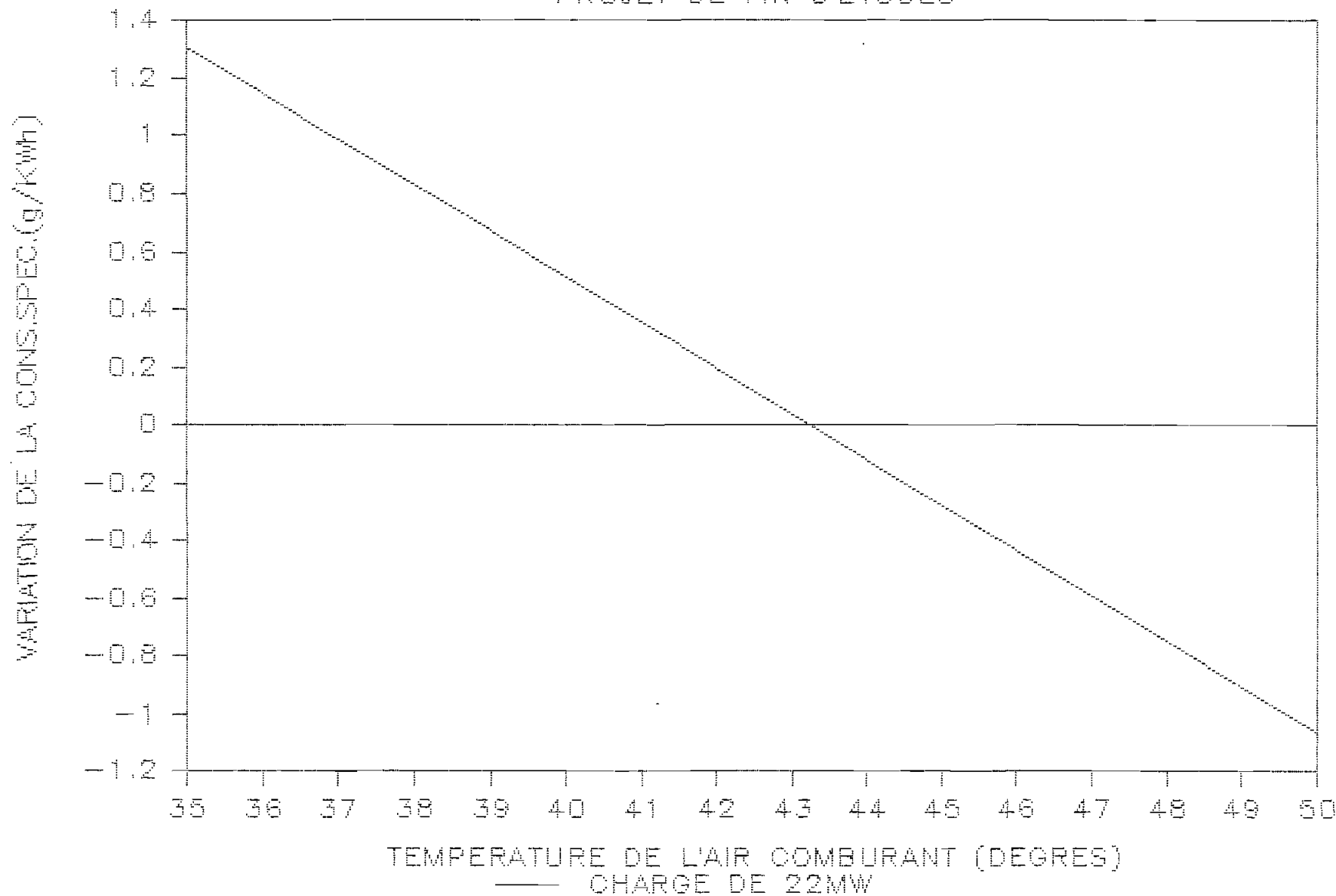
# VARIATION DE LA CONS. SPE. EN FONC. DE $T_0$

PROJET DE FIN D'ETUDES



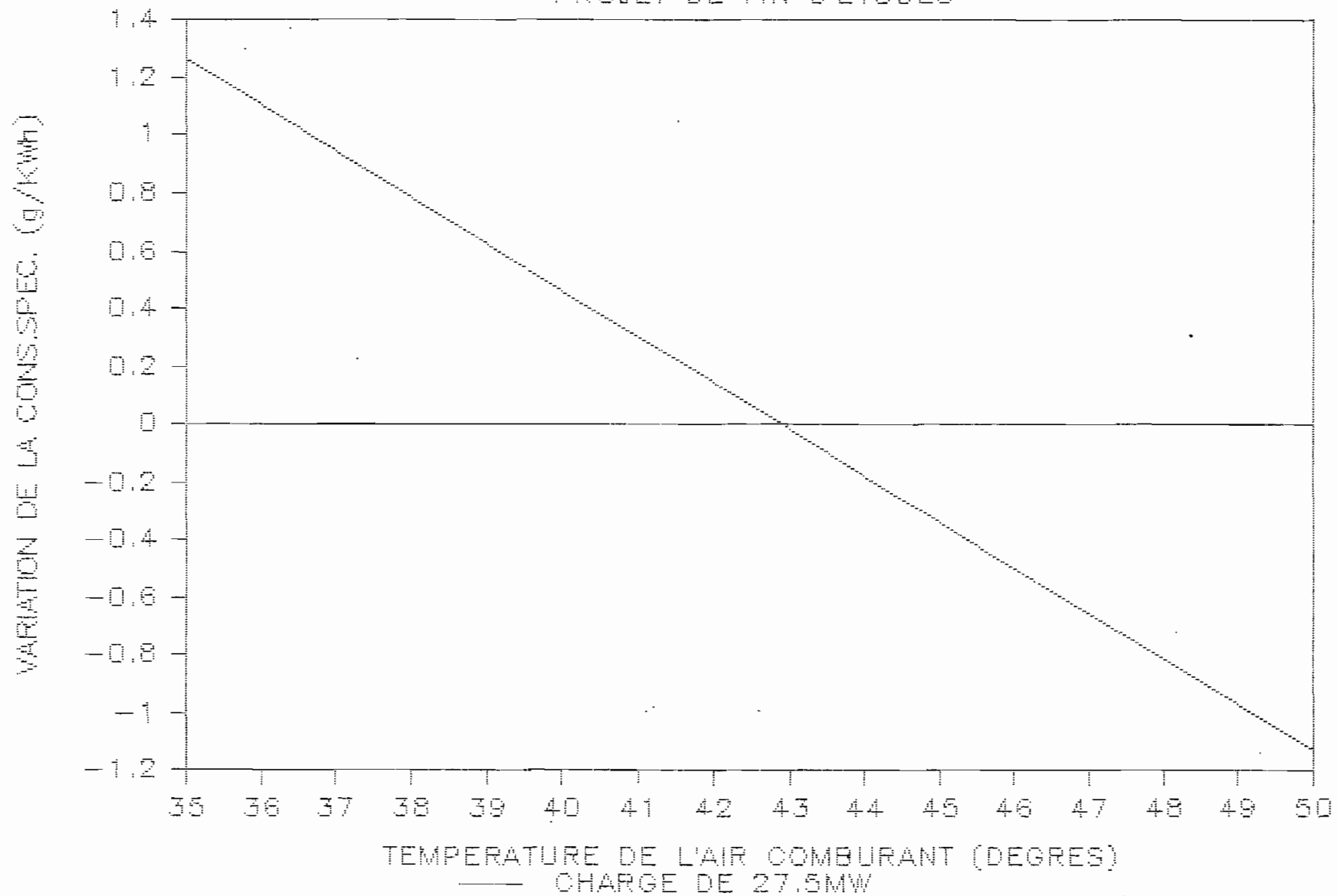
# VARIATION DE LA CONS. SPE. EN FONC. DE T<sub>0</sub>

PROJET DE FIN D'ETUDES



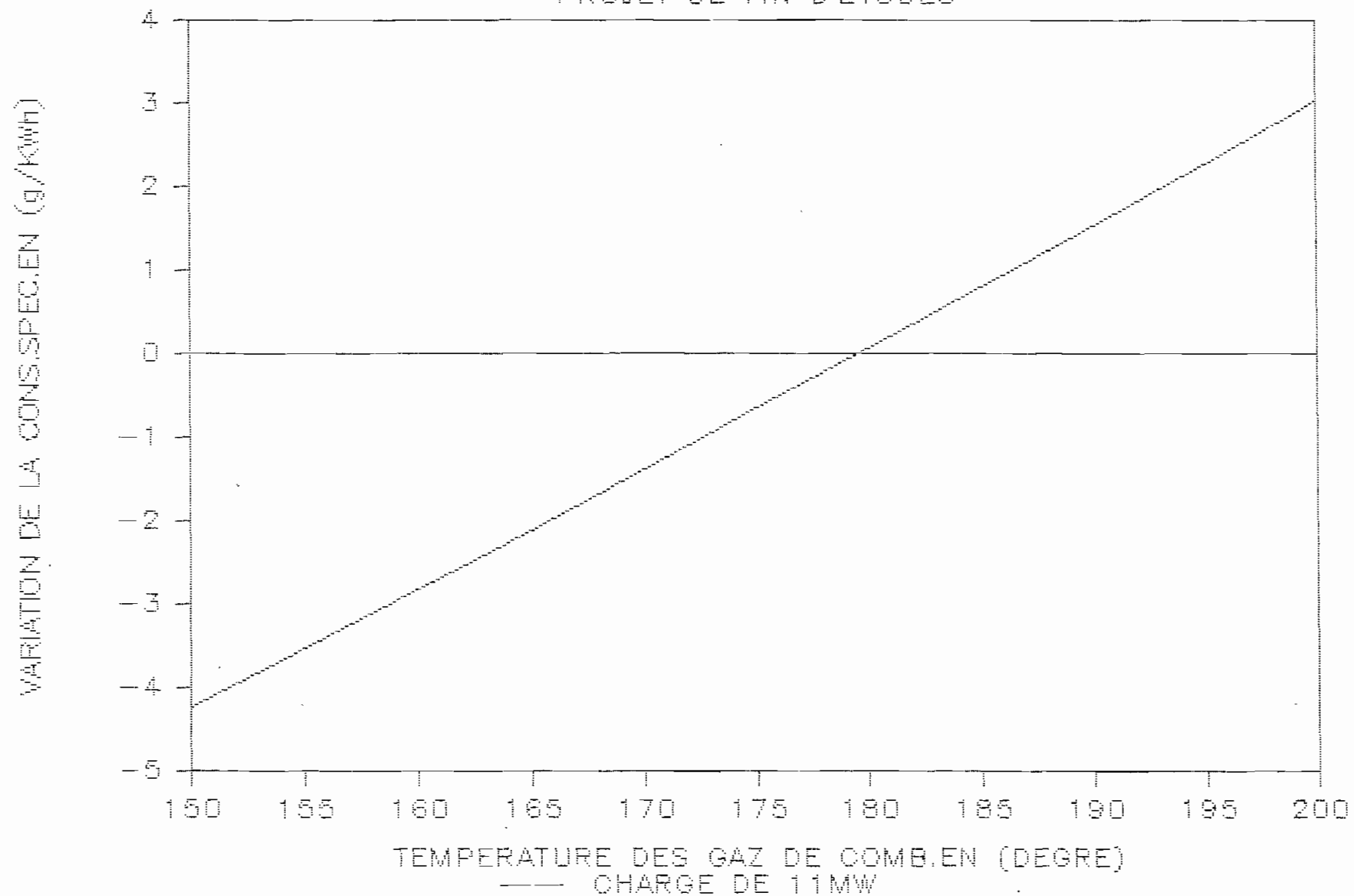
# VARIATION DE LA CONS. SPEC. EN FONC. DE $T_0$

PROJET DE FIN D'ETUDES



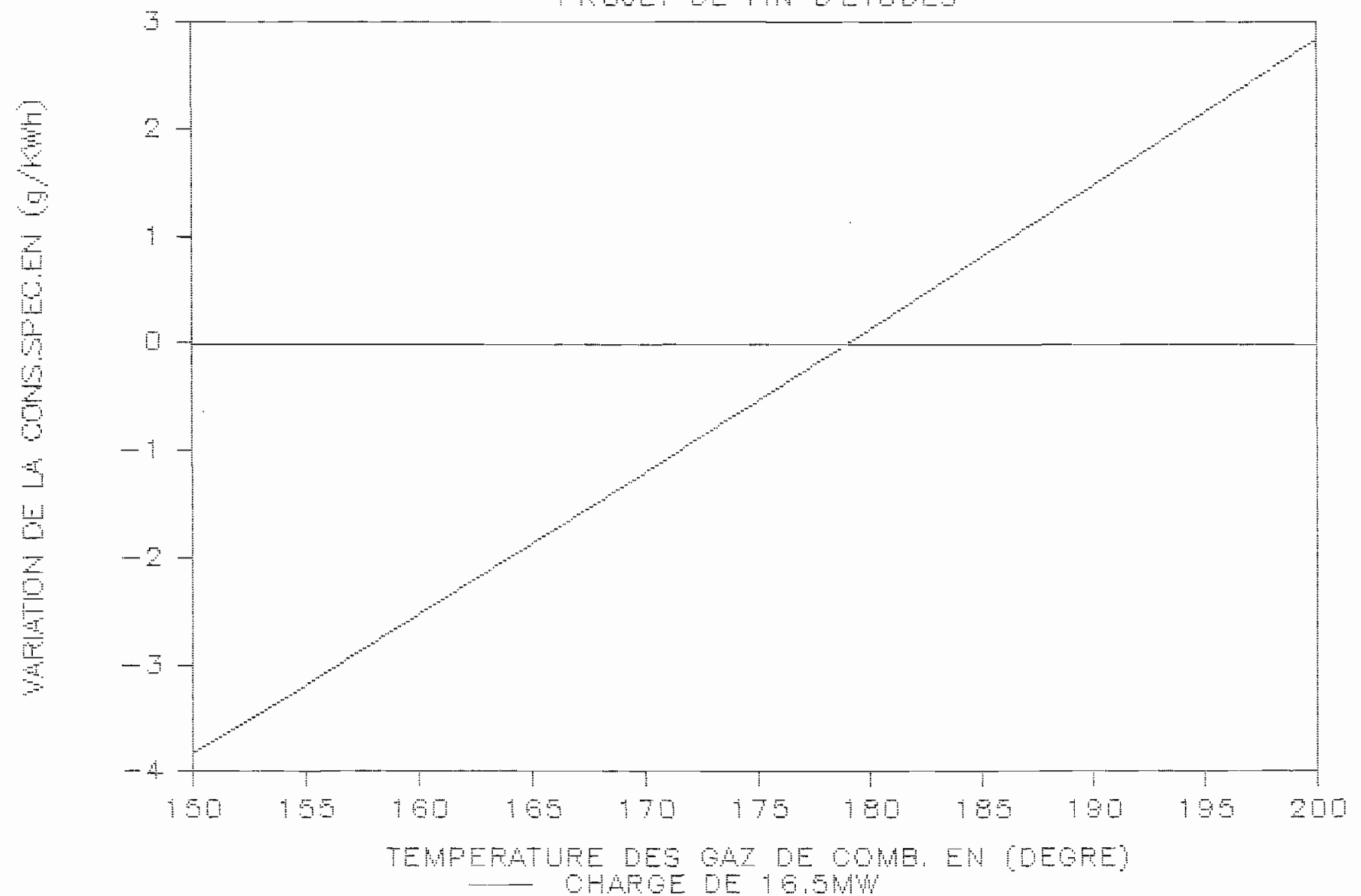
# VARIATION DE LA C.S EN FONC DE TG

PROJET DE FIN D'ETUDES



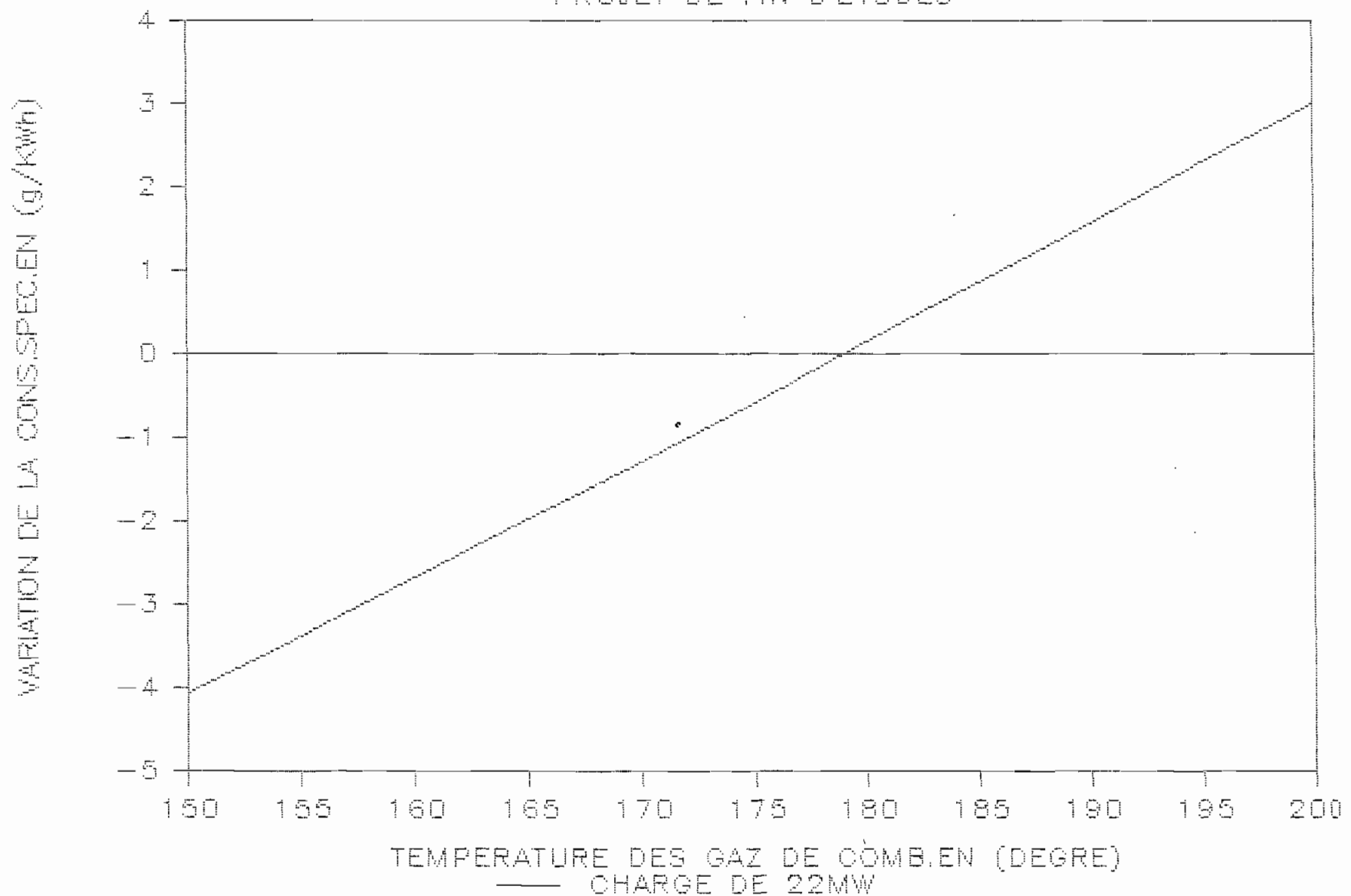
# VARIATION DE LA C. S. EN FONC. DE $T_g$

PROJET DE FIN D'ETUDES



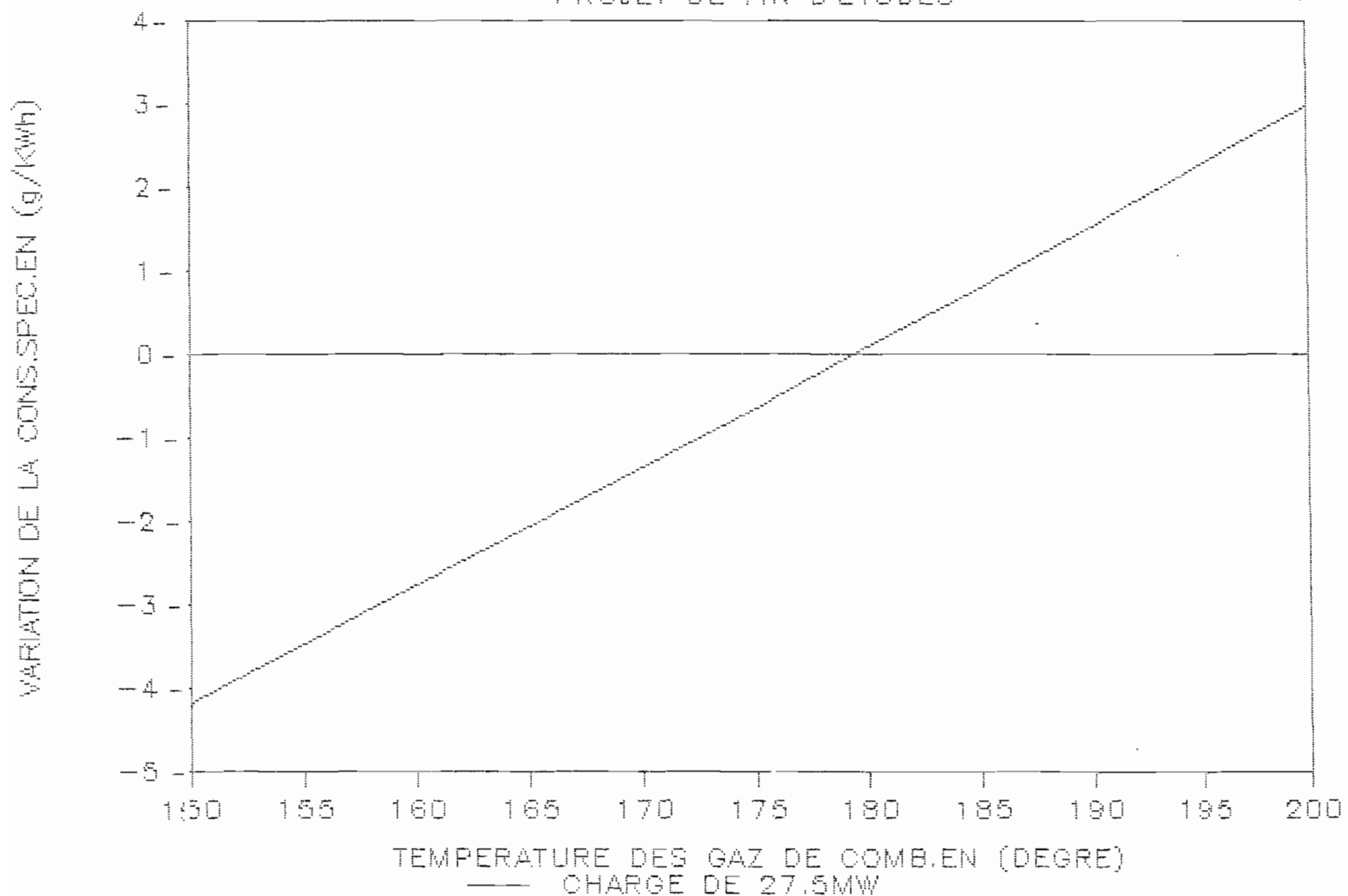
# VARIATION DE LA C.S. EN FONC DE TG

PROJET DE FIN D'ETUDES



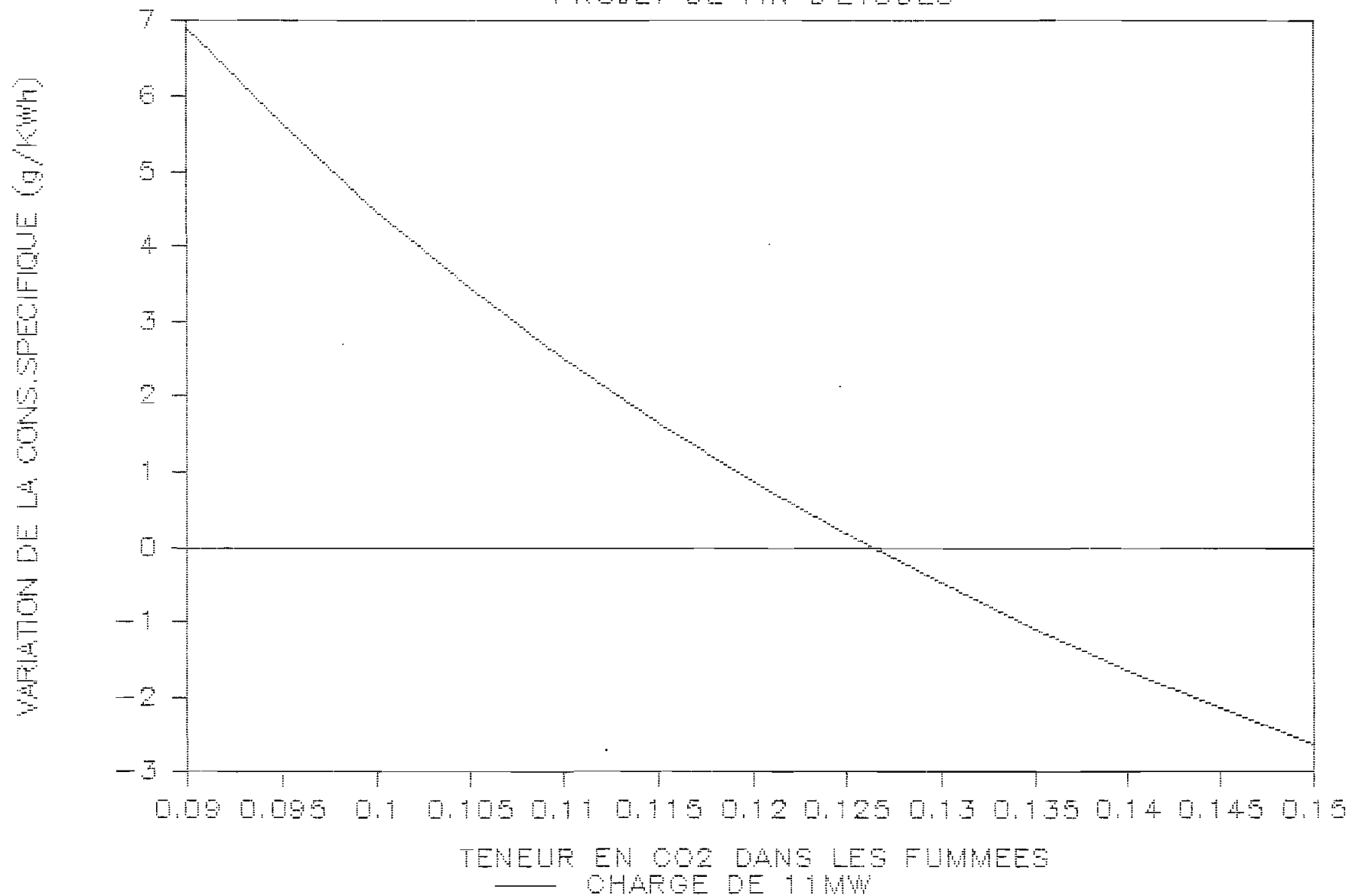
*variation de la c.s. en fonc. de Tg*

PROJET DE FIN D'ETUDES



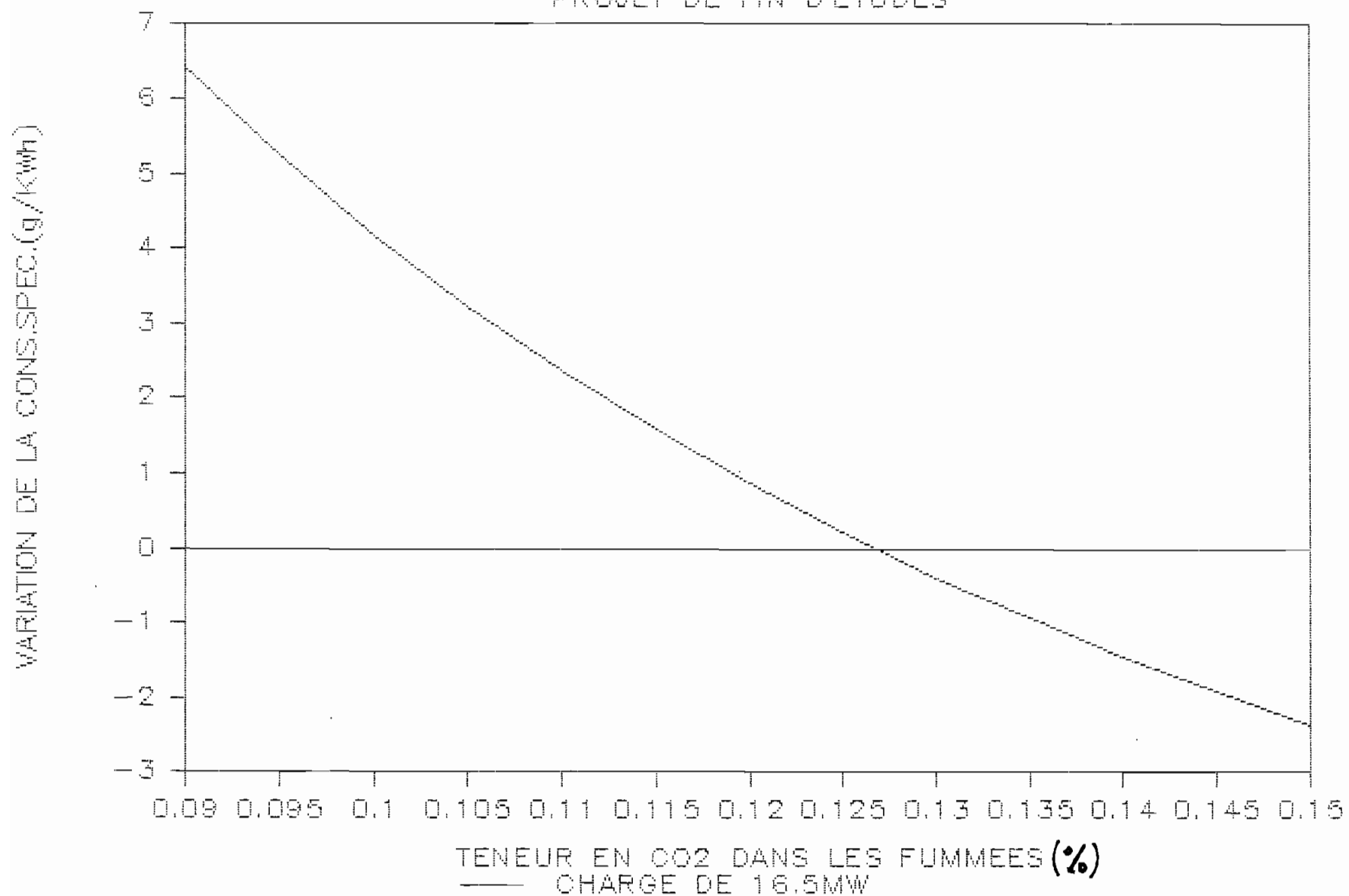
# VARIATION DE LA CONS. SPEC. EN FON. DU CO<sub>2</sub>

PROJET DE FIN D'ETUDES



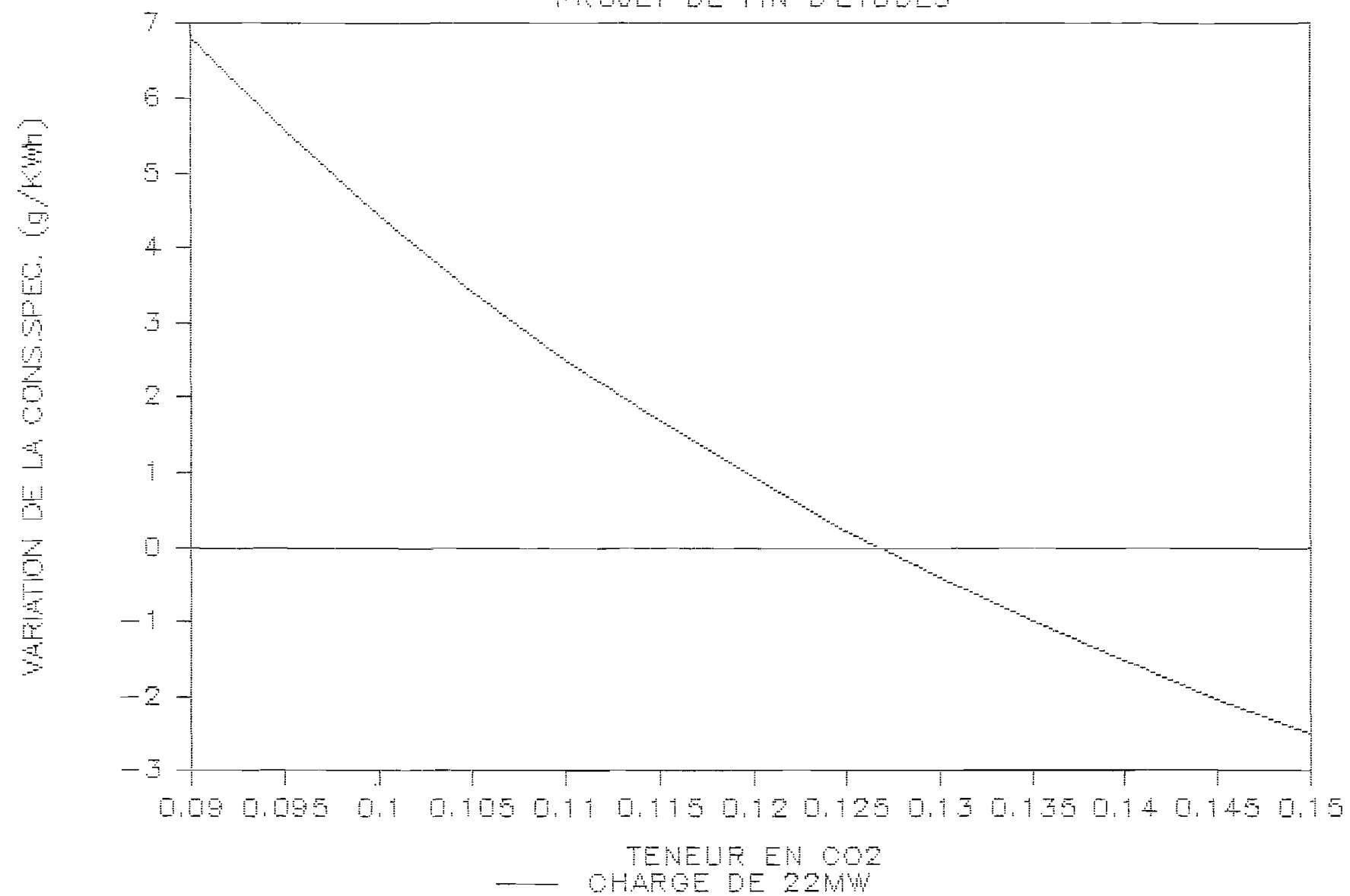
# VARIATION DE LA CONS.SPEC.EN FON.DU CO<sub>2</sub>

PROJET DE FIN D'ETUDES



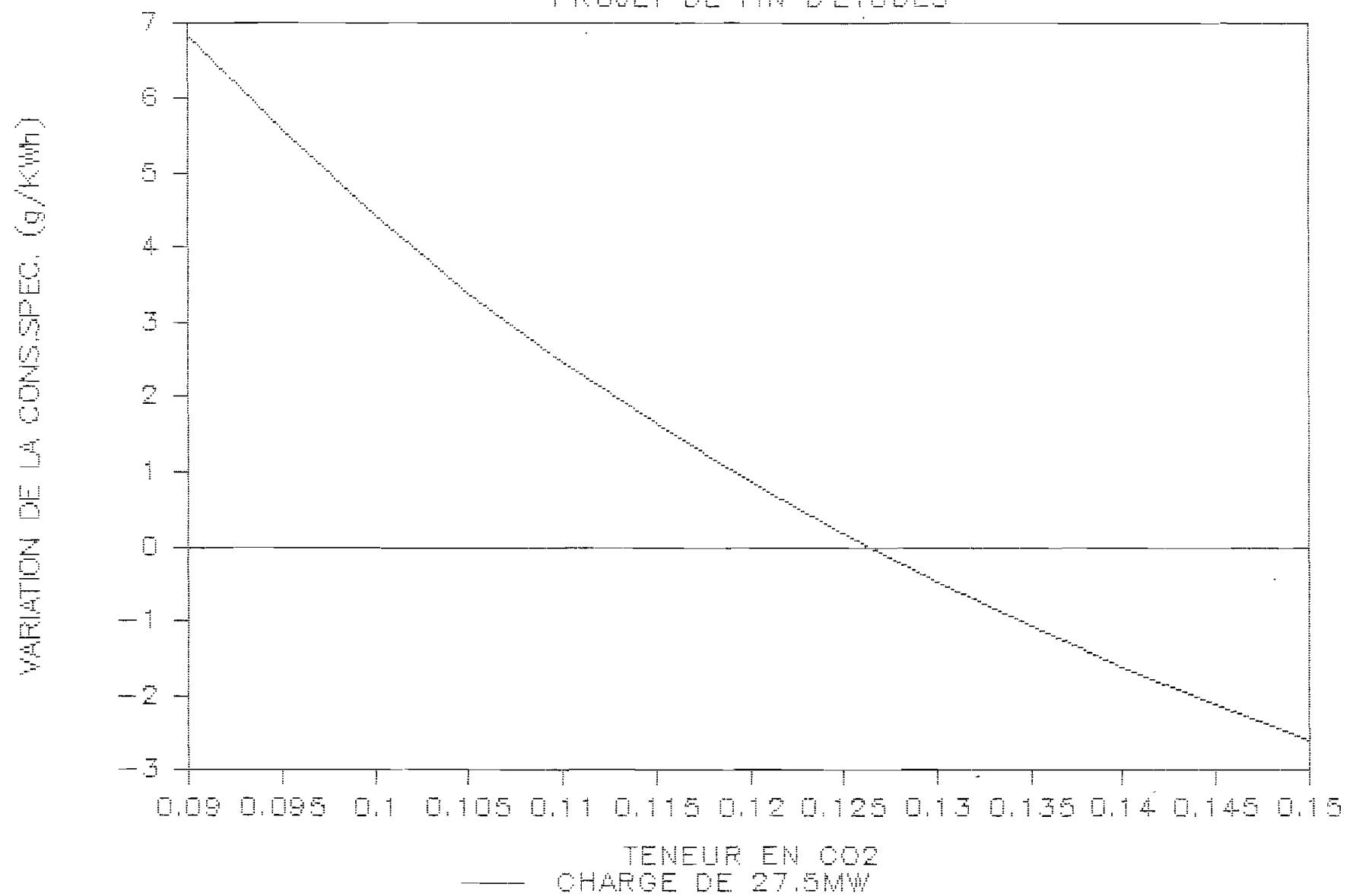
# VARIATION DE LA CONS.SPE.EN EONC.DU CO<sub>2</sub>

PROJET DE FIN D'ETUDES



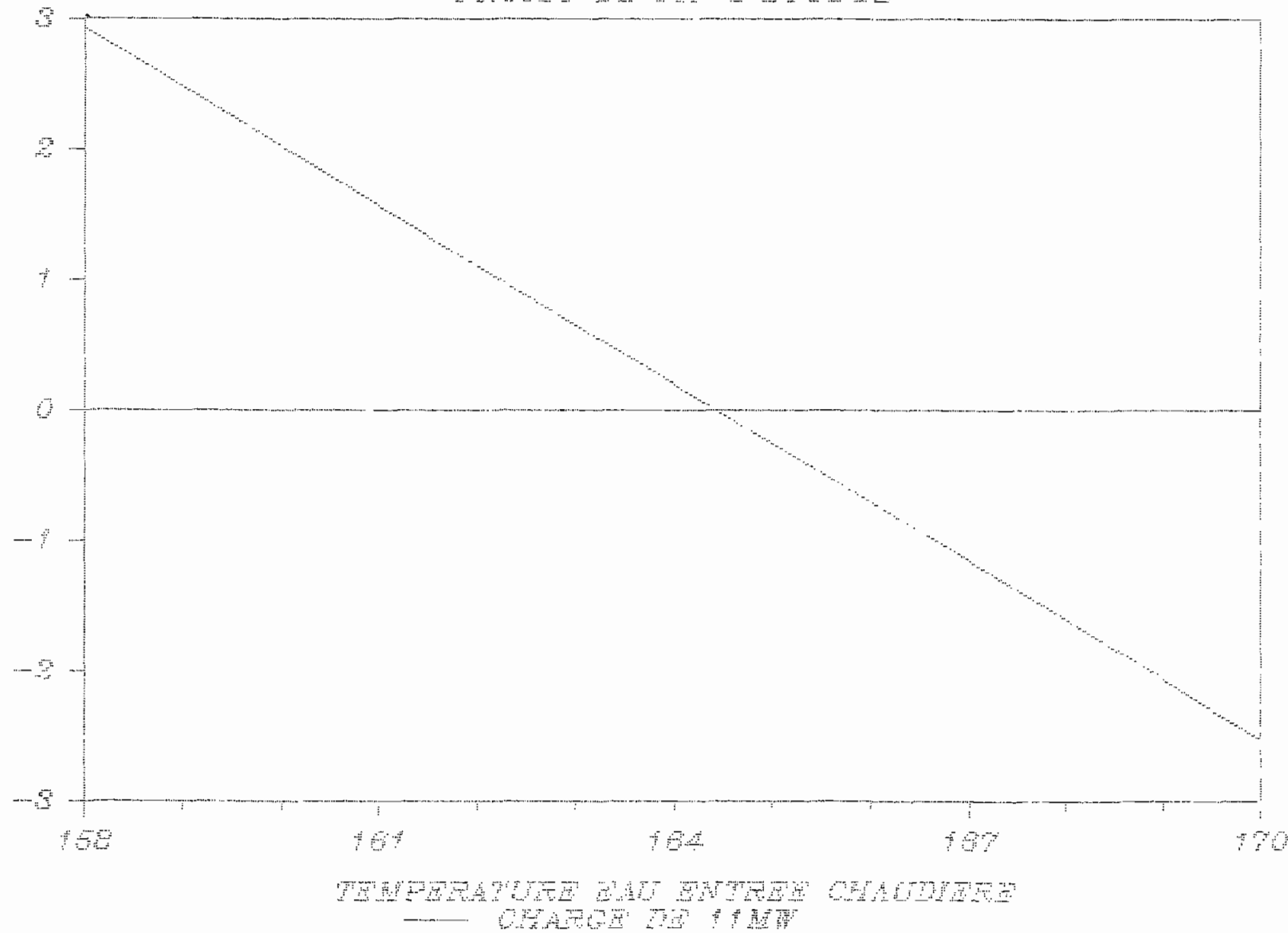
# VARIATION DE LA CONS.SPEC.EN FONC.DU CO<sub>2</sub>

PROJET DE FIN D'ETUDES



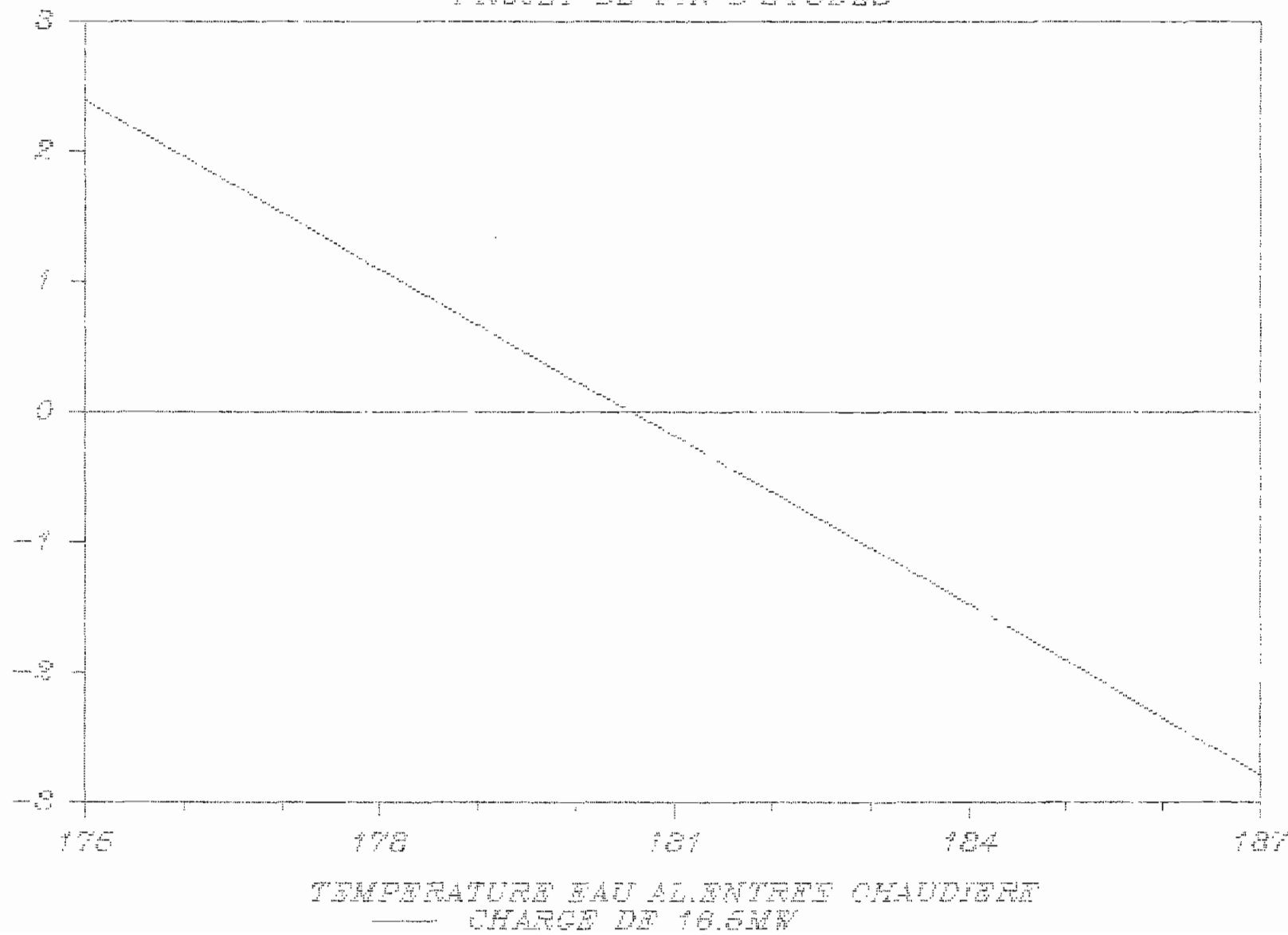
VARIATION DE LA C. S. EN FONC. DE LA T<sub>0</sub>C  
PROJET DE FILM D'ETUDES

(Fiche n° 5) MISE EN MARCHE N° 62 - FILE 300 N° 1000000000



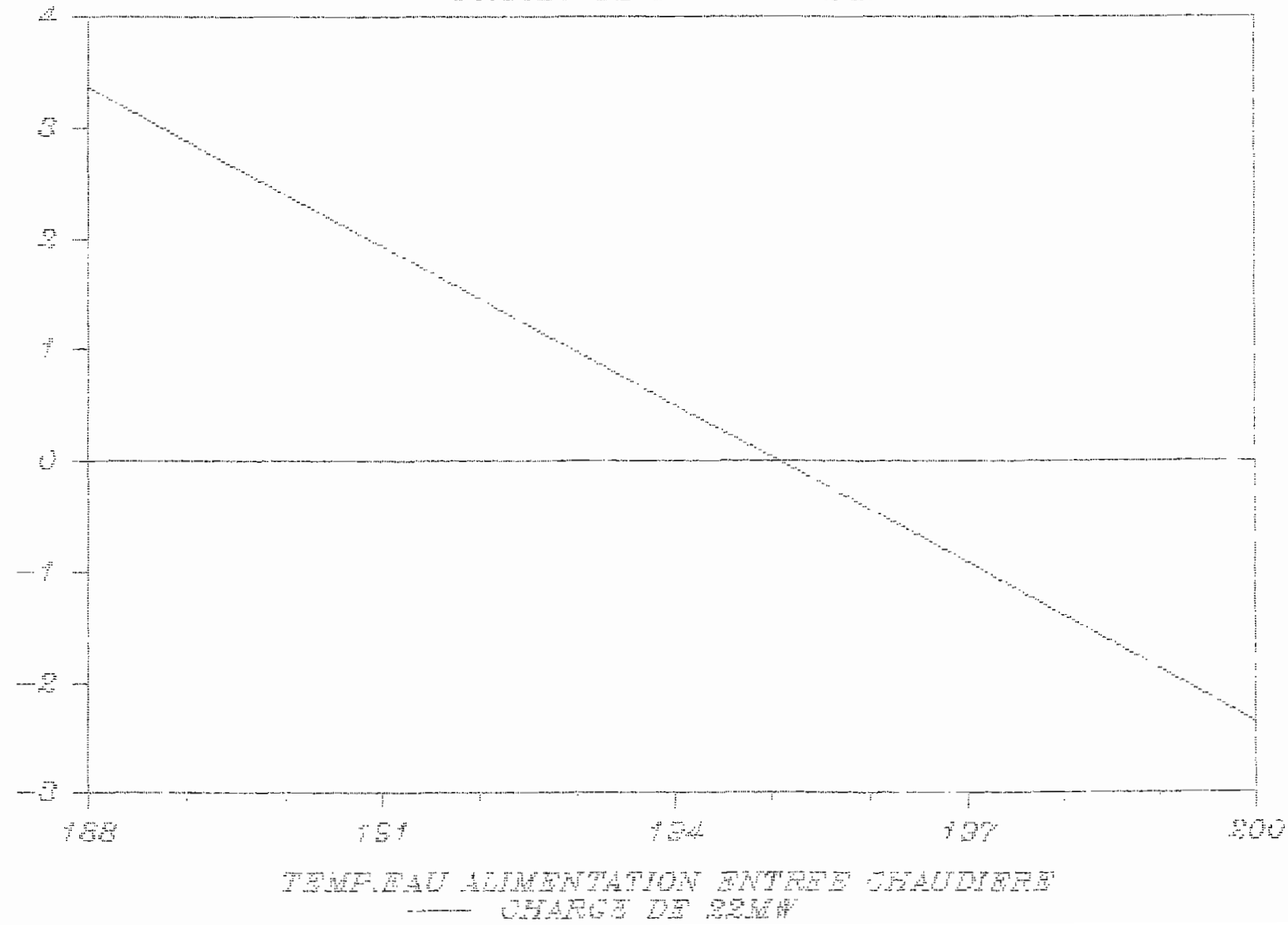
VARIATION DE LA C. S. EN FONC. DE LA T<sub>E</sub> O  
PROJET DE FIN D'ETUDES

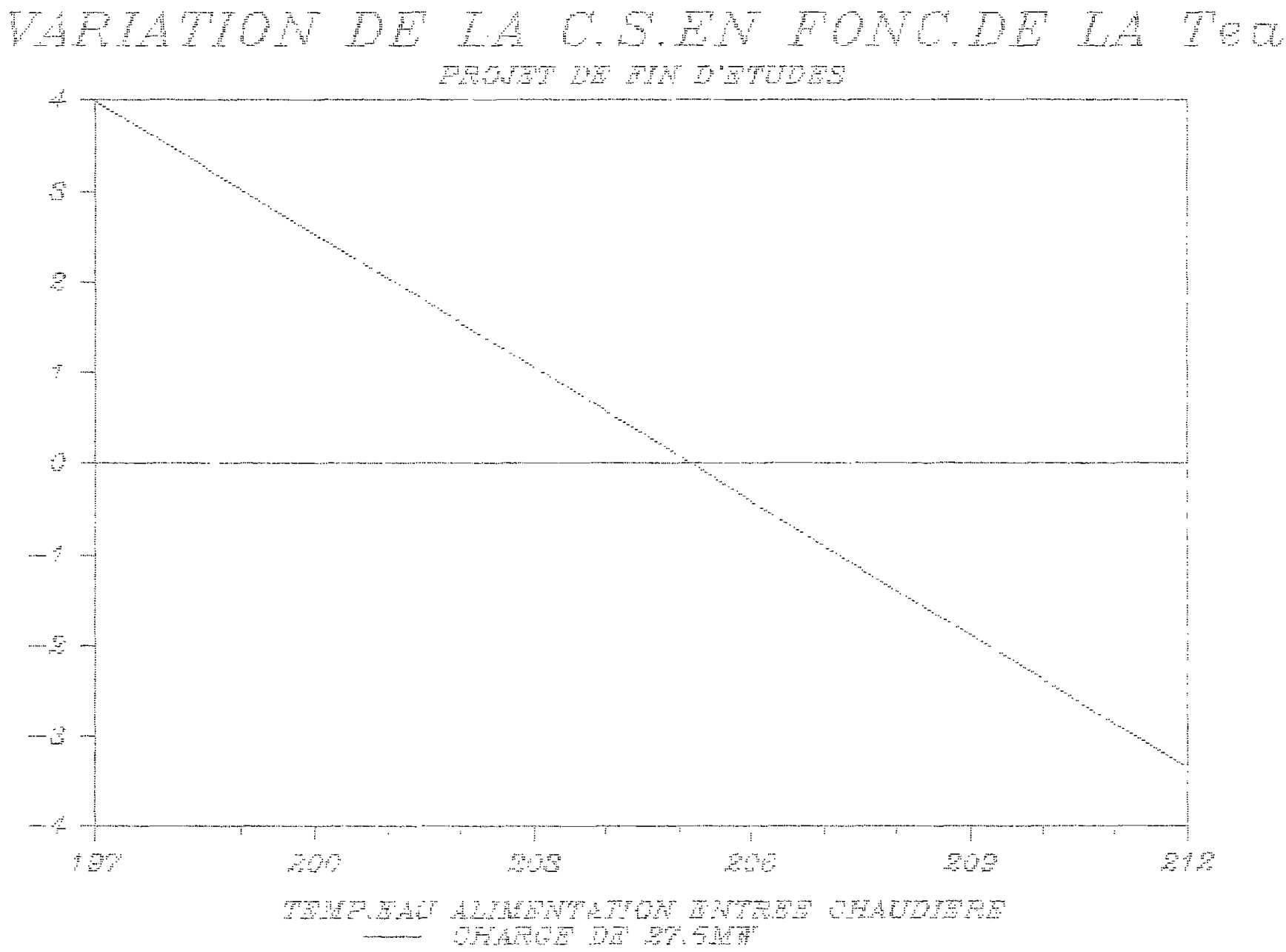
PROJET DE FIN D'ETUDES



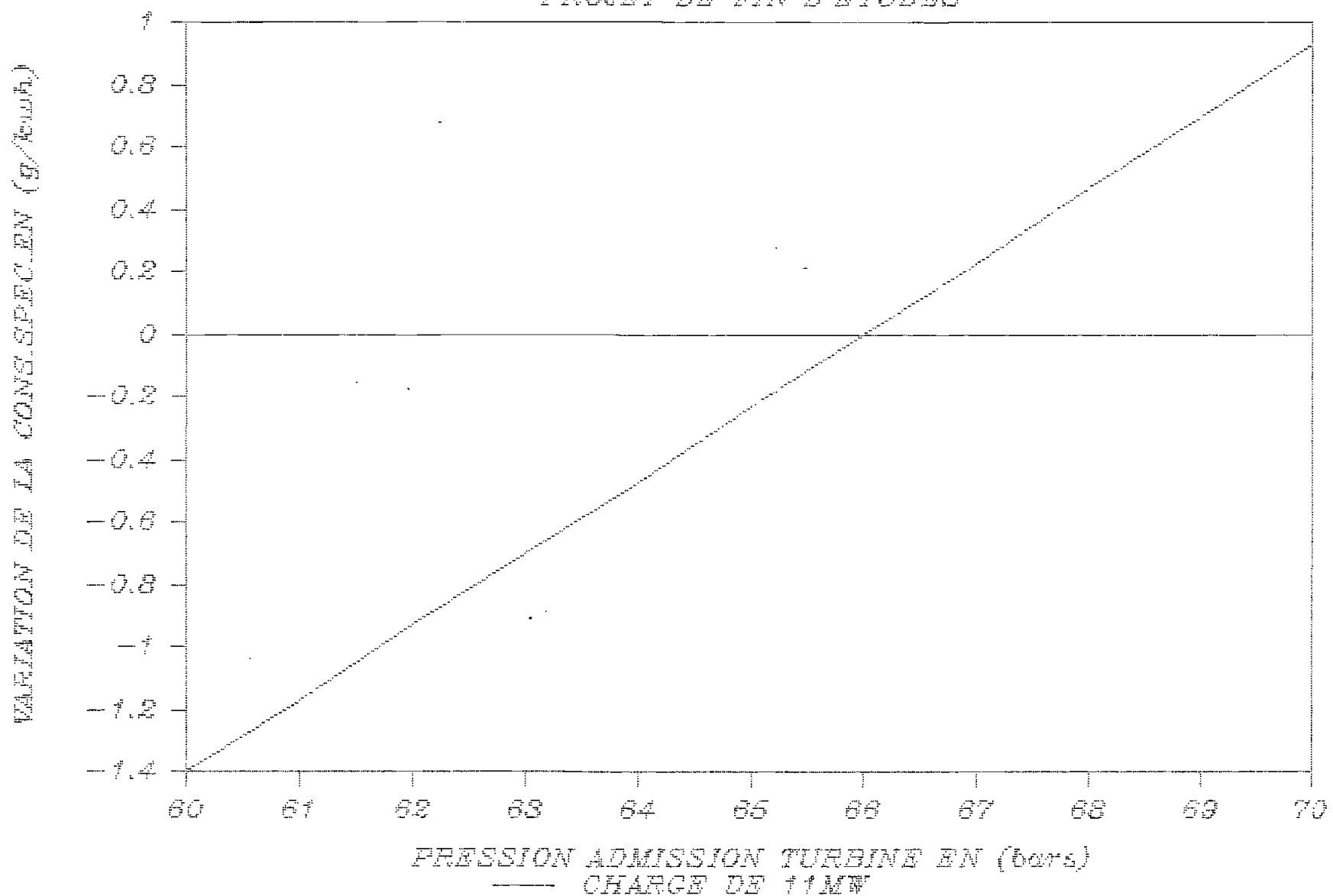
VARIATION DE LA C.S. EN FONCTION DE LA T<sub>BO</sub>  
PROJET DE FIN D'ETUDES

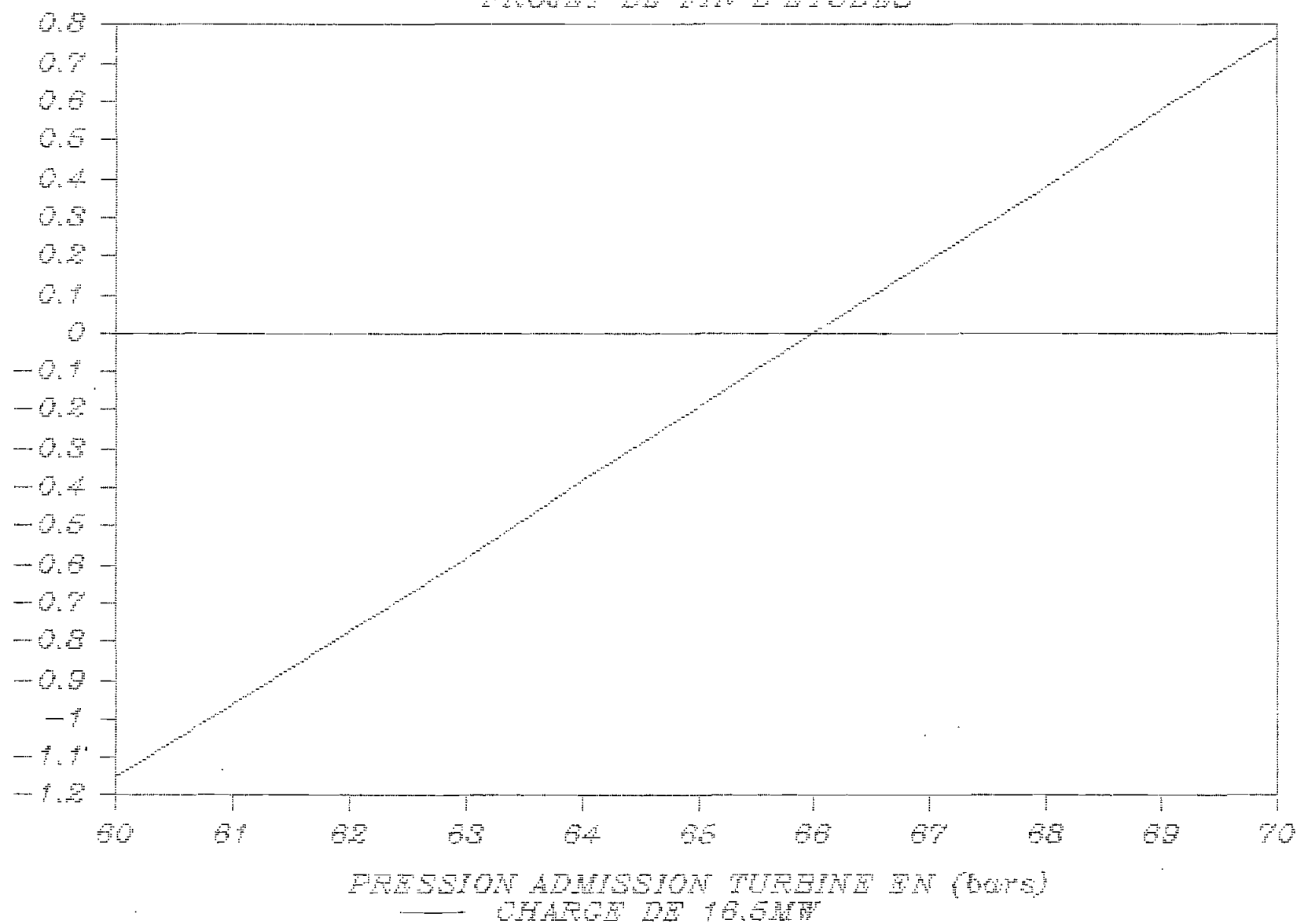
VARIATION DE LA C.S. EN FONCTION DE LA T<sub>BO</sub> (°C)





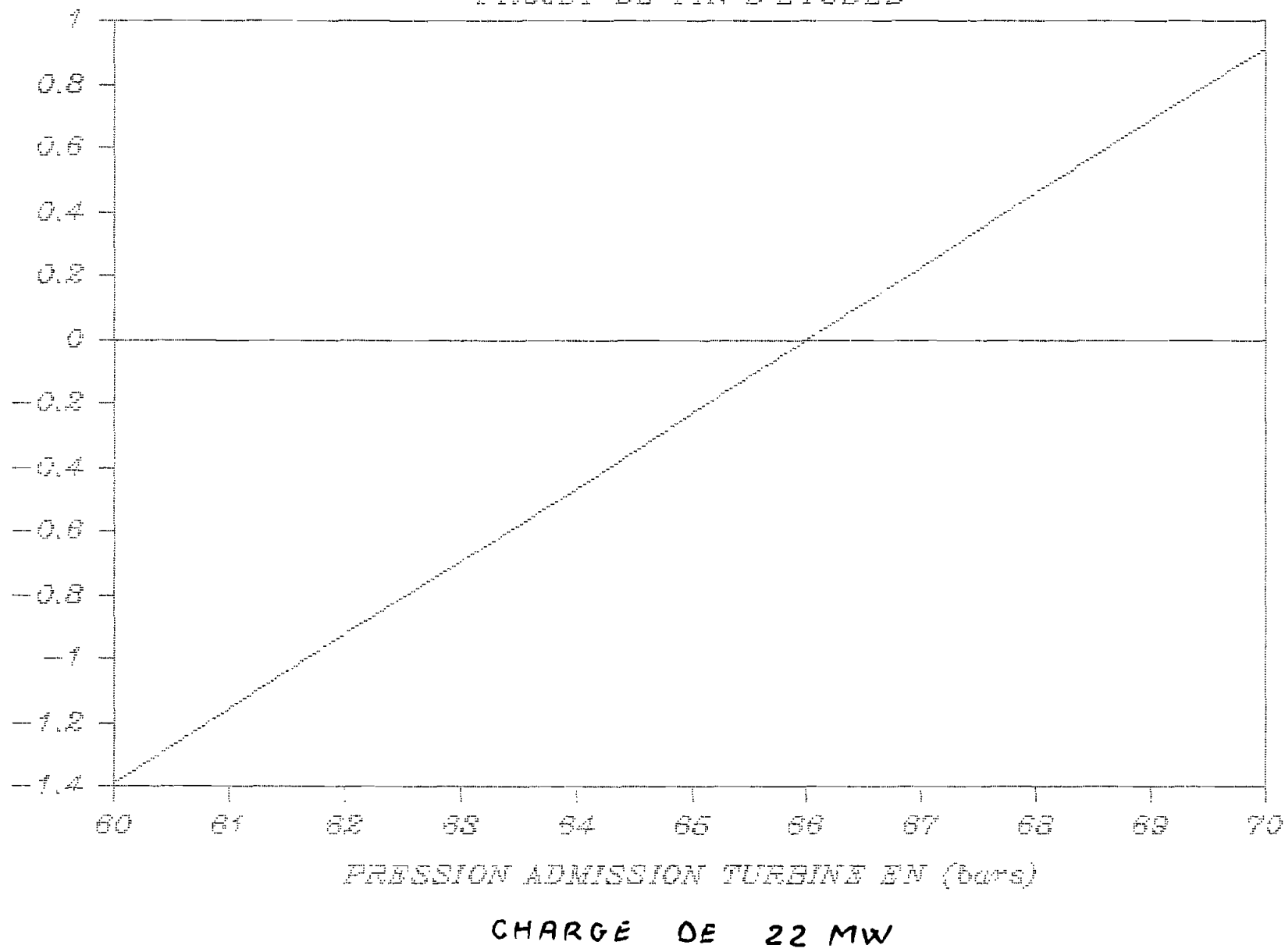
VARIATION DE LA C.S. EN FONC. DE LA Pad  
PROJET DE FIN D'ETUDES



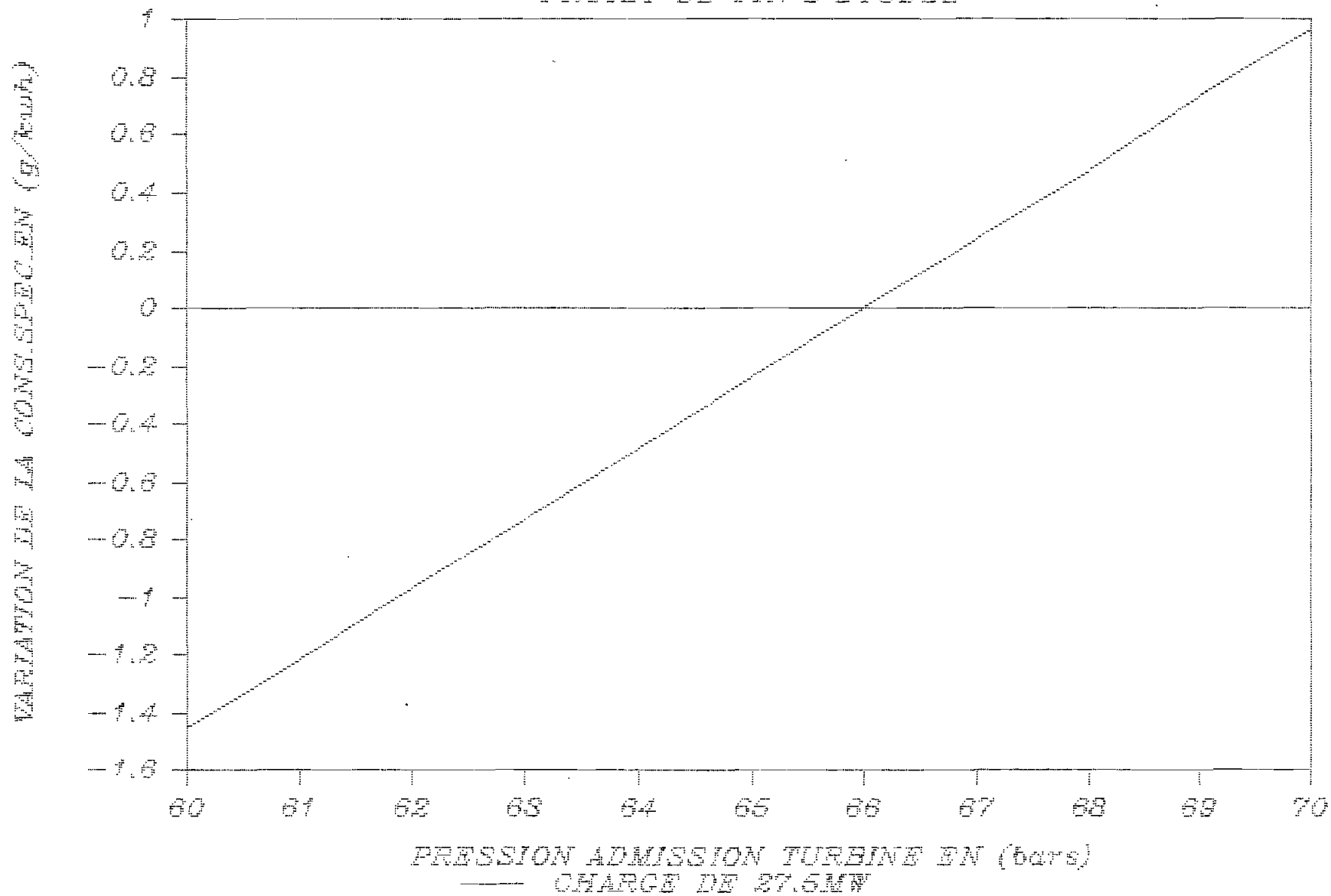


VARIATION DE LA C.S. EN FONC. DE LA Pad  
PROJET DE FIN D'ETUDES

(Mw/kg) MÉTÉOROLOGIQUE ET ATMOGRAPHIQUE

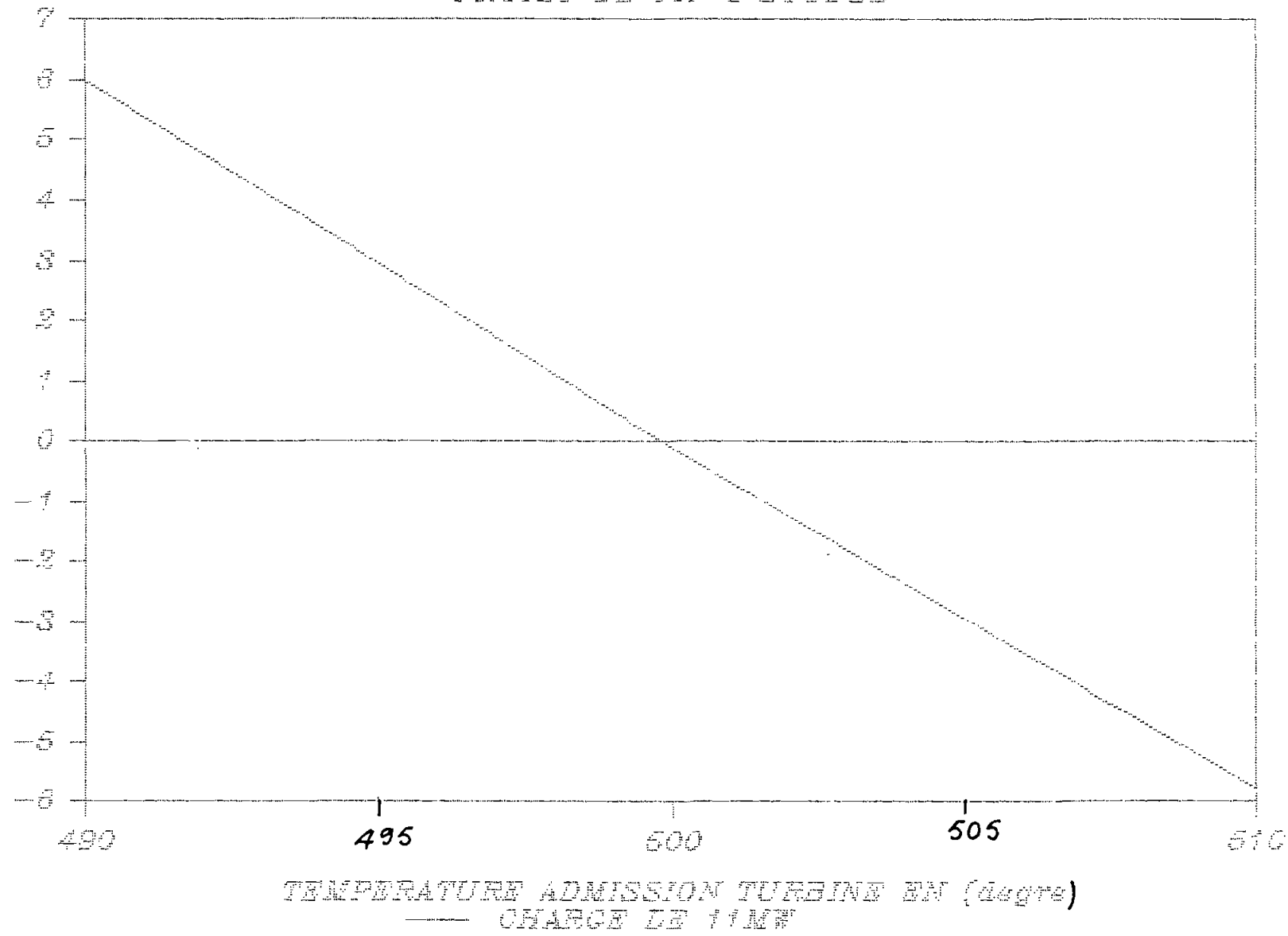


VARIATION DE LA C.S. EN FONC. DE LA Pad  
PROJET DE FIN D'ETUDES



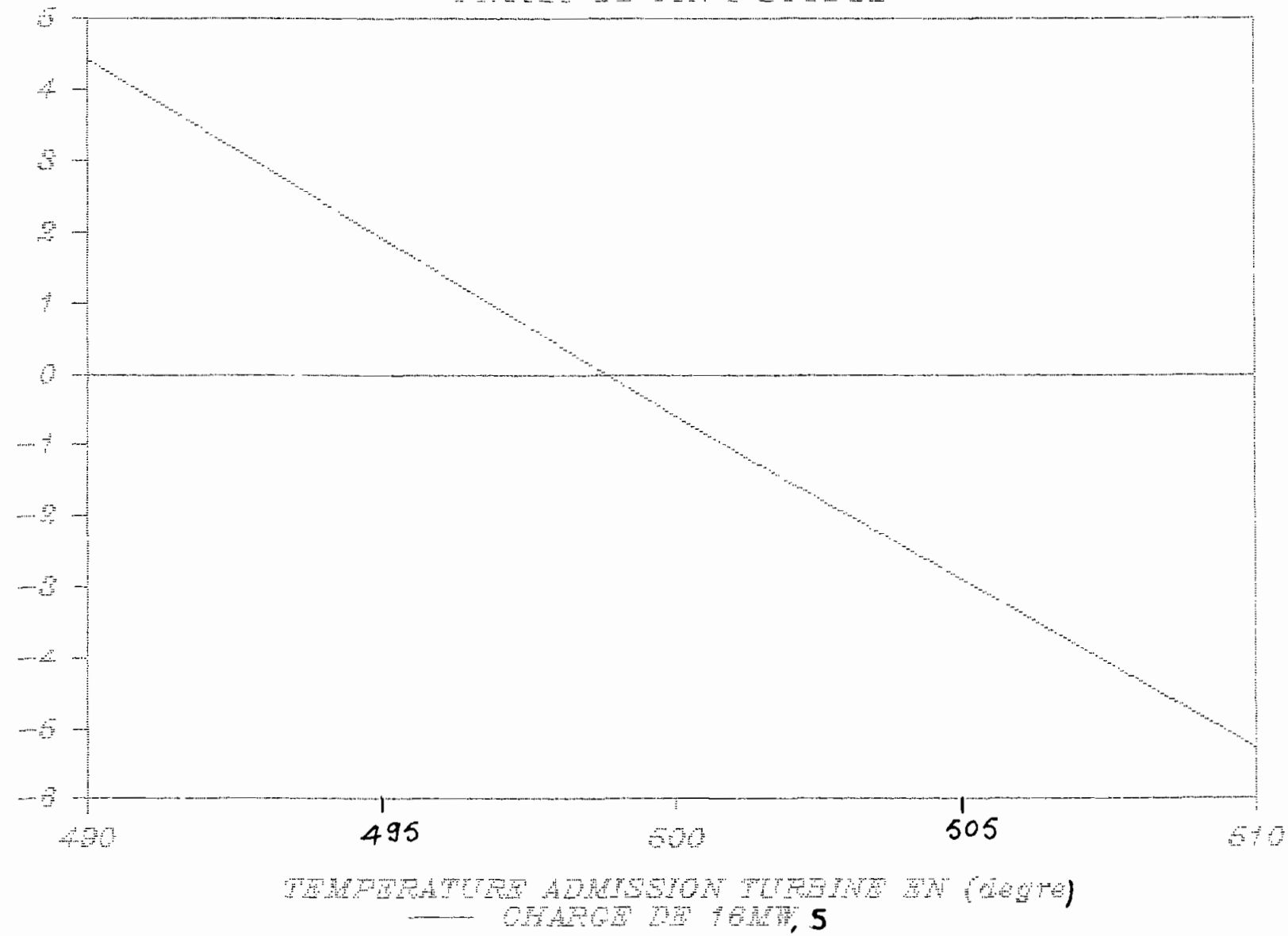
VARIATION DE LA C.S. EN TONNE DE LA TURBINE  
PROJET DE FIN D'ETUDES

CDM, S.D.P.R., E.N.P., E.N.E., J.E.P., J.M.C., G.D.M., G.P.D., E.N.P., E.N.E.

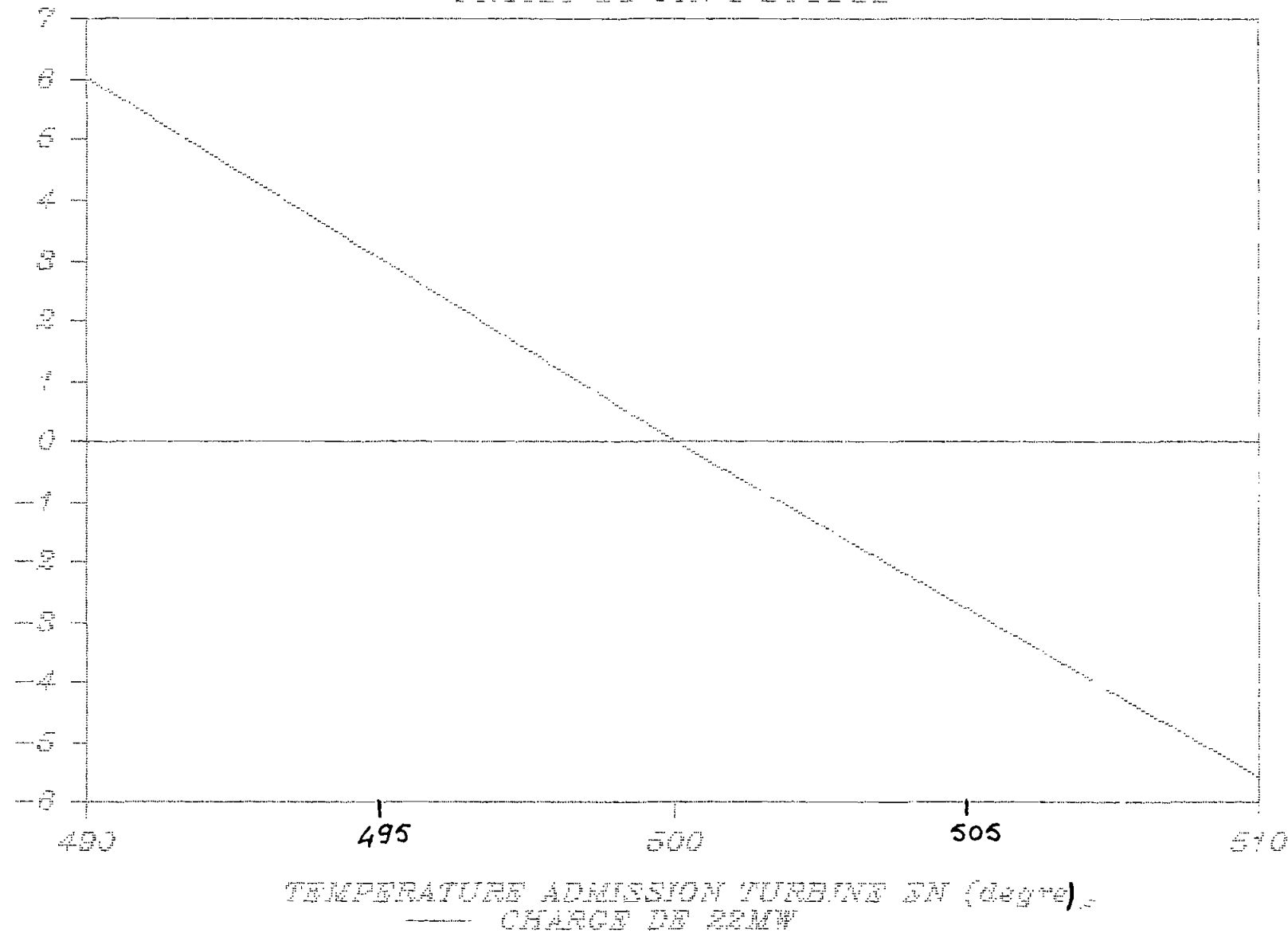


VARIATION DE LA C.S. EN FONCTION DE LA TAD  
PROJET DE FIN D'ETUDES

DISCUSSIONS SUR LA POSSIBILITE D'OPTIMISER LE PROJET



PARATION DE LA CADEN FOND DE LA TURBINE  
PROJET DE FIN D'ETUDES



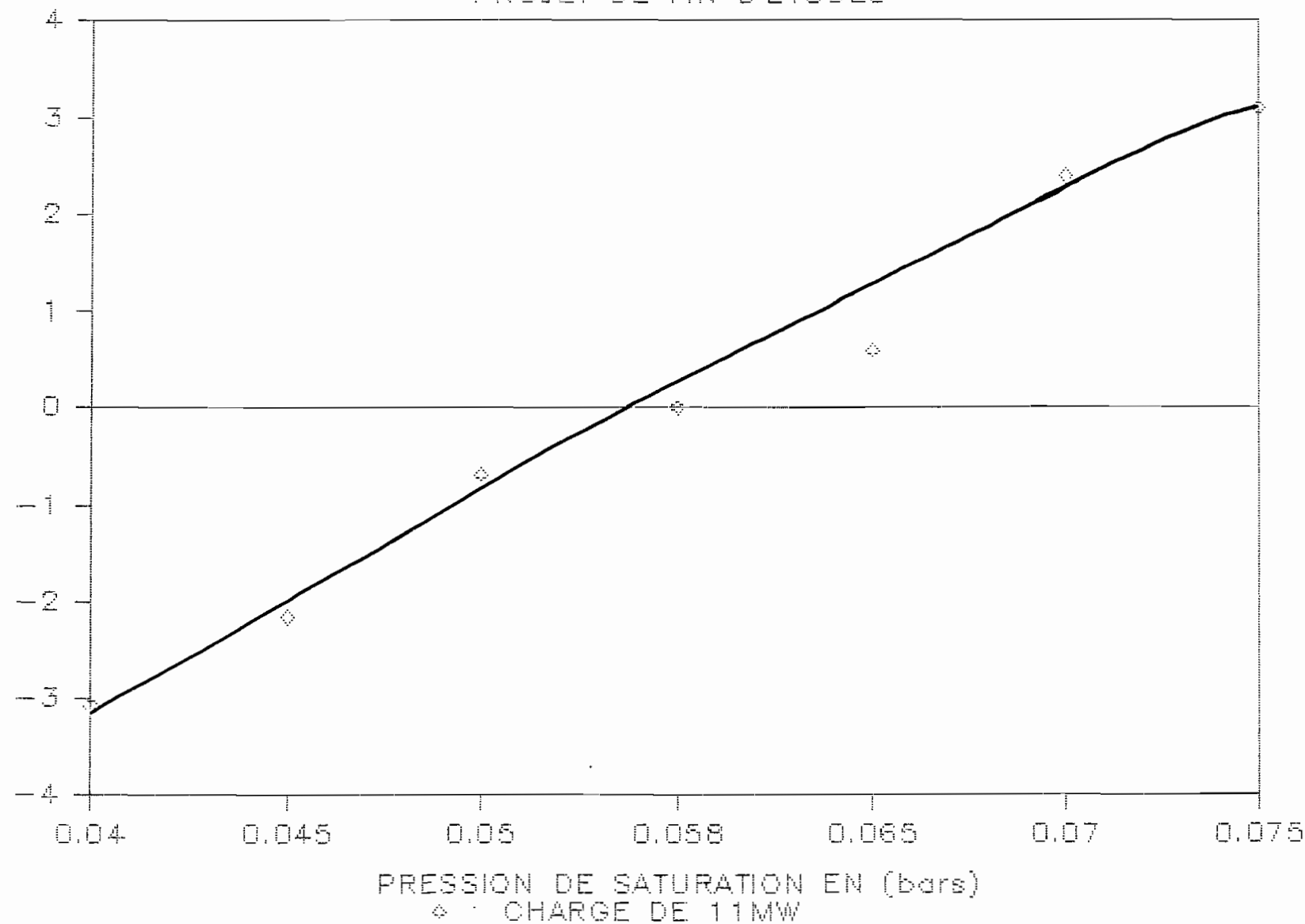
VARIATION DE LA C.S.EN FONC. DE LA Tad  
PROJET DE FIN D'ETUDES



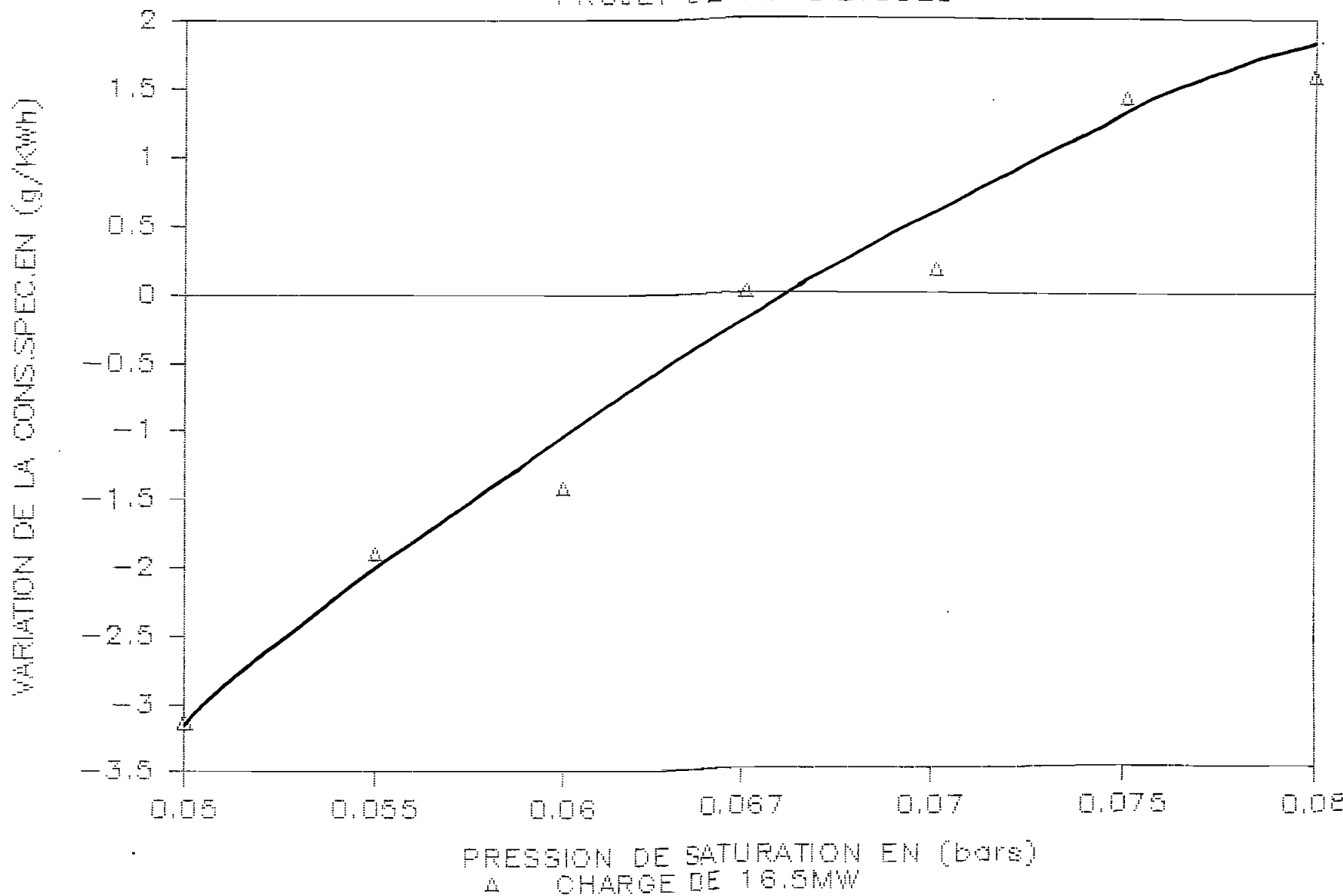
# VARIATION DE LA C.S. EN FONC. DE LA Psat

PROJET DE FIN D'ETUDES

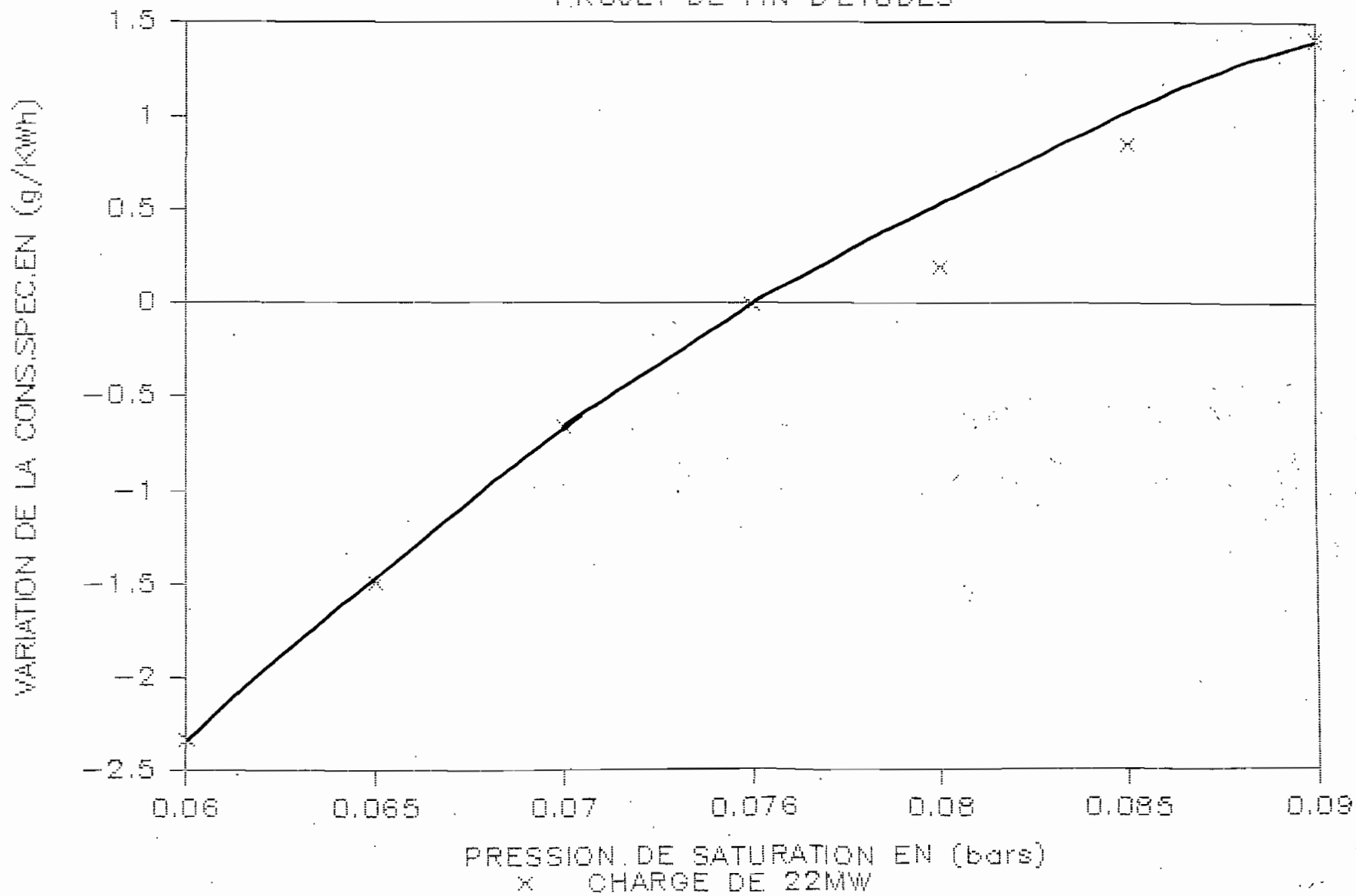
VARIATION DE LA CONS. SPEC. EN (g/kWh)



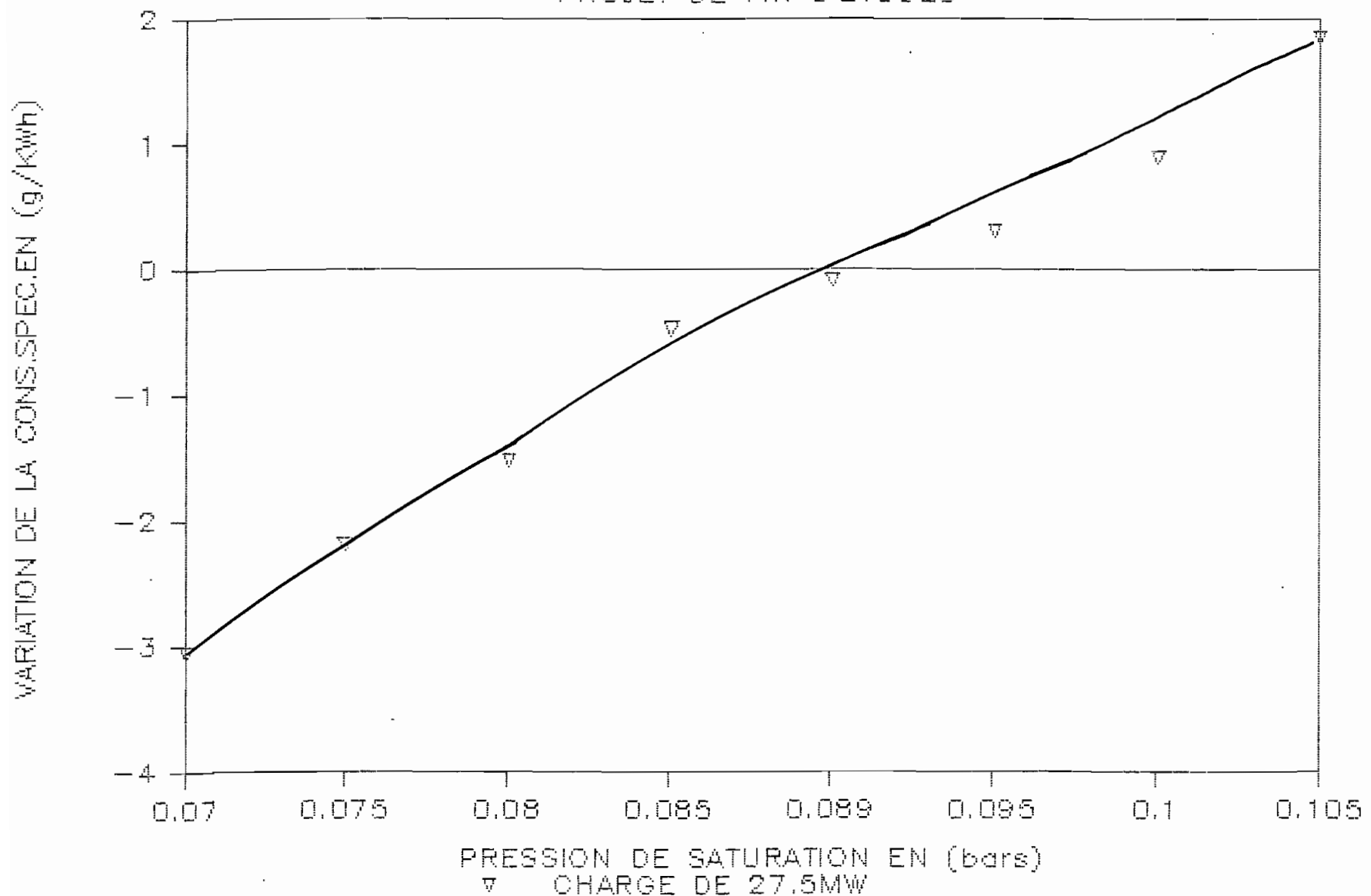
VARIATION DE LA C.S. EN FONC. DE LA Psat.  
PROJET DE FIN D'ETUDES



VARIATION DE LA C.S. EN FONC. DE LA  $P_{sat}$   
PROJET DE FIN D'ETUDES



VARIATION DE LA C.S. EN FONC. DE LA  $P_{sat}$   
PROJET DE FIN D'ETUDES



## ÉTABLISSEMENT DES TABLEAUX PÉRIODIQUES DE CONTRÔLE ÉCONOMIQUE

En possession des documents de base que nous avons préparé i.e les combes de variation de la consommation spécifique en fonction de différents paramètres et pour différentes charges, de la consommation spécifique de référence pour chaque charge, nous aurons normuellement à procéder aux opérations suivantes :

### 1°) Remplir le tableau A

Le travail qui n'implique aucun calcul autre que celui de moyennes, pourra être confié à un employé spécialisé ou un agent technique.

Celui-ci aura intérêt à tenir un tableau de travail préparatoire comportant autant de colonnes que de jours dans le mois et sur lequel seront reportés quotidiennement les renseignements utiles : lecture des appareils de contrôle, résultats d'analyses effectués par le laboratoire etc... (cf tableau A).

On reporteras dans la dernière colonne de ce tableau les valeurs (moyennes) pour l'ensemble.

### 2°) Remplir le tableau B

Le tableau implique l'utilisation des réseaux de combes de correction de la consommation spécifique

et de petits calculs. Le soin de le remplir devra être confié à un agent technique bien spécialisé.

En considérant la dernière colonne de A, on remplit le tableau B .

TABLEAU A : Relevés

		1	2		{	30	Moyenne
Marche à	MW				{		
Consommation spécifique ob.	g / kWh						
<u>Combustible</u>							
Pouvoir calorifique supérieur	kcal / kg						
<u>Air comburant</u>							
température sortie ventilateur de soufflage	°C						
<u>Gaz de combustion</u>							
teneur en CO <sub>2</sub>	%						
température des gaz	°C						
<u>Eau et Vapeur</u>							
température eau alimentation	°C						
entrée économiseur							
Pression de saturation	bars						
Pression de la vapeur à l'admission de la turbine	bars						
Température de la vapeur à l'admission de la turbine	°C						

TABLEAU B : Analyse de la consommation spécifique

Consommation spécifique de référence pour la marche considérée.	g / kWh	...
Écarts dus au PCS	g / kWh	...
Écarts dus à la To	—“—	...
Écarts dus à la Tg	—“—	...
Écarts dus à la Tea	—“—	...
Écarts dus à la Psat	—“—	...
Écarts dus à Pad	—“—	...
Écarts dus à la Tad	—“—	...
— “ — --- à la variation de CO <sub>2</sub>	—“—	...
 Somme des Écarts	g / kWh	...
Consommation calculée =		
Cons. spéif. de référence + Σ écarts	—“—	...
Ecart inexpliqué =		
difference entre cons. observée et calculée	—“—	...

## CONCLUSION.

Pour déterminer la consommation optimale de base d'une tranche donnée au vrai sens de l'expression c'est le minimum de la consommation spécifique de combustible de la tranche, il faut nécessairement avoir les données dans les conditions optimales qui il serait possible de réaliser. Alors depuis le début de cette étude, nous nous sommes toujours posés la question : est-ce que les schémas chiffrés utilisés pour ce calcul représentent un fonctionnement optimal ? Même s'ils le représentent, le rendement de la chaudière introduit dans les calculs a été déterminé à partir d'un combustible pris arbitrairement et qui n'est peut-être pas le meilleur disponible sur le marché.

Donc dans ces conditions, on ne peut pas parler de meilleur rendement de la chaudière ni de meilleur consommation spécifique ou consommation optimale de base.

Cependant il faut noter que même si la consommation calculée ne représente pas une consommation optimale de base mais seulement une consommation de référence obtenue à partir de paramètres appelés paramètres de référence, l'objectif du projet peut être atteint. Cet objectif est de d'établir des documents de base pour un contrôle économiqe manuel. S'ailleurs il est même plus réaliste de travailler avec ces paramètres de référence que de

considérer les données du constructeur pour une installation qui date de plus de vingt ans.

L'établissement des documents de base n'est fait qu'avec quatre paliers de charge : chargement à  $\frac{2}{4}$ ,  $\frac{3}{4}$ ,  $\frac{4}{4}$  et  $\frac{5}{4}$  pour le groupe à vapeur de 22 / 27,5 MW

Ceci peut constituer un blocage au contrôle économique pour des taux de chargement intermédiaires.

Par conséquent une solution complète ne peut pas être apportée à ce niveau, car les chargements pré-cités sont les seuls disponibles dans les schémas chiffrés du groupe turbine - chaudière. ( cf. Annexe ).

### Recommandations

Toujours nous l'avons déjà constaté dans le calcul de la consommation optimale de base pour différentes charges, on a la meilleure consommation spécifique à un taux de chargement égal à  $\frac{3}{4}$  de la charge. Ceci s'explique par le fait que le rendement du turbo-groupe est maximal à  $\frac{3}{4}$  de sa puissance nominale.

Pour la tranche 301 de puissance nominale 22 MW :

$P$ (MW)	$11 = \frac{2}{4} P_n$	$16,5 = \frac{3}{4} P_n$	$22 = P_n$	$27,5 = \frac{5}{4} P_n$
C.O.B (g/kWh)	281,32	258,77	274,27	277,30

La puissance de 16,5 MW correspondant à  $\frac{3}{4}$  de la puissance nominale de la tranche 301, etoune de faire la meilleure consommation spécifique.

Un fonctionnement à  $\frac{3}{4}$  de la puissance nominale réalise une économie de 960 000 FCA par GWH produit sur le fonctionnement à pleine charge, et une économie de 1.148 000 FCA par GWH produit sur le fonctionnement de  $\frac{5}{4}$  de la puissance nominale. Si cette économie est évaluée en grammes de combustible nous avons, pour un fonctionnement à  $\frac{3}{4}$  de la charge nominale :

- 15,5 g / kWh d'économie par rapport à un fonctionnement à 22 MW
- 18,53 g / kWh - " - " - " - " - " - de 27,5 MW.

Cette économie certainement plus importante sur les tranches 302 et 303 de puissance nominale 30MW chacune, rapportée au nombre total de GWH produit par année doit attirer l'attention de la SENELEC. En ce qui concerne le fonctionnement à  $\frac{3}{4}$  de la puissance nominale, même si cela doit nécessiter des tranches supplémentaires pour satisfaire la demande. Bien que cette installation nécessite un investissement colossal d'une part, mais permet d'autre part de réaliser une économie pouvant amortir à moyen terme le coût de l'installation.

Hormis l'économie réalisée sur le combustible, l'avantage de faire fonctionner les tranches à  $\frac{3}{4}$  de leur puissance nominale au lieu de la pleine charge est l'augmentation de leur durée de vie.

## ANNEXE A<sub>1</sub>

Marche à 11 MW.

$$1^{\circ}) \quad Q_T = D_0 (i_0 - i_{e0}) \\ = 44050 \frac{kg}{s} \times \frac{1}{3600 s} (816,1 - 166,5) \times 4,18 =$$

$$Q_T = 33225,055 \text{ kW.}$$

2<sup>o</sup>) Le travail effectif de la turbine

$$D_0 = 1 \text{ kg/s} ; \quad D_1 = 0,968 \text{ kg/s}$$

$$D_2 = 0,9293 \text{ kg/s} ; \quad D_3 = 0,8805 \text{ kg/s}$$

$$D_4 = 0,8199 \text{ kg/s} ; \quad D_5 = 0,8078 \text{ kg/s}$$

$$Q_T^2 = (816,1 - 715,6) + 0,968 (715,6 - 694,3) + \\ 0,9293 (694,3 - 662,8) + 0,8805 (662,8 - 626,4) \\ + 0,8199 (626,4 - 578,7) + 0,8078 (578,7 - 556) = 239,89 \text{ kcal/s}$$

$$Q_T^2 = 239,89 \frac{\text{kcal}}{\text{kg}} \times 44050 \times \frac{1}{3600} \frac{\text{kg}}{\text{s}} \times 4,18 = 12269,64 \text{ kW}$$

3<sup>o</sup>) Le travail équivalent aux pertes de débit.

$$600 \frac{kg}{s} \times \frac{1}{3600 s} \times 713,9 \frac{\text{kcal}}{\text{kg}} \times 4,18 = 497,85 \text{ kW}$$

4<sup>o</sup>) Le travail fourni par la turbine :

$$Q_T^2 = 12269,64 - 497,85 = 11772,30 \text{ kW.}$$

5°) Le rendement global brut du groupe chaudière-turbine

$$\eta_g = \frac{\eta_{ch} \times \eta_T^2}{\eta_T} = \frac{0,8681 \times 11772,30}{33225,055}$$

$$\eta_g = 0,3075 \quad (30,75\%)$$

6°) La consommation de combustible pour la production d'un kilowatt-heure

$$b = \frac{3600}{4,18 \times PCI \times \eta_g} = \frac{3600}{4,18 \times 9956 \times 0,3075}$$

$$b = \underline{281,32} \text{ g / kWh}$$

Marche à 16,5 MW.

1°) La quantité de chaleur produite par le générateur  
de vapeur,  $Q_T$ .

$$Q_T = D_0 (i_0 - i_{ea}) \\ = 64550 \times \frac{1}{3600} (816,1 - 184,6) \times 4,18$$

$$Q_T = 47330 \text{ kW}$$

2°) Le travail effectif de la turbine,  $Q_T^e$

$$D_0 = 1 \text{ kg/s} ; \quad D_1 = 0,964 \text{ kg/s}$$

$$D_2 = 0,921 \text{ kg/s} ; \quad D_3 = 0,868 \text{ kg/s}$$

$$D_4 = 0,804 \text{ kg/s} ; \quad D_5 = 0,786 \text{ kg/s}$$

$$Q_T^e = (816,1 - 725,7) + 0,964 (725,7 - 704,2) + \\ + 0,921 (704,2 - 670,2) + 0,868 (670,2 - 632,5) \\ + 0,804 (632,3 - 582,8) + 0,786 (582,8 - 533) \\ = 254,280 \text{ Kcal}$$

$$Q_T^e = \frac{64550}{3600} \times 254,280 \times 4,18 = 19058,27 \text{ kW}$$

3°) Le travail équivalent aux pertes de débits.

$$940 \times \frac{1}{3600} \times 725,3 \times 4,18 = 791,62 \text{ kW}$$

4°) Le travail fourni par la turbine

$$Q_T^e = 19058,27 - 791,62 = 18266,65 \text{ kW}$$

5) Le rendement global brut du groupe turbine-chaudière

$$\eta_g = \frac{\eta_{ch} \times \eta_T^e}{\eta_T} = \frac{0,8681 \times 18266,65}{47380}$$

$$\eta_g = 0,3343 \quad (33,43\%)$$

6) La consommation de combustible pour la production d'un kilowattheure.

$$b = \frac{3600}{4,18 \times PCI \times \eta_g} = \frac{3600}{4,18 \times 9956 \times 0,3343}$$

$$b = \underline{258,77} \text{ g / kWh}$$

### Marche à 22 MW

1°) La quantité de chaleur produite par le générateur de vapeur,  $Q_T$ .

$$Q_T = D_0 (i_0 - i_{\infty})$$

$$= 86310 \times \frac{1}{3600} (816,1 - 198,6) \times 4,18 =$$

$$Q_T = 61883,07 \text{ kW.}$$

2°) Le travail effectif de la turbine,  $Q_T^e$ .

$$D_0 = 1 \text{ kJ/s} ; \quad D_1 = 0,960 \text{ kJ/s}$$

$$D_2 = 0,913 \text{ kJ/s} ; \quad D_3 = 0,856 \text{ kJ/s}$$

$$D_4 = 0,789 \text{ kJ/s} ; \quad D_5 = 0,768 \text{ kJ/s}$$

$$Q_T^e = (816,1 - 734,9) + 0,960 (734,9 - 712,6) +$$

$$+ 0,913 (712,6 - 677,6) + 0,856 (677,6 - 637,7)$$

$$+ 0,789 (637,7 - 586,1) + 0,768 (586,1 - 552,5)$$

$$\approx 235,230 \text{ Kcal}$$

$$Q_T^e = 235,230 \times 4,18 \times 23,973 = 23573,672 \text{ kW}$$

3°) Le travail équivalent aux pertes de débit

$$1200 \frac{\text{kg}}{\text{s}} \times \frac{1}{3600} \times 734,7 \times 4,18 = 1091,93 \text{ kW}$$

4°) Le travail fourni par la turbine

$$Q_T^e = 23573,672 - 1091,93 = 22481,74 \text{ kW}$$

5) Le rendement global brut du groupe chaudière-turbine.

$$\eta_g = \frac{\eta_{ch} \times \eta_T^e}{\eta_T} = \frac{0,8681 \times 22481,74}{61883,07}$$

$$\eta_g = 0,3154 \quad (31,54\%)$$

6) La consommation de combustible pour la production d'un kilowattheure.

$$b = \frac{3600}{4,18 \times PCI \times \eta_g} = \frac{3600}{4,18 \times 9956 \times 0,3154}$$

$$b = \underline{274,27} \text{ g / kWh.}$$

Marche à 27,5 MW.

1°) La quantité de chaleur produite par le générateur de vapeur,  $Q_T$

$$Q_T = D_0 (i_0 - i_{ea})$$

$$= 110550 \times \frac{1}{3600} \frac{\text{kg}}{\text{s}} (816,1 - 209,6) \frac{\text{kcal}}{\text{kg}} \times 4,18 =$$

$$Q_T = 77850,845 \text{ kW}$$

2°) Le travail effectif de la turbine,  $Q_T^e$

$$D_0 = 1 \text{ kg/s} ; D_1 = 0,958 \text{ kg/s}$$

$$D_2 = 0,9124 \text{ kg/s} ; D_3 = 0,8496 \text{ kg/s}$$

$$D_4 = 0,7797 \text{ kg/s} ; D_5 = 0,7592 \text{ kg/s}$$

$$Q_T^e = (816,1 - 747,1) + 0,958 (747,1 - 723,3)$$

$$+ 0,9124 (723,3 - 687,9) + 0,8496 (687,9 - 646,1)$$

$$+ 0,7797 (646,1 - 592,1) + 0,7592 (592,1 - 556,2)$$

$$= 228,97 \frac{\text{kcal}}{\text{kg}} =$$

$$Q_T^e = 30,70 \frac{\text{kg}}{\text{s}} \times 228,97 \frac{\text{kcal}}{\text{kg}} \times 4,18 = 29390,78 \text{ kW}$$

3°) Le travail équivalent aux pertes de débit.

$$1625 \times \frac{1}{3600} \frac{\text{kg}}{\text{s}} \times 746,2 \frac{\text{kcal}}{\text{kg}} \times 4,18 = 1407,93 \text{ kW}$$

4°) Le travail fourni par la turbine.

$$Q_T^e = 29390,78 - 1407,93 = 27982,85 \text{ kW}$$

5°) Le rendement global brut du groupe chaudière-turbine.

$$\eta_g = \frac{\eta_{ch} \times \eta_T^2}{\eta_T} = \frac{0,8681 \times 27982,85}{77850,845}$$

$$\eta_g = 0,3120 \quad (31,20 \%)$$

6°) La consommation de combustible pour  
la production d'un kilowattheure

$$b = \frac{3600}{4,18 \times \text{PCI} \times \eta_g} = \frac{3600}{4,18 \times 9956 \times 0,3120}$$

$$b = 277,30 \text{ g / kWh}$$

N°

N 9077

ANNEXE A<sub>2</sub>RAPPORT ESSAI COMBUSTION

Effectué le 09 Janvier 1987 par :

- MM SOW
- DIA
- DIEYE
- SARR
- DIOP Pathé

I - BUT :

L'essai rentre dans le cadre des mesures des paramètres de fonctionnement de la chaudière 301 pour le compte du projet d'établissement du contrôle économique de cette tranche. Il s'agit de mesurer dans cette première phase les paramètres nous permettant d'évaluer la consommation optimum de base COB.

II - PRINCIPE

Le calcul du COB et celui des différentes pertes dans la chaudière requière la connaissance de la composition et des caractéristiques, du combustible, de l'air comburant et des fumées ainsi que l'énergie thermique produite par le G.V. L'essai consistait ainsi à mesurer ces différentes grandeurs à des intervalles de temps choisis.

1) Mesure de la composition des fumées

Cette mesure réalisée avec l'appareil d'ORSAT permet de connaître la teneur en C.02 et O2 des gaz. L'échantillon de gaz a été pris à l'entrée de l'économiseur. Il faut noter que c'est après d'énormes difficultés que nous sommes parvenus à obtenir un échantillon significatif, la chaudière étant en forte dépression dans cette zone. La pompe alimentant l'appareil d'ORSAT n'a pu fonctionner normalement qu'avec un long tube plongé à l'intérieur du flux de gaz.

Simultanément avec la mesure de la composition des gaz, deux mesures de la température des fumées à l'entrée de l'économiseur sont faites en local et à la salle de commande.

..../....

## 2) Autres mesures sur le G.V

Les autres grandeurs sont mesurées à partir des enregistreurs de la salle de commande. Il faut noter que pour les mesures de température à la sortie réchauffeur d'air et à la sortie ventilateur de soufflage, il est nécessaire d'apporter une correction due à la présence de jonction thermocouple au niveau des boîtiers de mesure. Cette correction consistera à ajouter la température ambiante dans le boîtier en question à la valeur due.

### - Analyse du combustible

Cette analyse n'est pas encore faite. Cependant, une échantillon de combustible est prise à chaque mesure. Le mélange des trois échantillons permet d'obtenir des résultats pouvant être considérés comme moyens.

L'analyse du combustible devra fournir, sa teneur en carbone, soufre, hydrogène , eau, cendre, etc... Elle devra aussi fournir le PCS.

### - Analyse de l'air comburant

Cette analyse n'a pas été faite, mais elle est importante pour le calcul des pertes par chaleur sensible. Si nous pouvons estimer que l'air contient à peu près 79 % de N<sub>2</sub> et 21 % d'oxygène en zone sèche, nous ne pouvons pas faire de même en zone humide. La teneur en eau de l'air carburant devient en effet importante et engendre des pertes dans la chaudière.

## IV - RESULTATS

### 1) Analyse des fumées

17 H	CO <sub>2</sub> % = 12,7 % - O <sub>2</sub> = 3,9 % - Exces. d'air 23,5 %
17 H 30	CO <sub>2</sub> % = 12,7 % - O <sub>2</sub> = 4,1 % - Exces. d'air 29,5 %
18 H	CO <sub>2</sub> % = 12,6 % - O <sub>2</sub> = 4,2 % - Exces. d'air 29,5 %

### 2) Température fumée Entrée Economiseur

Local	S.	D. C
17 H	473	480,5
17 H 30	473	480
18 H	479	480

### 3) Température au sortie RA (fumée)

17 H :	178,8 °C
17 H 30 :	178,8 °C
18 H :	178,4 °C

.../...

4) Température au sortie ventilateur de soufflage (air)

17 H	:	43,2 °C
17 H 30	:	43,4 °C
18 H	:	42,8 °C

Les autres mesures sont disponibles sur les feuilles de mesure de combustion et les relevés de quart.

V - EXPLOITATION

Nous pouvons constater que, concernant l'analyse des fumées, les résultats sont vraisemblables. L'excès d'air élevé est lié à la nature de la chaudière 301 (en dépression). Nous remarquons aussi que la teneur en CO n'est pas fournie par l'appareil d'ORSAT ce qui empêche de voir réellement l'état de la combustion. Les limites de l'analyse sont aussi mises en relief par l'impossibilité d'obtenir la teneur en eau et en SO<sub>2</sub> à partir de l'appareil.

L'analyse de combustible nous donnera une idée de sa teneur en soufre ce qui permettra d'évaluer l'exactitude des teneurs en CO<sub>2</sub> obtenues durant cet essai, l'appareil d'ORSAT fournit en effet la somme CO<sub>2</sub> + SO<sub>2</sub> ce que nous pouvons assimiler à la teneur en CO<sub>2</sub> si S est faible.

Nous n'avons pas aussi procédé à une analyse de la composition de l'air notamment sa teneur en eau qui peut être importante dans la région du Cap-Vert. Des dispositions devront être prises à l'avenir pour combler cette lacune.

Les mesures de température effectuées en local et à la salle de commande nous ont montré que les indications des enregistreurs sont exactes. Les deux mesures n'étant pas indispensables, il faudra en choisir un pour alléger les expérimentateurs.

Nous remarquons que les résultats obtenus à 18<sup>H</sup> en local sont identiques à ceux enregistrés à la salle de commande du fait que la prise d'échantillon a été bouchées à cette heure ce qui a réduit les infiltrations d'air donc le refroidissement des thermo-couples.

PROCEDURE D'ESSAI

L'essai peut être mené par un maximum de 2 personnes ajoutés au Chef de Bloc. Il est nécessaire pour se faire :

- de définir clairement les variables à relever
- de donner les temps auxquels il faut les relevés partant d'une base de temps commune.

- de disposer d'au moins deux multimètres.

- 1) Le Chef de Bloc effectuera les mesures en salle de commande
- 2) Le Chimiste effectue les mesures sur les fumées
- 3) La troisième personne prend les échantillons de fuel et effectue le reste des mesures dans les boîtiers.

MESURES DE COMBUSTION ET CALCUL DU RENDEMENT à 17<sup>H</sup>00  
 SUR CHAUDIÈRE B.W

Date		09/01/87			
Charge	MW	27,5	Pression air sortie ventilateur	mm H2O	300
Pression vapeur	Bar	65	Pression air sortie préchauffeur	"	120
R.C.A.M. charge	P.S.I.	0	Pression air sortie R.A	"	230
Pression mazout	Bar	18,2	Pression air sortie coffre brûleurs	"	100
Pression vapeur de pulvérisation	Bar	11,9	Température eau entrée éco.	°C	167
Débit mazout	T/h	8,00	Température eau sortie éco.	"	232
Nombre brûleurs		6	Température air entrée préchauffeur	"	52
Température fuel	°C	106	Température air entrée R.A.	"	70
Débit vapeur	T/h	87	Température air sortie R.A.	"	178
Débit air	%	70	Température fumées entrée éco.	"	462
R.C.A.M. soufflage	P.S.I.	18	Température fumées sortie éco.	"	260
Débit eau	T/h	92	Température fumées sortie R.A.	"	168
Niveau	mm	+ 35	Teneur en CO <sub>2</sub> des fumées	%	127,7 %
R.C.A.M. alimentation	P.S.I.	12,5	Teneur en O <sub>2</sub> des fumées	%	3,9 %
Température vapeur	°C	504	Excés d'air	%	23,5
R.C.A.M. désurchauffe	P.S.I.	11,1			
R.C.A.M. tirage	P.S.I.	16,5	Analyse fuel oil N°		
Dépression foyer	mm H2O	5,2	Echantillon prélevé le		
Dépression fumée sortie chaudièr	"	85	Pouvoir calorifique supérieur	Kcal/Kg	
Dépression fumée sortie éco.	"	170	Additif :		
Dépression fumée sortie R.A.	"	230	Pertes par les fumées	% Pcs	
			Pertes totales	% Pcs	
			Rendement	%	

Observations :

CENTRALA III

 MESURES DE COMBUSTION ET CALCUL DU RENDEMENT 0 17 H 35  
 SUR CHAUDIÈRE B.W

Date		09/01/87	mm H <sub>2</sub> O	300
Charge	I.W	27	"	220
Pression vapeur	Bar	65	"	80
R.C.A.M. charge	P.S.I.	0	"	98
Pression mazout	Bar	18	°C	
Pression vapeur de pulvérisation	Bar	11,9	"	
Débit mazout	T/h	8	"	
Nombre brûleurs		6	"	
Température fuel	°C	106	"	
Débit vapeur	T/h	88	"	178,8
Débit air	%	70	"	480/473
R.C.A.M. soufflage	P.S.I.	18	"	
Débit eau	T/h	91	ENREGISTREURS HORS SERVICE	
Niveau	mm	+ 35	%	12,7
R.C.A.M. alimentation	P.S.I.	12,1	%	4,1
Température vapeur	°C	507	%	23,5
R.C.A.M. désurchauffe	P.S.I.	11,1		
R.C.A.M. tirage	P.S.I.	16,5		
Dépression foyer	mm H <sub>2</sub> O	- 5,2		
Dépression fumée sortie chaudière	"	- 85	09/01/87	
Dépression fumée sortie éco.	"	- 170	Kcal/Kg	
Dépression fumée sortie R.A.	"	- 230	% Pos	
			% Pos	
			%	

Observations :

MESURES DE COMBUSTION ET CALCUL DU RENDEMENT à 18<sup>H</sup>10  
 SUR CHAUDIÈRE B.W

- 3 -

Date		09/01/87	Pression air sortie ventilateur	mm H <sub>2</sub> O	300
Charge	kg	27	Pression air sortie préchauffeur	"	220
Pression vapeur	Bar	65	Pression air sortie R.A.	"	85
R.C.A.M. charge	P.S.I.	0	Pression air sortie coffre brûleurs	"	100
Pression mazout	Bar	18,1	Température eau entrée éco.	°C	
Pression vapeur de pulvérisation	Bar	11,9	Température eau sortie éco.	"	
Débit mazout	T/h	8	Température air entrée préchauffeur	"	
Nombre brûleurs		6	Température air entrée R.A.	"	178,8
Température fuel	°C	10,5	Température air sortie R.A.	"	480,5 / 473 (local)
Débit vapeur	T/h	86	Température fumées entrée éco.	"	
Débit air	%	72	Température fumées sortie éco.	"	
R.C.A.M. soufflage	P.S.I.	18	Température fumées sortie R.A.	"	
Débit eau	T/h	91			
Niveau	mm	+ 35	Teneur en CO <sub>2</sub> des fumées	% ENREGISTREUR	12,6
R.C.A.M. alimentation	P.S.I.	12,5	Teneur en O <sub>2</sub> des fumées	%	23,6
Température vapeur	°C	507	Excès d'air	%	23,5
R.C.A.M. désurchauffe	P.S.I.	11,5			
R.C.A.M. tirage	P.S.I.	16,5	Analyse fuel oil N°	09/01/87	
Dépression foyer	mm H <sub>2</sub> O	- 5,1	échantillon prélevé le		
Dépression fumée sortie chaudièr	"	85	Pouvoir calorifique supérieur	Kcal/Kg	
Dépression fumée sortie éco.	"	170	Additif :		
Dépression fumée sortie R.A.	"	230	Pertes par les fumées	% Pcs	
			Portes totales	% Pcs	
			Rendement	%	

Observations :

## BIBLIOGRAPHIE

- [1] RICARD J. - Equipment Thermique des Usines Génératrices d'Energie Electrique.
- [2] BOREL Lucien - Thermodynamique et Energétique
- [3] VIVIER Lucien - Turbines à vapeur et à gaz  
Editions AL - Bin Michel
- [4] Fascicule de documentation "ESSAIS - ECONOMIES" XV  
1<sup>re</sup> et 2<sup>eue</sup> Partie - Electricité de France
- [5] Fascicule de documentation N° 7  
- Electricité de France -
- [6] Fascicule de documentation "ESSAIS - MESURES"  
Première partie - Electricité de France

## ANNEXE A3

### CONTROLE DE COMBUSTILE

Date de la prise échantillon = 09 Janvier 1987

Point de prélèvement = filtre à chaud 301

Chargé du prélèvement = ElQualith SOW

#### Résultats

P C S = 10 511 Kcal/kg

PC I = 9 956

Teneur en S= 1,54 %

Teneur en H<sub>2</sub>= 10,575 %

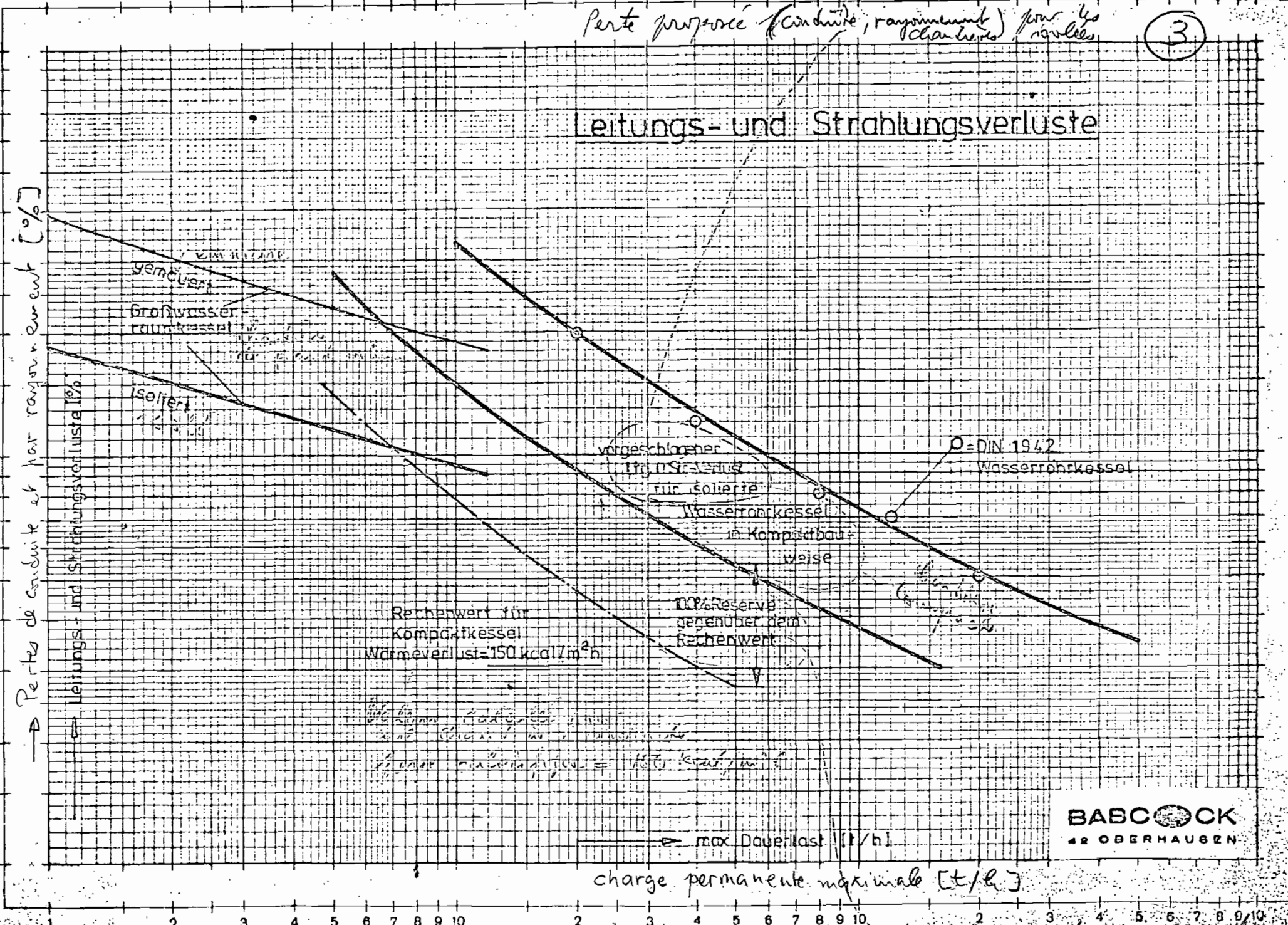
Teneur en H<sub>2</sub>O= 0,1 %

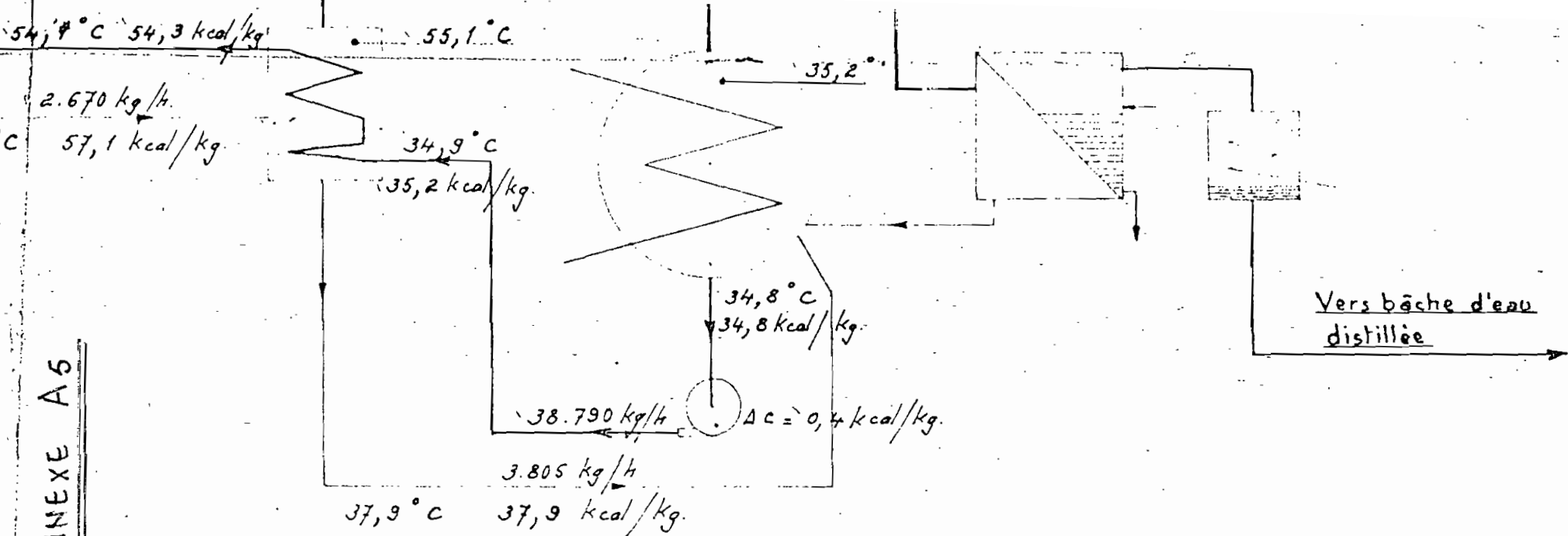
## ANNEXE A4

Perte par convection (conduite, rayonnement) pour les chaudières pour les réseaux

(3)

# Leitungs- und Strahlungsverluste





## Marché C\_3\_1 Annexe n°21

E.E.OA - Centrale du Cap des Biches

Turbo groupe à vapeur de 22/27,5 MW

Marche à 11 MW avec 1 soupape à pleine ouverture

Sans appoint ni pertes sans distillation

avec  $\cos \beta = 1$

MODIFICATIONS N°M	a	DATES ET VISAS	DESSINE 12/6/64  VISAS	CALQUE	VERIFIÉ	VISÉ
	b					
	c					
	d					
	e					
	f					
REPLACE :	MODIF-DESSIN ORIGINE					
SIMILAIRE :						
ORIGINE :						



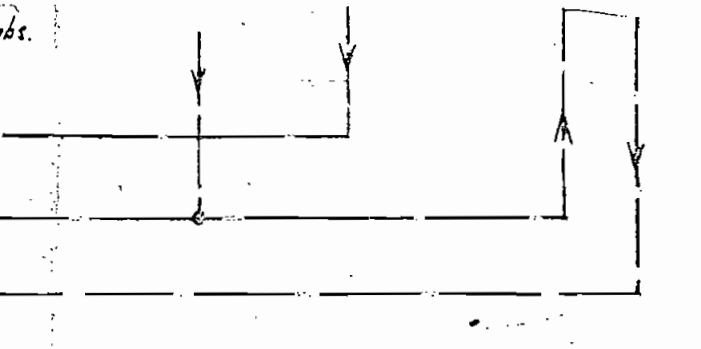
C E M  
Cie Electro-Mécanique

T 1749

ATTENTION : Nomenclature séparée si la lettre N apparaît dans le numéro de dessin après le chiffre de format.

$\rightarrow$   
 66 kg/cm<sup>2</sup> abs.  
 816,1 kcal/kg.  
 500 °C.  
 44.050 kg/h  
 obs.  
 /kg.

abs.  
/kg.



6 kg/cm<sup>2</sup> abs.  
 kcal/kg.  
 94,1

Soutirage 3  
 2,36 kg/cm<sup>2</sup> abs.  
 662,8 kcal/kg.  
 2150 kg/h.

Soutirage 2  
 0,88 kg/cm<sup>2</sup> abs.  
 626,4 kcal/kg  
 2.670 kg/h.

Soutirage 1  
 0,17 kg/cm<sup>2</sup> abs  
 578,7 kcal/kg  
 535 kg/h.

600 kg/h  
 I = 7/3,9 kcal/kg  
 0,058 kg/cm<sup>2</sup> abs.  
 556 kcal/kg  
 34.985 kg/h.

0,161 kg/cm<sup>2</sup> abs.

oppo, oddo,

2

67-3

四

D

44.050 k/h.

## Vers chaudière

164,0 °C  
166,5 kcal./kg.

7,22 kg/cm<sup>2</sup> ob.  
715,6 kcal/kg.

165,4 °C

147,0 °C

149, 1 kcal./kg.

$$4,607 \text{ kg/cm}^2 \text{ abs}$$

148, 1 °C

2,242 kg/cm<sup>2</sup> abs  
662,8 kcal./kg.

- 123, 2 -

123, 2° C

123,5 kcal/kg

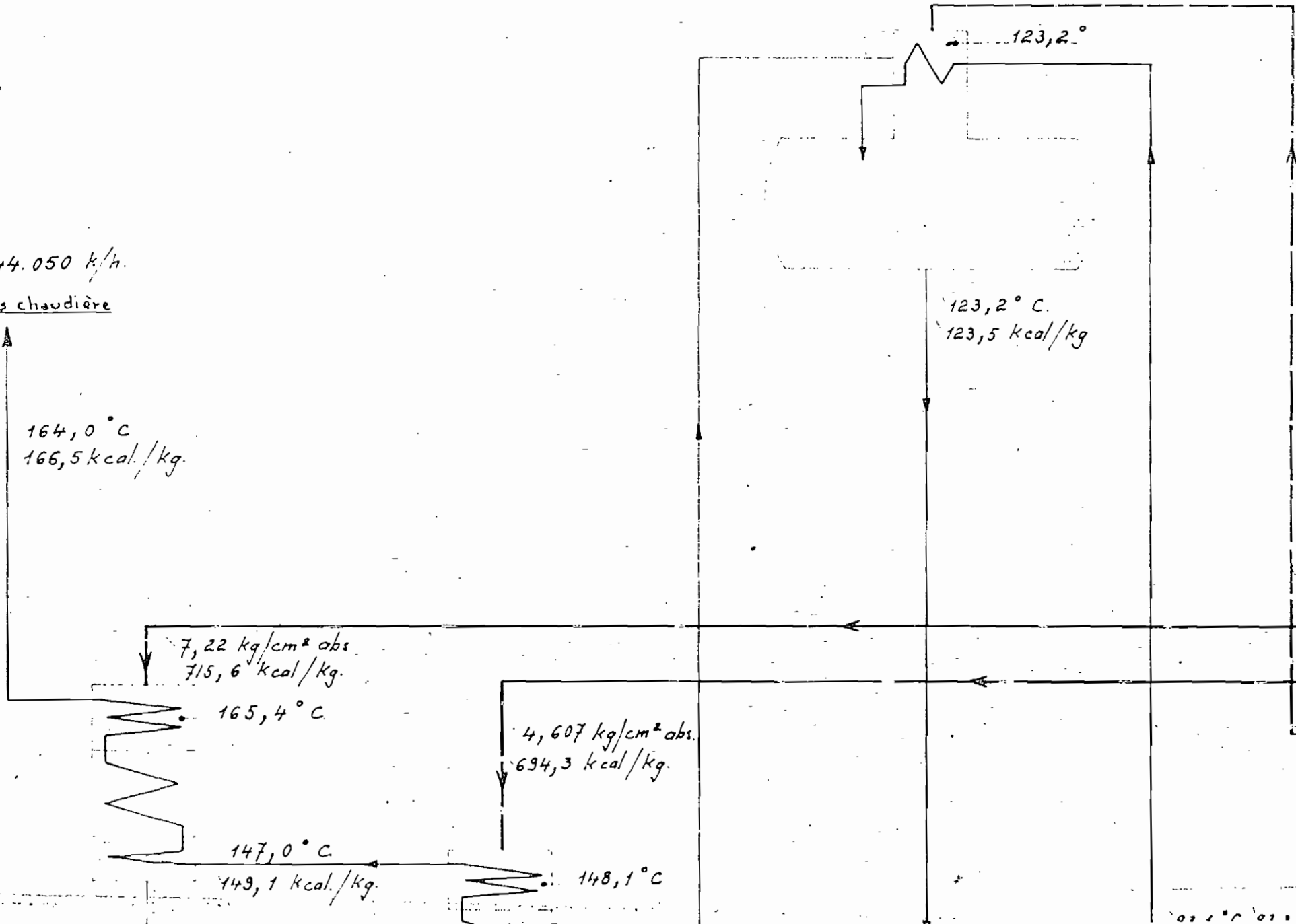
Soutira

7,6 kg/  
715,6 k

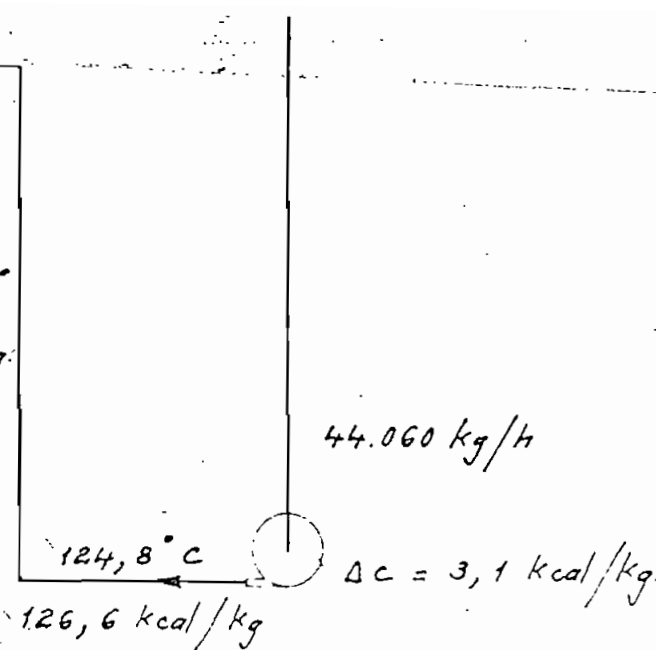
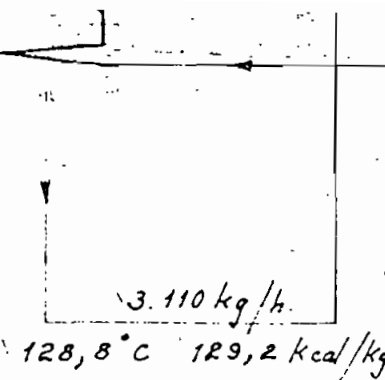
1.405 kg

Soutfrage

4,85 kg/  
694,3 kcal  
1,705 kg/l



151,0 °C 751,9 kcal/kg

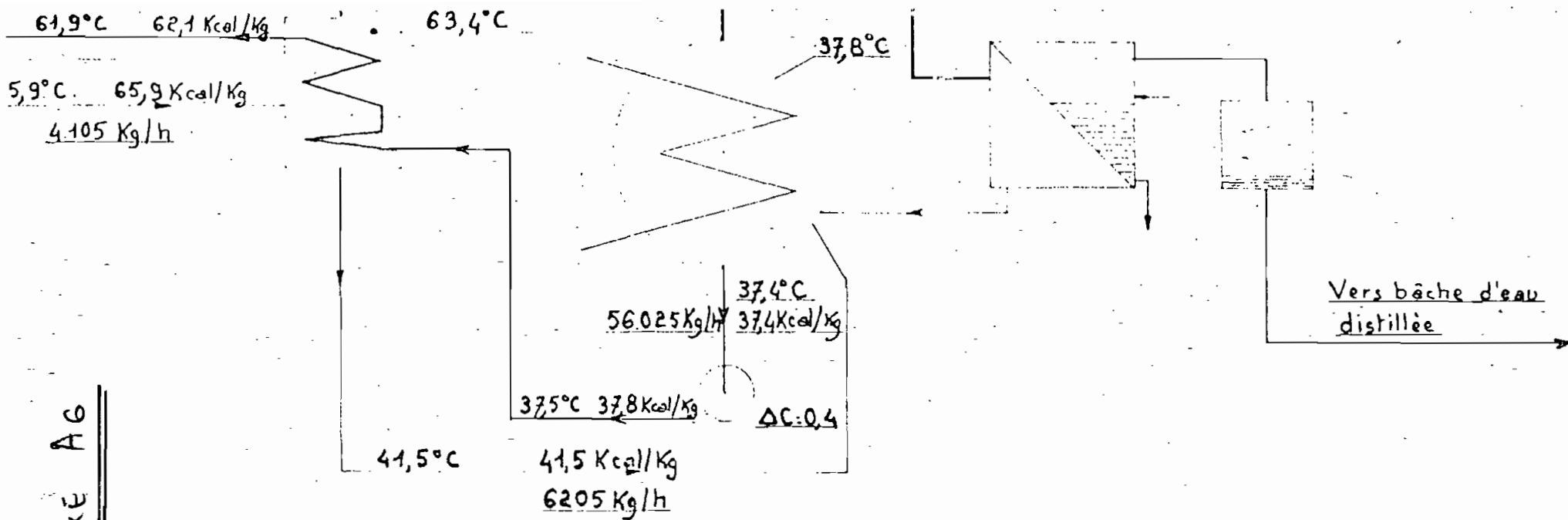


B

A

Ce dessin, propriété exclusive de notre  
société, est strictement confidentiel. Il ne  
peut être communiqué, copié ou reproduit  
sans notre autorisation écrite.

Montage  
Modifications



ANNEXE A 6

## Marché C\_3\_1 Annexe n°20

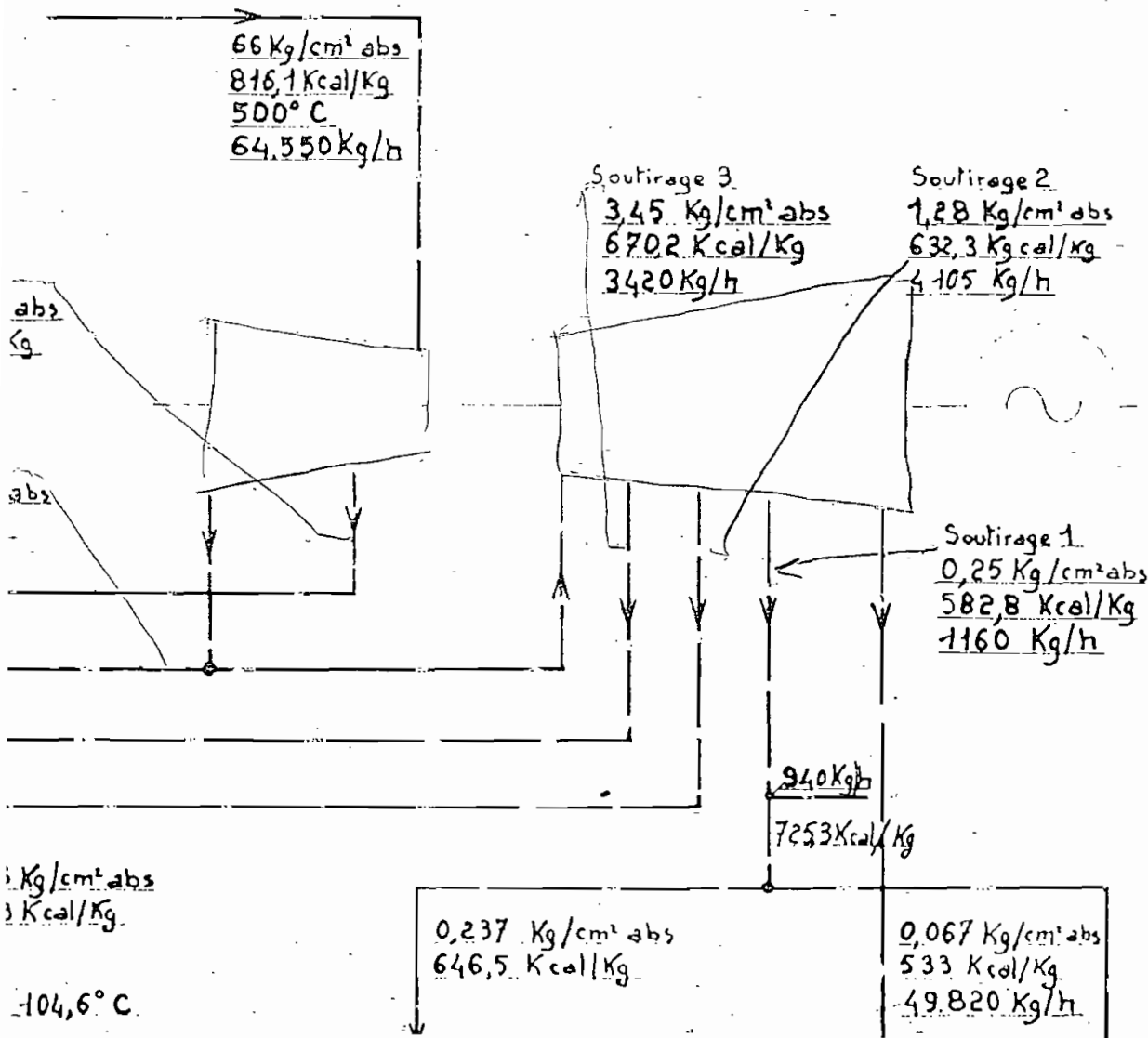
## E.E.OA Centrale du Cap des Biches

Turbo groupe à vapeur de 22/23,5 MW

Marche à 16,5 MW avec 2 soupapes à pleine ouverture

Sans appoint ni pertes... sans distillation avec  $\cos \phi = 1$

MODIFICATIONS	e	DATES ET VISAS			DESSINÉ	CALQUÉ	VERIFIÉ	VISÉ
	a			DATES	12.6.64.			
	c			VISAS				
	b							
	d							
	f							
			<b>CEM</b> Cie Electro-Mécanique					
EMPLACEMENT		MODIF DESSIN ORIGINE		J-1748				
SIMILAIRE								
ORIGINE								

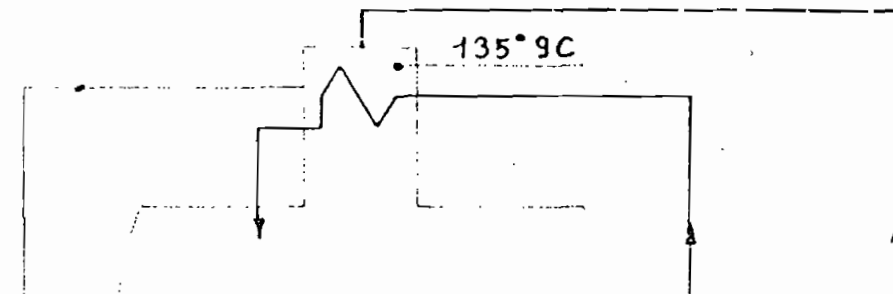


1

2

3

3,277 Kg/cm<sup>2</sup>abs  
670,2 Kcal/Kg



D

64,550 Kg/h

Vers chaudière

135,9° C136,4 Kcal/Kg

Soutirage  
11,4 Kg  
725,7 Kc  
2330 Kg

Soutirage  
7,25 Kg  
704,2 Kca  
2775 Kc

10,83 Kg/cm<sup>2</sup>abs  
725,7 Kcal/Kg

181,5°C

184,6  
Kcal/Kg

182,5°C

6,888 Kg/cm<sup>2</sup>abs  
704,8 Kcal/Kg

162°C 164,4Kcal/kg

163,5°C

103,1°C 103,4 Kcal/kg

148,5°C 143,2 Kcal/Kg

5105 Kg/h

137,5°C 139,5 Kcal

Kg  $\Delta C = 3,1 \text{ Kcal/Kg}$

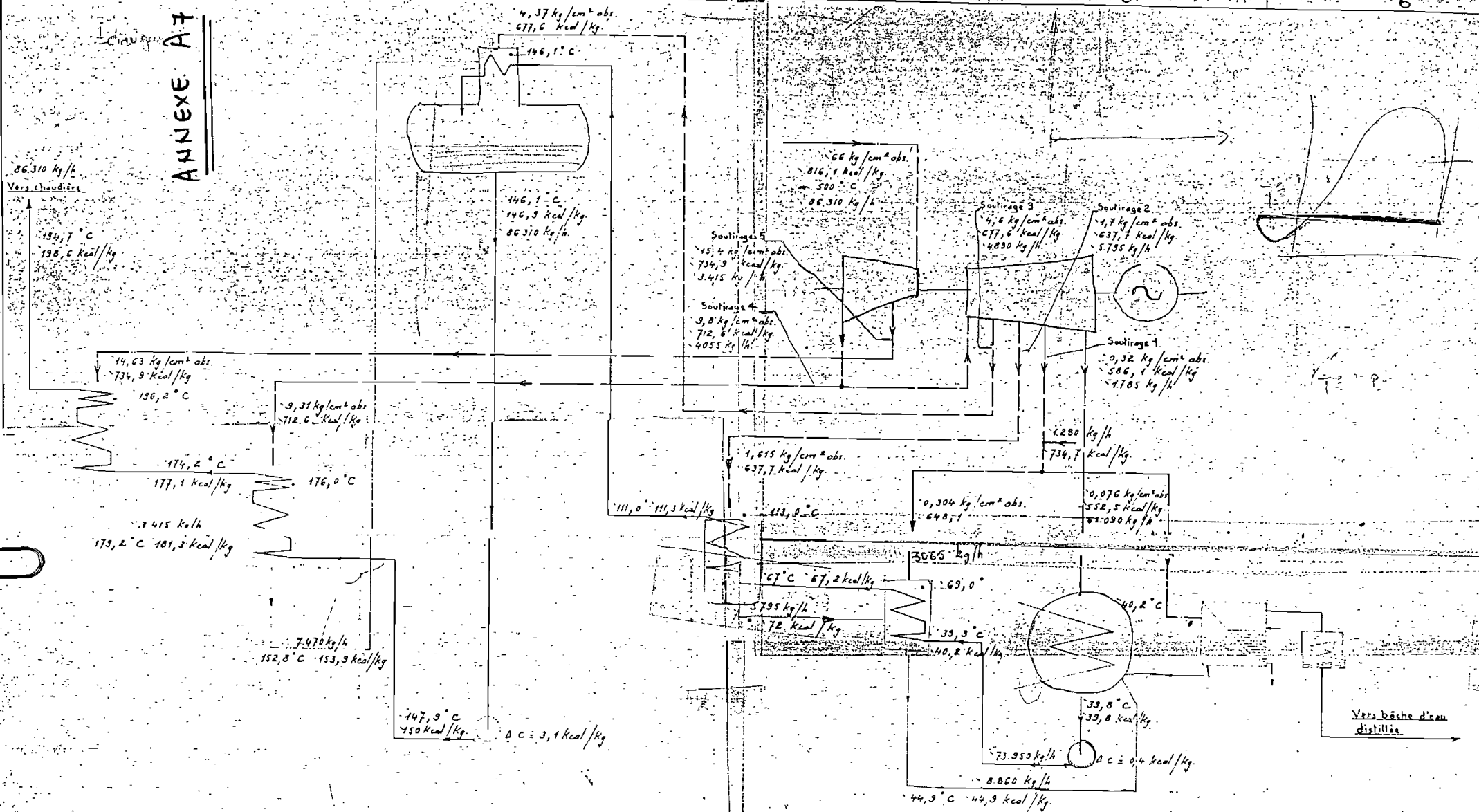
B

A

Ce dessin, propriété exclusive de notre  
Société, est strictement confidentiel; il ne  
peut être communiqué, copié ou reproduit  
sans son autorisation écrite.

Mont des  
modifications

ANNEXE A 7



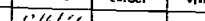
Marché C\_3\_1 Annexe n°19

EEOA Centrale du Cap des Biches  
Turbo groupe à vapeur de 22/275 MW

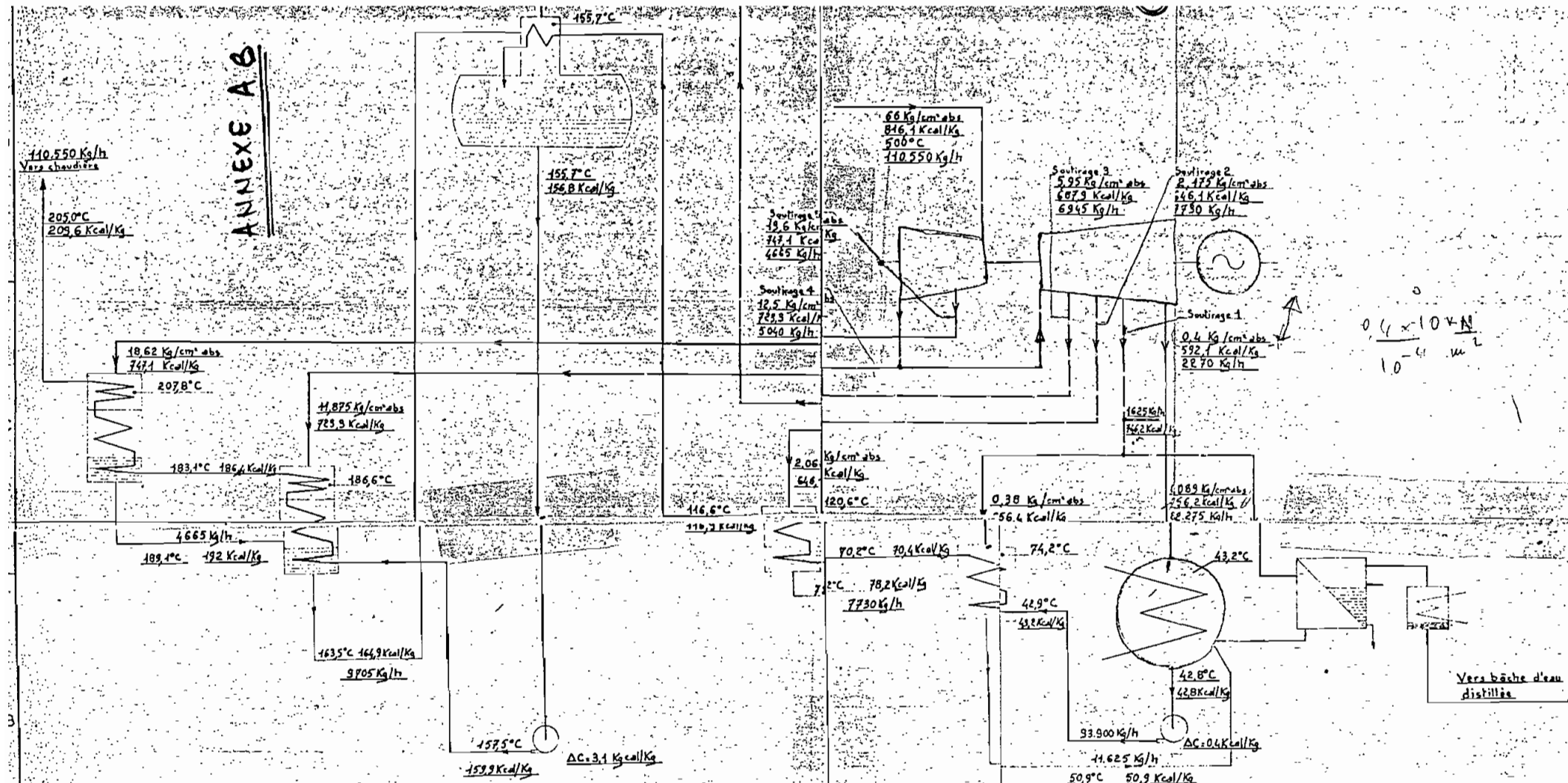
Marche à 22 MW avec 3 soupapes à pleine ouverture  
Sans appoint ni pertes sans distillation avec

E.E.OA Centrale du Cap des Biches  
Turbo groupe à vapeur de 22/275 MW  
 Marche à 22MW avec 32 soupapes à pleine ouverture  
Sans appoint ni pertes dans distillation      avec COS P = 1

ADDITIONS	VAP	VAP	DATE	DESSIN	CALCOI	VÉRIF.	VAL.
REMARQUE							
MODIF DESSIN							

 **CEM**  
*Cie Electro-Mécanique*

# ANNEXE A/B



## Marché C.3.1 Annexe n°18

EEOA Centrale du Cap des Biches

Turbo groupe à vapeur de 22/27.5 MW

Marché à 27.5MW avec 4 soupapes à pleine ouverture

Sans appoin ni pertes, sans distillation avec  $\cos \phi = 1$

ADDITIONS	DÉBIT	DESSIN	CALCÉ	VERNU	VOL	DATES ET VILAS	
						DATES	VILAS
						42.6.64.	
						VILAS	
REMARQUE:							
SIGNATURE:							
ORIGINE:							

**CEM**  
C<sup>o</sup> Electro-Mécanique

T 1746

ATTENTION : Numérotation séparée si la ligne M apparaît dans le numéro de dessin devant le chiffre de l'armement.